Врарца-ашрыйши, арминертийды XI. № 4, 1958 Физико-математические науки

**ФИЗИКА** 

### Г. М. Гарибян

# К теории переходных эффектов в электродинамике

В работах [1]—[3] было рассмотрено электромагнитное излучение, возникающее при прохождении заряженной частицы через одну или несколько границ раздела сред, когда частица двигалась перпендикулярно этим границам. В настоящей работе рассматривается случай движения заряженной частицы из одной среды в другую наклонно к границе раздела этих сред. С помощью полученных формул рассчитано рассеяние, испытываемое частицей при входе из вакуума в идеальный проводник, и притяжение, испытываемое заряженной частицей, движущейся параллельно поверхности идеального проводника, из-за наличия индуцированных зарядов.

1. Пусть плоскость z=a есть граница раздела двух сред, описываемых диэлектрическими постоянными  $\varepsilon_1$  и  $\varepsilon_2$ . Частица движется со скоростью v в плоскости (y,z). Электромагнитное поле описывается уравнениями

$$rot\vec{H} = \frac{1}{c} \frac{\partial \vec{D}}{\partial t} + \frac{4\pi}{c} e \vec{v} \delta (\vec{r} - \vec{v}t); \quad div\vec{B} = 0$$

$$rot\vec{E} = -\frac{1}{c} \frac{\partial \vec{B}}{\partial t}; \qquad div\vec{D} = 4\pi e \delta (\vec{r} - \vec{v}t).$$

$$(1)$$

Поле заряженной частицы будем искать в виде:

$$\vec{E}_{1,2}(\vec{r}, t) = \int \vec{E}_{1,2}(\vec{k})e^{i(\vec{k}\cdot\vec{r}-wt)}d\vec{k}$$
 ит. п. (2)

где индексы 1 и 2 относятся к первой и второй среде, а

$$\omega = \overrightarrow{k} \overrightarrow{v} = k_y v_y + k_z v_z. \tag{3}$$

Фурье-компоненты полей (2) имеют тот же вид, что и приведенный в [1], с той лишь разницей, что теперь ю определяется формулой (3). Решение однородных уравнений представим в виде

$$\overrightarrow{E}_{1,2}(\overrightarrow{r}, t) = \int \overrightarrow{E}_{1,2}(\overrightarrow{k}) e^{\overrightarrow{I(k+p+k_{1,2}z-\omega t)}} \overrightarrow{dk} \quad \text{ii. T. II.}$$

$$(4)$$

 $\lambda_{1,2}^2 = \frac{\omega^2}{c^2} \epsilon_{1,2} - \kappa^2$ , а  $\kappa$  н  $\rho$  компоненты векторов  $\vec{k}$  и  $\vec{r}$  в тангенциаль-

ной плоскости. Также как и в [1]  $\lambda_1 < 0$ ,  $\lambda_1' < 0$ ,  $\lambda_2' > 0$ ,  $\lambda_2' > 0$ . гле один штрих означает действительную, а два штриха минмую части  $\lambda_1$ . Через n обозначим единичный вектор оси z. Тогда

$$\vec{H}_{1,2}(\vec{k}) = \frac{c}{\omega} \left[ \vec{x} + \vec{n} \lambda_{1,2}, \vec{E}_{1,2}(\vec{k}) \right].$$
 (5)

Электрический вектор поля излучения разложим на тангенциальную и нормальную компоненты, причем ввиду поперечности поля излучения будем иметь:

$$\vec{\lambda} \vec{E}_{1,2; t}(\vec{k}) + \lambda_{1,2} \cdot \vec{E}_{1,2; n}(\vec{k}) = 0$$
 (6)

Тангенциальную Фурье-компоненту электрического поля представим состоящей из компонент направленных по  $\overset{\circ}{\star}$  и  $\overset{\circ}{v}$ .

$$\vec{E}_{1,2;j}(\vec{k}) = \vec{\chi} \vec{E}_{1,2;j} + \vec{v}_{\gamma} \vec{E}_{1,2;j},$$
 (7)

Из четырех условий непрерывности компонент полей на границе раздела сред получаем шесть уравнений, из которых независимыми являются только четыре с четырьмя неизвестными компонентами полей излучения  $E_{1, 2; y}$ , и  $E_{1, 2; y}$ . Решая эти уравнения получим:

$$\begin{split} E_{1i}^{'}(\vec{k}^{'}) &= \frac{ei}{2\pi^{2}} \frac{e^{-i\lambda_{1}a + ik_{2}a}}{\lambda_{1}z_{2} - \lambda_{2}z_{1}} \left[ \lambda_{1} \left( \frac{z_{2}}{z_{1}} - \frac{v_{z}}{\omega} \lambda_{2} - 1 + \frac{v_{z}}{\omega} \lambda_{2}}{k^{2} - \omega^{2}z_{1}/c^{2}} + \frac{1 + \frac{v_{z}}{\omega} \lambda_{2}}{k^{2} - \omega^{2}z_{2}/c^{2}} \right) + \frac{k_{y}v_{z}(k_{z} - \lambda_{1} - \lambda_{2})}{\omega} \left( \frac{1}{k^{2} - \omega^{2}z_{1}/c^{2}} - \frac{1}{k^{2} - \omega^{2}z_{2}/c^{2}} \right) \right] \end{split} \tag{8}$$

$$E_{1y}(\vec{k}) = \frac{et}{2\pi^2} \frac{e^{-D_1 a + tk_2 a}}{(\lambda_1 - \lambda_2)} \cdot \frac{\omega (\lambda_2 - k_z)}{c^2} \left( \frac{1}{k^2 - \omega^2 \varepsilon_1 / c^2} - \frac{1}{k^2 - \omega^2 \varepsilon_2 / c^2} \right). \tag{9}$$

Поля излучения во второй среде получаются из (8) и (9) переменой местами индексов 1 и 2. Нормальные компоненты электрических полей и магнитные поля можно найти с помощью формул (5и (6).

 Пусть частица наклонно входит из вакуума в идеальный проводник, т. е. ε₁ = 1. ε₂ = ∞. Тогда получим

$$E'_{1x}(\vec{k}) = \frac{ei}{2\pi^2} \cdot \frac{e^{-i\lambda_1 a + ik_2 a}}{k^2 - w^2/c^2}$$
 (10)

$$E_{1y}(\vec{k}) = -\frac{ei}{2\pi^2} \frac{\omega/c^2 e^{-i\hbar_1 a + ik_2 a}}{k^2 - \omega_2/c^2}.$$
 (11)

$$E'_{1n}(\vec{k}) = \frac{ei}{2\pi^2} \frac{e^{-ik_1a + ik_2a}}{k_1} \cdot \frac{\frac{\omega}{c^2} k_y v_y - \kappa^2}{k^2 - \omega^2/c^2}$$
 (12)

Компонента поля излучения в точке нахождения частицы направленная по оси у, равна

$$E_{1y} = \frac{ei}{2\pi^2} \int \frac{x \cos \Phi - \frac{\omega}{c^2} v_y}{z^2 + \left(\frac{\omega - x v_y \cos \Phi}{v_z}\right)^2 - \frac{\omega^2}{c^2}} e^{i(x \cos \Phi \cdot v_y + \lambda_1 v_z - \omega) t} x dx d\Phi \frac{d\omega}{v_z}$$
(13)

где Ф угол между х и осью у. Аналогично

$$E'_{1a} = \frac{ei}{2\pi^2} \int_{\epsilon}^{\epsilon} \frac{\frac{\omega}{c^2} k_y v_y - x^2}{\lambda_1 \left[ x^2 + \left( \frac{\omega - x v_y \cos \Phi}{v_z} \right)^2 - \frac{\omega^2}{c^2} \right]} e^{i(x \cos \Phi v_y + \lambda_1 v_z - \omega)t} \times x dx d\Phi \frac{d\omega}{v_z}.$$
(14)

В формулах (13) в (14) время t было заменено на  $t+\frac{a}{v_z}$ . Это

новое t изменяется от  $-\infty$  до 0 пока частица находится в вакууме.

Ограничимся случаем  $v \ll c$ , когда действие индуцированных зарядов будет существенным.

Произведем в полученных формулах сначала интегрирование по  $\omega$  от  $-\infty$  до  $+\infty$ . Сделав в плоскости комплексного переменного  $\omega$  разрезы, в результате чего подинтегральная функция становится однозначной, и замыкая контур интегрирования полуокружностью, лежащей в верхней полуплоскости, где находится полюс подинтегральной функции  $\omega_0 = k_y k_y + i v_z x$ , мы согласно лемме Жордана получим

$$E'_{1y} = -\frac{e V_z}{2\pi} \int \frac{x \cos \Phi}{v_y \cos \Phi + iv_z} e^{2v_z x t} dx d\Phi.$$
 (15)

Производя далее интегрирование по z от 0 до  $\infty$  и по  $\Phi$  от 0 до  $2\pi$  будем иметь

$$E'_{1y} = -\frac{e}{4v_z v \ell^2} \frac{v - v_z}{v_y}$$
 (16)

Аналогично

$$E'_{1n} = \frac{e}{4v_z v t^2}.$$
(17)

Сила, смещающая частицу с ее траектории будет равиа:

$$F = e \left( E_{1n} \frac{v_z}{v} + E_{1n} \frac{v_y}{v} \right)$$
 (18)

Если  $v_x = v_y = v'$ , то она примет вид

$$F = \frac{e^4}{4V 2 v^{\prime 2}t^2}.$$
 (19)

Интегрируя уравнение движения с такой сидой и принимая, что смещение равно нулю при скорости смещения меньшей v', мы для угла дополнительного (переходного) рассеяния получим выражение

$$z = \ln \frac{e^{\pm}}{8 m v'^2 b} \qquad (20)$$

где b — величина порядка размеров втома.

3. В качестве другого примера применения формул (8) и (9) рассмотрим движение заряженной частицы параллельно поверхности идеального проводника на расстоянии а. Можно воспользоваться для данного случая формулами (10)—(12), положив в них v<sub>2</sub> = 0. Тогда компонента электрического поля, направленная к поверхности проводника будет равна в точке нахождения частицы

$$E_{1n} = \frac{e}{2\pi^{2}v} \int_{c}^{b} e^{-\sqrt{-k_{x}^{2} + \frac{\omega^{2}}{v^{2}}(1-\beta^{2})}} \frac{1}{a+ik_{z}a} \sqrt{-k_{x}^{2} + \frac{\omega^{2}}{v^{2}}(1-\beta^{2})} \frac{dk_{x}d\omega dk_{z}}{dk_{x}d\omega dk_{z}}.$$
(21)

Интеграл по  $k_z$  берется замыканием контура интегрирования верхней полуокружностью. Интеграл по  $k_x$  и  $\omega$  легко берется переходом к сферическим координатам на плоскости  $k_x$ ,  $\omega$ . В результате получим

$$E_{1a} = \frac{e}{4a^2 \sqrt{1-\beta^2}} \tag{22}$$

Интегрируя уравнение движения с силой, определяемой (22), мы получим, что за время t частица сместится к поверхности проводника на расстояние

$$\xi = \frac{e^2}{8ma^2}t^2.$$
 (23)

В заключение отметим, что при расчете обоих эффектов существенным образом было использовано предположение об их малости, т. е.  $\alpha \ll 1$  и  $\xi \ll a$ .

Физический интитут АН Армянской ССР

Поступило 23 VI 1958

### Գ. Մ. Վարիբյան

# ԷԼԵԿՏՐՈԴԻՆԱՄԻԿԱՅՈՒՄ ԱՆՑՈՒՄԱՅԻՆ ԷՖԵԿՏՆԵՐԻ ՏԵՍՈՒԹՅԱՆ ՄԱՍԻՆ

#### RROUPER

Հեղինակի նախորդ աշխատություններում մշակված մեթոդի միջոցով հաշվված է մի միջավայրից մլուսը նրանց բաժանման հարթության նկատժամը լիցջավորված մասնիկի՝ թեր շարժման ժամանակ առաջացող ճառագալթման դաշար։

Հաշվված է այն ուժը, որ ազգում է մասնիկի վրա՝ վերջինիս միջավալբերի բաժանման հարթությանը դուգահեռ շարժման ժամանակ, ինչպես նաև անցումային ցրման անկյան մեծությունը։

#### ЛИТЕРАТУРА

- 1. Гарибян Г. М. ЖЭТФ 33, 1403, 1957.
- 2. Гарибян Г. М., Чаликян Г. А. ЖЭТФ 34, № 11, 1958.
- 3. Гарибян Г. М. ЖЭТФ 34, № 12, 1958.

# ДИЗЧИЧИЛ ПОВ ЭРЅПРВЯПРОБОРР ИЧИЛОГРИЗР ЅБЛОЧИЛОГР ИЗВЕСТИЯ АКАДЕМИИ НАУК АРМЯНСКОЙ ССР

эфффи-dwpbduw, финиранббыт XI, № 4, 1958 Физико-математические изуки

ФИЗИКА

#### М. Л. Тер-Микаелян

# К квантовой электродинамике в среде 1

### § 1. Введение

Работа посвящена исследованию влияния диэлектрических и магнитных свойств среды на радиационные поправки. При вычислении радиационных поправок с необходимостью входит интегрирование по сем возможным значениям четырехмерного импульса виртуального фотона. Поскольку поведение длинноволновых квантов описывается макроскопическими уравнениями Максвелла, постольку применение микроскопических уравнений квантовой электродинамики является некоторым приближением к действительности.

Однако, рассмотрение этого вопроса было вызвано не столь простыми обстоятельствами. Мы объясним идею работы на примере радиационных поправок к кулоновскому рассеянию. Хорошо известно, что при непосредственном вычислении этих поправок получается догарифмически расходящийся результат. Для получения экспериментально наблюдаемого значения поправок необходимо компенсировать эту расходимость прибавлением поперечника тормозного излучения мягких квантов. В итоге получается конечный результат, который естественно должен являться функцией максимальной эпергии, излученного кванта (которая в свою очередь определяется чувствительностью экспериментальной установки). Однако, в результате работ Ландау-Померанчука и автора оказалось, что формулы для тормозного налучения при учете среды коренным образом наменяются. Это означает, что изменится величина радиационных поправок. Для расчета последних необходимо научиться писать матричные элементы, для процессов высокого порядка в квантовой электродинамике с учетом влияния среды. Настоящая статья посвящена выводу матрицы рассеяния, с учетом влияния только поляризации среды. Может возникнуть вопрос насколько последовательным является использование макроскопических уравнений. Не является ли точная система микроскопической квантовой эксктродинамики достаточной. Дело в том, что последнюю систему мы решяем применительно к нескольким частицам, используя параметр разложения  $\frac{e^2}{hc}$ , использование же макроскопической электродинамики позволяет учесть влияние соседнях атомов и переход в микроскопические уравнения происходит только тогда, когда  $\frac{Ne^2}{m\omega_0^2} \to 0$  (где N плотность частиц;  $\omega_0$ —атомная частота). Некоторые вопросы затронутые в этой статье были уже ис-

частота). Некоторые вопросы затронутые в этой статье были уже исследованы в работах ряда авторов (Гинзбург, Соколов, Ватсон, Яух и т. д.) в основном применительно к теории издучения Черенкова.

Все литературные ссылки можно найти в статье Рязанова М. [1].

### § 2. Классическая теория

Мы будем пользоваться записью макроскопических уравнений Максвелла в форме предложенной Мандельштамом—Таммом [2].

После введения тензора индукции  $G_{lk}$  и тензора поля  $F_{lk}$  макроскопические уравнения принимают следующий вид:

$$\frac{\partial G^{ik}}{\partial x^k} = J^i$$
 (1)

$$\frac{\partial F_{ik}}{\partial x^l} + \frac{\partial F_{il}}{\partial x^k} + \frac{\partial F_{kl}}{\partial x_l} = 0$$
 (2)

где

$$i \neq k \neq l$$

$$F_{ik} = \begin{pmatrix} 0 - E_x - E_y - E_z \\ E_x & 0 & B_z - B_y \\ E_y - B_z & 0 & B_x \\ E_z & B_y - B_x & 0 \end{pmatrix} \qquad G^{ik} = \begin{pmatrix} 0 & D_x & D_y & D_z \\ -D_x & 0 & H_z - H_y \\ -D_y - H_z & 0 & H_x \\ -D_z & H_y - H_x & 0 \end{pmatrix}. \tag{3}$$

В последующем мы придерживаемся обозначений принятым в работе [3]. Если мы введем потенциалы  $A^{l}[\varphi, \overrightarrow{A}]$ 

$$F_{ik} = \frac{\partial A_i}{\partial x^k} - \frac{\partial A_k}{\partial x^i}, \tag{4}$$

то уравнение (2) выполняется ввтоматически. Запишем связь между тензорами  $G^{tk}$  и  $F_{ik}$ . Следуя [2] мы имеем для однородной изотропной среды

$$G^{ij} = \epsilon^{i\alpha} \epsilon^{j\beta} F_{\alpha\beta}$$
. (5)

В системе покоя, введенный четырехмерный тензор диэлектрической и магнитной проницаемости имеет вид

$$\varepsilon^{i\alpha} = \begin{pmatrix} \varepsilon V_{\mu} & 0 & 0 & 0 \\ 0 & \frac{1}{V_{\mu}} & 0 & 0 \\ 0 & 0 & -\frac{1}{V_{\mu}} & 0 \\ 0 & 0 & 0 & -\frac{1}{V_{\mu}} \end{pmatrix}. \tag{6}$$

В противоположность общепринятому написанию связи между  $F_{ik}$  и  $G_{ik}$ .

$$G_{ij} u^j = \varepsilon F_{ik} u^k$$

$$F_{kl}u_i + F_{ll}u_k + F_{lk}u_l = \mu (G_{kl}u_i + G_{lk}u_k + G_{lk}u_l)$$
 (7)

условие (5) более компактно и не содержит  $u^i$  —скорости среды. Легко проверить, непосредственным вычислением. что (5) и(7) эквивалентны. Подставляя (5) в (1) мы имеем

$$\varepsilon^{il} \varepsilon^{km} \frac{\partial}{\partial x^k} \left( \frac{\partial A_m}{\partial x^l} - \frac{\partial A_l}{\partial x^m} \right) = -J^l.$$
 (8)

Если наложить на потенциалы условие Лоренца

 $\frac{\partial A_m}{\partial x^k} = 0$  (9), то (8) перепишется

$$\varepsilon^{II} \varepsilon^{km} \frac{\partial^2 A_I}{\partial x^k \partial x^m} = J^i$$
, (9)

Легко видеть, что к потенциалам еще можно прибавить  $\dfrac{\partial \ddot{\chi}}{\partial x^k}$  , где

функция  $\chi$  удовлетворяет уравнению  $\varepsilon^{km} \frac{\partial^2 \chi}{\partial x^m \partial x^k} = 0$ . Переход к обычной электродинамике в пустоте происходит при замене тензора  $\varepsilon^{lk}$  на метрический тензор  $g^{lk}$ .

Уравнение (9) следует из лагранжиана

$$L = -\frac{1}{2} \epsilon^{km} \epsilon^{ij} \frac{\partial A_i}{\partial x^k} \frac{\partial A_j}{\partial x^m} - \frac{e}{2} [\overline{\psi} \gamma^{\mu} \psi] A_{\mu} \qquad (10)$$

и дополнительного условия (9), требуя выполнение последнего независимо от (10).

Выбор лагранжиана в форме (10) который не является градиентно-инвариантным, значительно упрощает все последующие выкладки. От обычного явно градиентно-инвариантного лагранжиана (мы опускаем сейчас член со взаимодействием)

$$L = -\frac{1}{4} G^{\mu\nu} F_{\mu\nu}$$

(в системе покоя  $L=\frac{1}{2}\left(\varepsilon E^2-\mu H^2\right)$ ) лагранжнан (10) отличается на величину четырехмерной дивергенции (с учетом выполнения условия Лоренца)

 $\frac{\partial}{\partial x^l} \epsilon^{lm} \epsilon^{kj} \left( A_k \frac{\partial A_m}{\partial x^j} - A_m \frac{\partial A_k}{\partial x^j} \right)$ 

Это обеспечит над градиентную инвариантность теории [4]. Выпишем еще плотность энергии

$$T^{00} = -\epsilon^{0m} \epsilon^{ij} \frac{\partial A_j}{\partial x^m} \frac{\partial A_i}{\partial x^0} + \frac{1}{2} \epsilon^{km} \epsilon^{ij} \frac{\partial A_i}{\partial x^k} \cdot \frac{\partial A_j}{\partial x^m}$$
(11)

и плотность импульса

$$T^{0a} = -\epsilon^{0m} \epsilon \theta \frac{\partial A_i}{\partial x^m} \frac{\partial A_j}{\partial x^a}$$
 (12)

### § 3. Установление перестановочных соотношений матрица рассеяния

При установлении перестановочных соотношений будем вначале исходить из обычной схемы квантовой механики.

Введем согласно схеме квантования полей Паули и Гейзенбергу канонически сопряженный импульс

$$\kappa^{j} = \frac{\partial L_{\Phi}}{\partial A_{I,0}} = -\epsilon^{q0} \epsilon^{ij} \frac{\partial A_{j}}{\partial x^{q}}$$
 (13)

гле

$$L_{\Phi} = -\frac{1}{2} \epsilon^{km} \epsilon^{ij} \frac{\partial A_i}{\partial x^k} \frac{\partial A_j}{\partial x^m}$$
 (14)

Тогда перестановочные соотношения можно записать в виде

$$|A_{\ell}(\vec{x}, t)|A_{\ell}(\vec{x'}, t)| = |\epsilon_{\ell}(\vec{x}, t) \cdot \epsilon_{\ell}(\vec{x'}, t)| = 0$$
  
 $|A_{\ell}(\vec{x}, t)| = |\epsilon_{\ell}(\vec{x'}, t)| = i\hbar\delta(\vec{x} - \vec{x'})\delta'_{\ell}.$ 
(15)

Квантовые уравнения Гамильтона-Якоби, получаются из классических уравнений

$$\frac{\partial A_i}{\partial x_0} = \frac{\delta H^0}{\delta \pi^i} = \{H^0 A_i\}$$

$$\frac{\partial \pi^i}{\partial x_0} = -\frac{\delta H^0}{\delta A_i} = \{H^0 \pi^i\}.$$
(16)

Заменой классических скобок Пуассона

$$|H^0f| = \frac{\partial f}{\partial A^1} \frac{\partial H^0}{\partial \pi_i} - \frac{\partial f}{\partial \pi_i} \frac{\partial H^0}{\partial A^1}$$

на квантовые скобки умноженные на  $\frac{i}{\hbar}$  Мы сразу напишем эти урав-

нения в чётырехмерном виде

$$ihg^{nn}\frac{\partial A_i}{\partial x^n} = |A_i p^n|$$
  
 $ihg^{nn}\frac{\partial \pi_i}{\partial x^n} = |\pi_i p^n|$ 
(17)

$$(g^{nn} = +1 \text{ при } n = 0 \text{ и } g^{nn} = -1 \text{ при } n = 1, 2, 3).$$

Нулевая компонента этого уравнения, есть квантовый аналог классического уравнения (16)  $p^{\alpha}$  и  $H^{0}$  входящие в уравнения (17) и (16) суть полные энергия и импульс поля (т. е. интеграл по объему от выражений (10) и (11)), причем поскольку гамильтониан есть функция канонически сопряженных величии и их производных по простран-

ственным переменным, то вместо переменных  $A_{i,0}$  нужно подставить  $\pi^i$  согласно формуле (13).

Непосредственным вычислением можно показать, что уравнения (16) приводят к классическому уравнению Максвелла для потенциалов, а квантовые уравнения (17) приводят к квантованному уравнению, имеющему тот же вид, что и классическое уравнение (9) для потенциалов, которые однако, теперь подчиняются перестановочным соотношениям (15).

Для построения матрицы рассеяния нам понадобятся ковариантные перестановочные соотношения. Их можно установить из следующих соображений. Прежде всего из гамильтонова формализма нам известны перестановочные соотношения для одного времени, во вторых необходимо получить правильный переход к вакууму (когда  $\epsilon^{\mu\nu} \to g^{\mu\nu}$ ). Мы запишем эти соотношения в виде

$$[A_i(x) A^j(x')] = (a\delta_i^j + b\epsilon_i^j) D(x - x').$$
(18)

Поскольку A(x) подчиняется однородному уравнению, то и D(x-x') должно подчиняться уравнению (9), (причем  $J^i=0$ ), кроме того D(x-x') есть нечетная функция своего аргумента. Этих условий оказывается достаточно для определения козффициентов a,b и функции D(x-x'). Заметим, что если представить функцию D(x-x'), по аналогии с вакуумом, как разность опережающей и запаздывающей функции Грина

$$D(x) = \Delta_A(x) - \Delta_R(x), \tag{19}$$

где  $\Delta_A(x)$  и  $\Delta_R(x)$  удовлетворяют неоднородным уравнениям (9) (с  $\delta$  функцией вместо  $J^i$ ), то можно автоматически получить правила обхода полюсов, исходя из аналитических свойств диэлектрической и магнитной постоянных.

Легко видеть, что

$$\Delta_A(x) = -\frac{1}{(2\pi)^4} \int_{-\infty}^{+\infty} \frac{e^{-ikx}}{\varepsilon_A^i k_i k_j} d^4k \qquad (20)$$

$$\Delta_R(x) = -\frac{1}{(2\pi)^4} \int_{-\infty}^{+\infty} \frac{e^{-ikx}}{\varepsilon_R^{if} k_i k_f} d^4k. \tag{21}$$

Обход полюсов в запаздывающей функции Грина легко получить исходя из аналитических свойств  $\varepsilon(\omega)$  в системе покоя. Известно [5], что  $\varepsilon(\omega)$  есть аналитическая функция в верхней полуплоскости. Поэтому при t<0 мы замкнем контур интегрирования в верхнюю полуплоскость комплексного переменного  $k_0$  и получим  $\Delta_R(t<0)=0$ . Отметим, что полюса подинтегрального выражения (21), при наличии небольшой мнимой части в диэлектрической про-

<sup>2</sup> Известия АН, серия физ.-мат. наук. № 4

ницаемости лежат ниже действительной оси переменной  $k_0 = \omega$ . Кроме того сама диэлектрическая постоянная в нижней полуплоскости может иметь особенности. Что касается опережающей функции Грина, то ситуация тут полностью противоположная, если заметить, что вместо обычного  $\varepsilon(\omega)$  нужно взять "опережающую" диэлектрическую (и магнитную) проницаемость. Аналитические свойства такого  $\varepsilon_A(\omega)$  можно получить, если в обычном определении  $\varepsilon(\omega)$  [5]

$$D(t) = E(t) + \int_{0}^{\infty} E(t - \tau) f(\tau) d\tau$$

$$\varepsilon_{R}(\omega) = 1 + \int f(\tau) e^{i\omega \tau} d\tau$$
(22)

изменить знак перед  $\tau$  в аргументе функции  $E(t-\tau)$ . Легко видеть, что  $\varepsilon_A(\omega)$  будет имєть особенности только в верхней полуплоскости; тамже лежат полюса подинтегрального выражения (20). Отсюда следует  $\Delta_A(-x) = \Delta_R(x)$ . Правила обхода перестановочной функции Грина сразу получаются из соотношения (19).

После этих замечаний постоянные а и b легко вычислить и они оказываются равными

$$b = \frac{i\hbar}{\varepsilon} \quad a = -\frac{i\hbar}{\varepsilon V \dot{\mu}} (1 + \varepsilon \mu). \tag{23}$$

Выпишем полные операторные уравнения макроскопической электро-

Вид уравнений для спинорного поля, полностью совпадает с уравнением для пустоты

$$\left(-i\gamma^{\mu}\frac{\partial}{\partial x^{\mu}}+m\right)\psi=-e\gamma^{\mu}A_{\mu}\psi. \tag{24}$$

$$\varepsilon^{ik} \varepsilon^{em} \frac{\hat{\sigma}^2 A_m}{\partial x^i \partial x^k} = -\frac{e}{2} \left[ \overline{\psi} \gamma^e \psi \right]. \tag{25}$$

Решение этих уравнений будем, как это обычно делается, искать в виде ряда по  $\frac{e^2}{hc}$ .

$$A_{\mu} = A_{\mu}^{0} + \frac{e}{\sqrt{hc}} A_{\mu}^{1} + \cdots$$

$$\psi_{\rho} = \psi_{\rho}^{0} + \frac{e}{\sqrt{hc}} \psi_{\rho}^{1} + \cdots$$
(26)

Свободные поля удовлетворяют перестановочным соотношениям

$$[(A_u^0(x) A_v^0(x')] = (ag_{uv} + b\epsilon_{uv}) D(x - x')$$
(27)

$$[\phi_a(x) \phi_\beta(x')]_+ = -i S_{a\beta}(x - x').$$
 (28)

Остальные антикоммутаторы равны нулю. Анализ и решение уравнений (24) и (25) полностью совпадает с соответствующим решением для случая пустоты [6]. В процессе расчета нужно воспользоваться соотношением.

$$\epsilon^{em} \left( a g_{m\mu} + b \epsilon_{m\mu} \right) = -i \hbar \delta^{\mu}_{e}$$
 (29)

которое легко проверяется в системе покоя, если учесть соотношения (23). Мы придем тогда к выражению для S матрицы

$$S(t) = \sum_{n=0}^{\infty} \left( -\frac{i}{hc} \right)^{h} \frac{1}{n!} \int_{-\infty}^{t} dt' \int_{-\infty}^{t} \cdots \int_{-\infty}^{t} dt^{n} P\left[ V(t') \ V(t'') \cdots V(t^{n}) \right]$$
(30)

где  $V = Sd^nxJ_1A_1$ , полностью совпадающему со случаем пустоты [6]. Физический институт АН Армянской ССР Поступило 23 VI 1958

#### Մ. 1. Տեր-Միրաելյան

# ԿՎԱՆՏԱՅԻՆ ԷԼԵԿՏՐՈԴԻՆԱՄԻԿԱՅԻ ՄԱՍԻՆ ՄԻՋԱՎԱՅՐՈՒՄ I

#### UITONONFU

Աշխատու Թլան մեջ դիտարկված է կովարիանտային մակրոսկոպիկ էլեկարողինամիկայի կտռուցման հարցը։

Արտածված են կովարիանա տեղափոխանակալին առնչութվյունները, Տ մատրիցայի միջոցով դանված են հավասարումների լուծումները։

Տեսության ձևակերպման ժամանակ օգտադործված է Մանդելչտամի-Տամմի առաջարկած ձևով հավասարումների դրումը։

#### ЛИТЕРАТУРА

- 1. Рязанов М. И. ЖЭТФ 32, 1244, 1957.
- 2. Мандельштам Л. И. Собрание сочинений, т. стр. 273.
- 3. Швебер С., Бете Г., Гофман Ф. Мезоны и поля, ин. яз. Москва, 1957.
- Боголюбов Н. И., Ширков Д. В. Введение в теория квантовых полей. Гостехиздат, москва, 1957, стр. 35.
- Ландау Л. Д., Лифииц. Е. М. Электродинамика сплошных сред. Гостехиздат, Москва, 1958.
- Ахиезер А. И. и Берестецкий В. Б. Квантовая электродинамика. Гостехиздат, Москва, 1953, § 21.

ФИЗИКА

Физико-математические науки

#### Л. С. Багдасарян

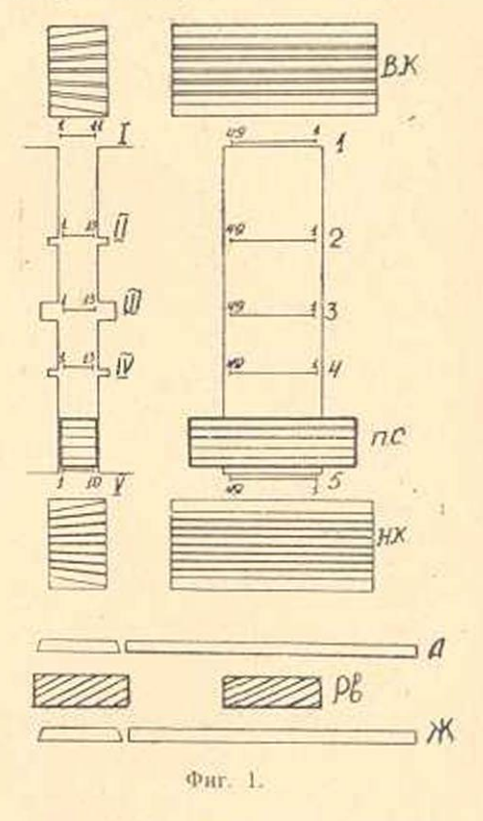
# Обработка экспериментальных данных ионизационных измерений

Основной величиной характеризующей элементарную частицу, является ее масса покоя. Поэтому при изучении элементарных частиц в первую очередь ставится задача о достаточно точном определении этой величины. При изучении частиц с помощью магнитных масс-спектрометров широкое распространение получило определение величины

масс по импульсу и пробегу. Однако, этот метод обладает тем недостатком, что в ряде случаев частицы останавливаются испытывая неионизационные взаимодействия. В таких случаях измеренная по Р и R—импульсу и пробегу масса частицы сильно отличается от ее истинной величины.

Если кроме импульса частицы и пробега определить ее ионизующую способность, то можно независимо от характера остановки определить массу по импульсу и ионизации.

В статье [1] был описан амплитудный анализатор импульсов, который в сочетании с пятислойным пропорциональным счетчиком позволяет измерять ионизующую способность отдельных заряженных космических частиц. Описанная установка сочетается с магнитным масс-спектрометром с двумя камерами Вильсона

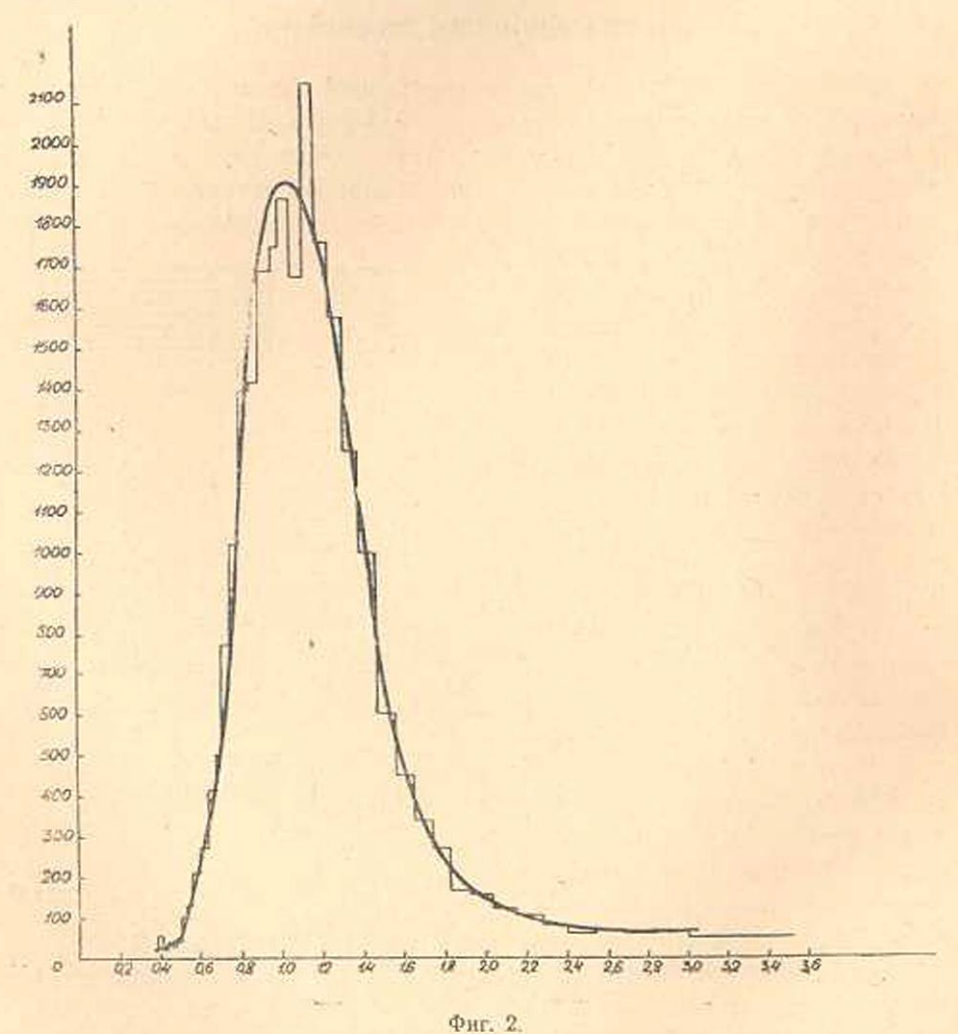


[2], позволяющим с большой точностью и достоверностью измерять импульс частицы и ее пробег (фиг. 1).

Для измерения ионизующей способности частиц применялся пятислойный пропорциональный счетчик, что давало возможность произвести пять измерений ионизации. Измерялась нонизующая способность как мягких частиц, (частицы, остановившиеся в пластинках нижней камеры (Н. К.) Вильсона) так и жестких частиц (частицы, проходящие вещество эквивалентное 17 см свинца).

Измерение нонизующей способности жестких частиц дало возможность градуировать всю систему и контролировать ее работу.

После тщательного отбора траекторий, на основании 6000 жестких частиц (30000 значений ионизации) была построена кривая распределения ионизации (фиг. 2). Ширина этой кривой на половине высоты равняется  $\pm 32,5\%$ <sub>6</sub>.



Из пяти измерений ионизации для каждой частицы в пяти слоях пропорционального счетчика, методом максимума правдоподобия (см. например [3], [4], [5], [6]), находим значения ионизации.

Выбор этого метода обработки объясняется тем, что он дает наилучшие результаты. Уравнение правдоподобия имеет вид:

$$\sum_{i=0}^{n} \frac{\partial f(x_i)/\partial a_k}{f(x_i)} = 0 \cdots [1] \quad \text{где } k = 1, 2, \cdots l,$$

 $x_1, x_2 \cdots x_n$  экспериментальные значения измеряемой величины x с функцией распределения f(x), зависящей от параметров  $a_1, a_2 \cdots a_r$ .

f(x) функция распределения ионизации жестких частиц, которая считается универсальной функцией параметра x и ищется такое значение величины "a" при котором уравнение правдоподобия обращается в нуль.

Согласно распределению Ландау [7] нонизационные потери являются функцией параметра  $\frac{J-J_0}{\xi}$  , где  $I_0-$ есть наивероятное зна-

чение ионизации. Принимается, что  $\xi = \frac{\eta}{\beta^2}$ , где

$$\eta = \frac{1,54 \cdot 10^{5} \cdot M\Sigma Z}{\Sigma A}$$
;  $\eta$ —есть величина,

зависящая только от параметров пропорционального счетчика (M—это масса толщины вещества на  $c M^2$  площади).

При этом функция f(x) принимает вид

$$f\left[\frac{(I-I_0)}{\gamma_i}\,\beta^{\underline{a}}\,\right] = \varphi\left[(I-I_0)\,\beta^{\underline{a}}\,\right].$$

Предполагается, что наше экспериментальное распределение ионизации является универсальной функцией параметра  $(I-I_0)\beta^2$ .

При этом функция правдоподобия примет вид

$$\frac{-\partial \varphi \left[ (I-I_0) \, \beta^2 \right] / \partial I_0}{\varphi \left[ (I-I_0) \, \beta^2 \right]} \; = \; - \; \frac{\varphi'}{\varphi} \, \beta^2.$$

Кривая  $\frac{\varphi'}{\varphi}$  строится графическим путем, исходя из кривой распределения жестких частиц на фиг. 2. Для этого сначала кривая фиг. 2 дифференцируется, а затем строится кривая  $\frac{\varphi'}{\varphi}$  путем деления соответствующих ординат.

Имея эту кривую и экспериментальные значения ионизации, мегодом максимума правдополобия находится значение ионизации.

Поскольку функция правдоподобия зависит от величины  $\beta^2$ , то для каждого отдельного случая необходимо одновременно найти согласованные значения и I и  $\beta^2$ . Для этого значения  $I_1$ ,  $I_2 \cdots I_n$  умножаются на произвольно выбранное значение  $\beta^2$  и ищется, указанным выше ме-

тодом, значение  $I_0$   $\beta_1^2$ . Если  $\beta_{2*}^2$  соответствующее значению  $I_0$ , совпадает со значением  $\beta_1^2$ , то выбор был правильным. В противном случае этот процесс повторяется до тех пор, пока выбранное и полученное значение  $\beta^2$  не совпадет.

Согласно формуле [1] ищется такое значение  $I_0\beta^2$ , при котором уравнение обращается в нуль.

Для этого кривая  $\frac{\phi'}{\phi}$  перемещается вдоль оси абсцисс, параллельно себе, и ищется такое ее положение, при котором сумма ординат экспериментальных точек равняется нулю.

$$\left(\frac{\varphi'}{\varphi}\right)_{I_1} + \left(\frac{\varphi'}{\varphi}\right)_{I_2} + \cdots + \left(\frac{\varphi'}{\varphi}\right)_{I_n} = 0.$$

Для осуществления указанной операции построена специальная

табличная линейка, имеющая следующую конструкцию. На подвижной части линейки нанесены значения функции  $\frac{\varphi'}{\varphi}$ , а на неподвижной части значения ионизации в произвольных единицах. Пять значений ионизации  $I_1$ ,  $I_2$ ,  $I_3$ ,  $I_4$  и  $I_5$ , умножаются на предварительно выбранное значение  $\beta_1^2$ . Полученные значения  $I_1\beta_1^2$ ,  $I_2\beta_1^2$ ,  $I_3\beta_1^2$ ,  $I_4\beta_1^2$ , и  $I_5\beta_1^2$ , наносятся на неподвижной части линейки. Перемещая подвижную часть линейки и каждый раз суммируя значения цифр, соответствующих точкам нанесенным на неподвижной линейке, находим такое положение подвижной линейки, когда сумма равна нулю. При этом значение  $I_0$ , соответствующее значению функции  $\frac{\varphi'}{\varphi}=0$  и есть искомое значение ионизации, так как при  $I=I_0$ ,  $\varphi'=0$ . (Параметр  $I_0$  соответствует максимуму кривой

Обработанные таким путем 6000 траекторий жестких частиц дали кривую распределения, показанную на фиг. 3. Ширина этой кривой на половине высоты равна  $\pm 16,5\%$ , тогда как метод среднего значения и интегрально-дифференциальный метод [8] дают  $\pm 27,5\%$ , и  $\pm 23,0\%$ , соответственно.

распределения  $\varphi_{(I-I_0)}$ ). Для подбора величины  $\beta^2$  этот процесс повто-

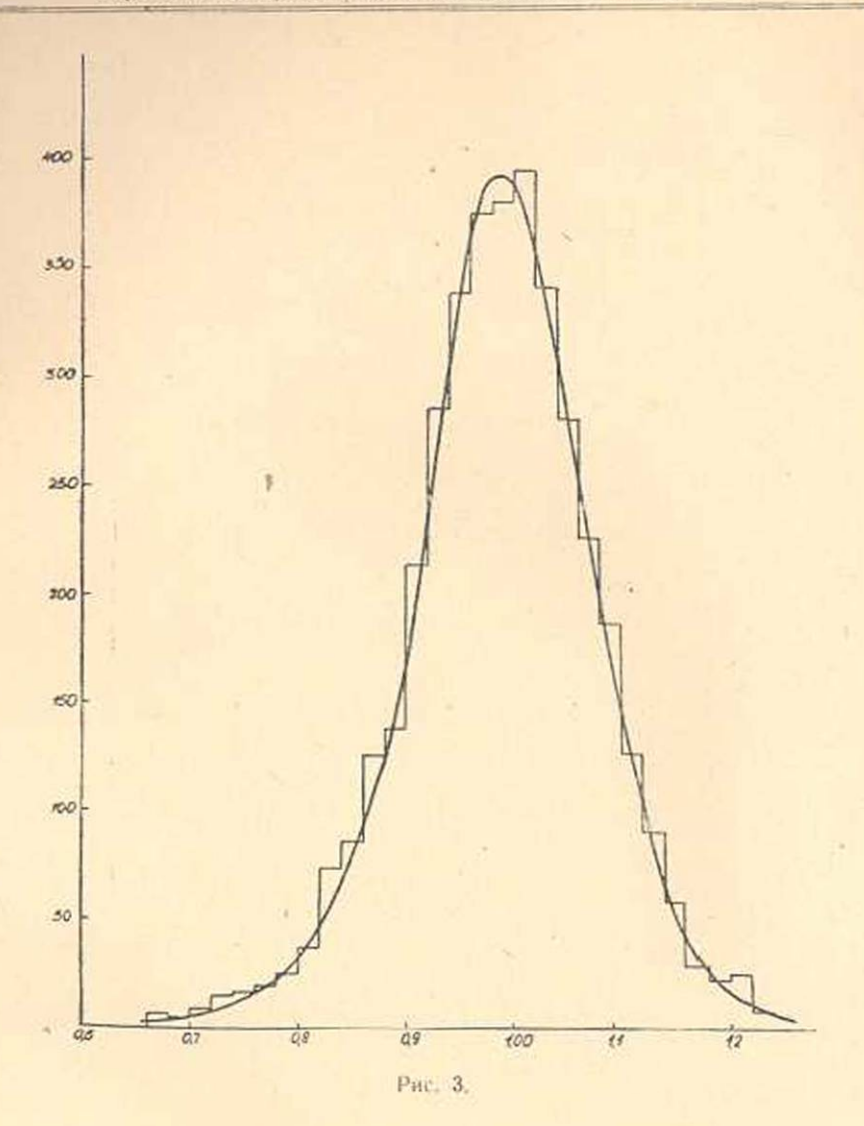
ряется несколько раз.

Для определения величины масс частиц по импульсу и ионизации необходимо построить экспериментальную кривую  $p/\mu = f(I)$  где p и  $\mu$  — импульс и масса частицы.

Для построения этой кривой было отобрано 650 мягких частиц, остановившихся в нижней камере Вильсона ионизационным образом.

Масса этих частиц определяется по их импульсу и пробегу. Затем эти частицы были разбиты на десять групп по значениям  $p/\mu$ .

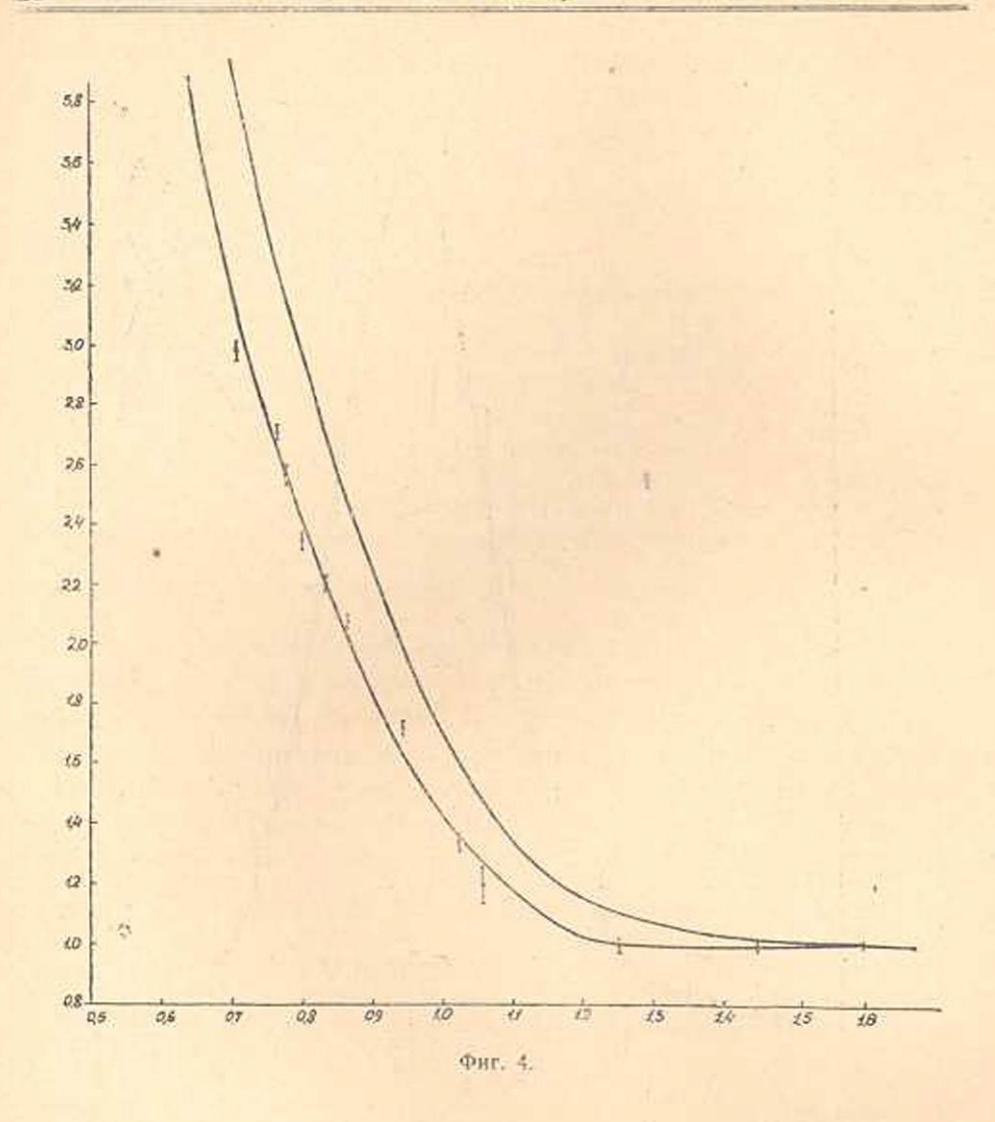
Чтобы найти значение ионизации для каждой группы частиц, снова использовался метод максимума правдоподобия, но в качестве исходной функции распределения служило распределение жестких частиц фиг. 3.



Кривая зависимости p/p = f(I) показана на фиг. 4 (кривая "A\*). Ошибки определены исходя из дисперсии кривой распределения и числа частиц в данной группе.

$$\Delta = \pm \frac{\sigma}{V N}$$

Для сравнения, на фиг. 4 приведена теоретическая кривая (кривая "Б"). На фиг. 5 и 6 приведены гистограммы масс для 290 протонов ионизационно остановившихся в пластинках нижней камеры. Массы подсчитаны двумя разными методами. На фиг. 5 массы подсчитаны по-импульсу и пробегу, на фиг. 6 по импульсу и ионизации.

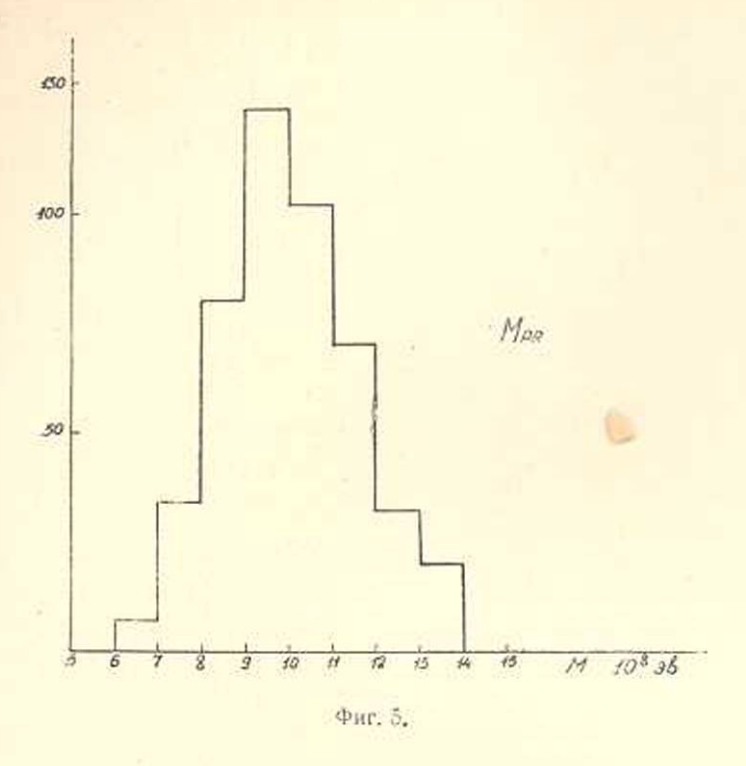


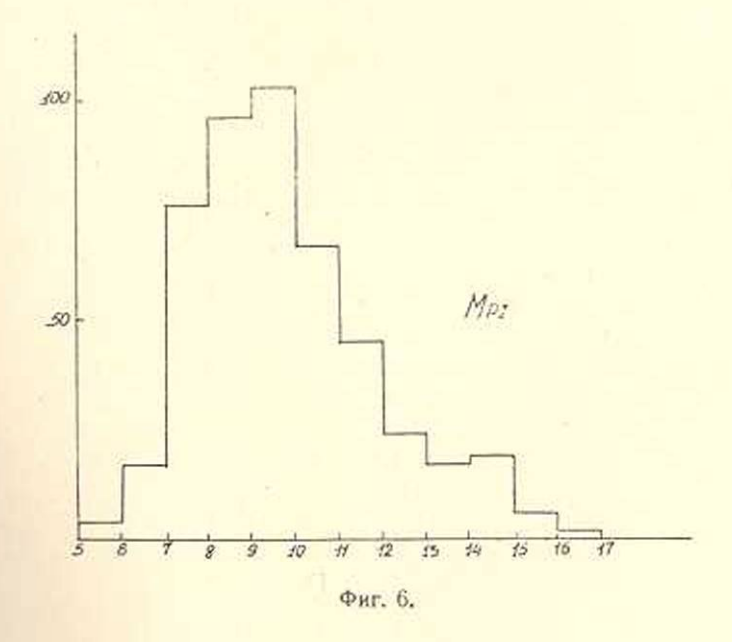
В обоих случаях значение максимума хорошо совпадет со значением массы протона.

В заключение автор считает своим долгом выразить благодарность профессору А. И. Алиханяну за постоянный интерес к работе, В. М. Харитонову за руководство работой, а также Г. А. Марикяну за помощь в ее выполнении.

Физический институт АН Армянской ССР

Поступнао 23 VI 1958





#### L. U. Բաղգասարյան

# ԻՈՆԻՁԱՑԻՈՆ ՉԱՓՈՒՄՆԵՐԻ ՓՈՐՁՆԱԿԱՆ ՏՎՅԱԼՆԵՐԻ ՄՇԱԿՈՒՄԸ Ա Մ Փ Ո Փ Ո Ի Մ

Կոսմիկական ճառադալնման էլևմննատր մասնիկների մաստալի մեծու-Երունը որոշելու համար, մադնիսական մասս-ոպեկարոմնարի մեջոցով չափվում է մասնիկի իմպուլսի մեծունիրոչը մագնիսական գաշտում և նրա անցած ճանապարհի երկարունիրունը մինչև կլանիչների մեջ կանգ առնելը։ Այս մենիորի հիմնական ներունիրունը կալանում է նրանում, որ երբ մասնիկը կանդ է առնում կլանիչների մեջ ոչ իռնիդացիոն կորուսաների պատճառով, ապա մասսալի մեծունկան որոշումը այդ դեպքում տալիս է մեծ շեղումներ. նրա իրական մեծունկան հետ համեմատած։

Մազնիսական մասս-սպնկարոմնարում տնղադրված հինգ շնրտանոց հաժ ժնմատական հաշվիչը հնարավորություն է տալիս որոշել մասնիկի իոնիզացնող հատկությունը։ Ունննալով մասնիկի իոնիզացնող հատկությունը և իմպուլսի մեծությունը մագնիսական դաշտում, կարնլի է որոշել մասնիկի մաստալի մեծությունը. անկան նրա անցած ձանապարհից կլանիչների մեջ։

Քանի որ լուրաքանչյուր մասնիկի համար ունենք հինդ իոնիղացիոն չափում, մաքսիմալ ճշմարտանմանության մեխոդով որոշում ենք իոնիդացիոն չափում, մաքսիմալ ճշմարտանմանության մեխոդով որոշում ենք իոնիդացիան ցիալի արժեքը [3], [4], [5], [6]։ Հոդվածում բերված է այս մեխոդով կատարված հաշվունների մանրամասն նկարադիրը։ Եթե հոնիդացիոն մեկ չափում կատարելու դեպքում բաշիման կորի լայնությունը միջին բարձրության վրա հավասար է ±32,5%, ապա հինդ չափում կատարելու դեպքում և մաքսիմալ ճշմարտանմանության մեխոդով իոնիդացիալի մեծությունը հաշվիլուց հետո, կորի լայնությունը միջին բարձրության վրա ստացվում է ±16,5%, Երբ ունեցած հինդ չափումներից իոնիդացիալի մեծությունը որոշում ենք միջին արժեքի կամ ամենափոքը նշանակության [8] մեթոդներով, ապա կորի լայնությունը միջին բարձրության վրա համապատասիսանաբար ստացվում է ±27,5%, և ±23,0%,

p/\pi = f(l) կորի կառուցման համար ընտրվել են 650 մասնիկներ, որոնք իռնիզացիոն կորուսաների պատճառով կանդ են առևլ ներքեի կաժերայի կլանիչների մեջ։ Այս կորը հնարավորություն է տալիս որոշել մասնիկի մասսայի մեծությունը, անկախ նրա անցած ճանապարհից կլանիչների մեջ, իմպուլսի և իռնիզացիայի միջոցով։

290 պրոտոնների համար, որոնք կանդ են առել կլանիչների մեջ իոնիզացիոն կորուստների պատճառով, հաշվված են մասսաները իմպուլսի և անցած ճանապարհի, իմպուլսի և իոնիզացիայի միջոցով։ Ինչպես երևում է բերված հիստոգրամաներից երկու դեպքում էլ հիստոդրամայի մաքսիմումի արժեքը լավ համընկնում է պրոտոնի մասսալի արժեքի հետ։

#### ЛИТЕРАТУРА

 Багдасарян Л. С., Харитонов В. М. Марикян Г. А. "Многоканальный амплитудный анализатор импульсов с логарифмической характеристикой". Известия АН Арм ССР, 3, 1958.

- Алиханян А.И. Постакович Н. Б. Дадаян А. Т. Феодроов В. М. Дерягин Б. Н. О спектре масс заряженных частиц космического излучения\*. ЖЭТФ 6 (12). 1956, 955.
- Fisher R. A. On an absolute criterion for fitting freeguency cyrves. Mess. of math. 41 (1912), 155.
- 4. Fisher R. A. Theory of statistical estimation. PCPS, 22, (1925), 700.
- 5. Крамер Г. Математические методы статистики. М., 1948.
- Арлей Н. Бух К.. Введение в теорию вероятностей и математическую статистику. М., 1951.
- 7. Landau L. Cal the energy loss of fast particles by ionization. J. of phys. 8, 201. (1944).
  - 8. Никитин С. ЖЭТФ, 18, 577 (1948).

Физико-математические науки

ФИЗИКА

#### Г. В. Бадалян

# Наблюдение быстрых дейтронов в системе магнитного спектрометра с двумя камерами Вильсона

В 1954 г. Арагацской высокогорной лабораторией по изучению космических лучей, на высоте 3200 м над уровнем моря, была осуществлена установка, состоящая из магнитного спектрометра сочлененного с 2-мя большими прямоугольными камерами Вильсона [1].

Наличие такого прибора позволяло исследовать не только частицы, идущие из воздуха, но также частицы локально генерированные в веществе одной из камер. Непрерывная эксплуатация этого прибора в течение последующих лет показала, что с его помощью можно получить ценные сведения относительно механизма генерации заряженных космических частиц, в частности т и К мезонов, протонов, дейтронов и т. д.

В настоящей работе приведены некоторые экспериментальные результаты по исследованию дейтронов космического излучения, полученные на такой установке.

# 1. Описание прибора

Прибор (фиг. 1) состоит из 3-х основных узлов [1-3]:

- 1. магнитный спектрометр;
- 2. нижняя камера Вильсона (Н. К.);
- 3. верхняя камера Вильсона (В. К.).

Магни: ный спектрометр большой разрешающей силы служит для измерения импульсов заряженных космических частиц. Он состоит из большого электромагнита, создающего в межполюсном пространстве размерами  $100\times30\times12$  см однородное магнитное поле вплоть до 19000 гаусс, и годоскопической системы счетчиков ("Телескоп"), расположенной в этом поле. На фиг. 1 пряведен разрез прибора в 2-х взаимно перпендикулярных проекциях. Телескоп состоит из пяти рядов тонкостенных счетчиков Гейгера-Мюллера (1—5, проекция а) диаметром 4,6 мм, позволяющих установить пять точек круговой траектории частицы, а следовательно радиус траектории и импульс ( $p=300\,\mathrm{Hp}$ ). Ряды 1—5 (т. н. координатные) содержат каждый по 49 счетчиков, приключенных к соответствующим электронным ячейкам с выходными неоновыми лампочками. Кроме того, дополнительно имеются

5 рядов счетчиков (1-V), проекции b) т. н. продольные ряды, позволяющие одновременно фиксировать прямолинейную проекцию тра-

BK

BK

BK

Par. 1.

екторин в плоскости, параллельной магнитному полю.

Измерения проводились при напряженности поля 4500 гаусс. Точность измерения импульса определялась в основном конечными диаметрами счетчиков, рассеянием в стенках счетчиков и незначительными колебаниями магнитного поля. Формула для определения относительной среднеквадра-

тичной ошибки импульса такова (р в

едвицах 
$$\frac{\beta B}{c}$$
):
$$\sigma_{\rho} = \sqrt{(9,15 \cdot 10^{-11} p)^2 + \left(\frac{0,0262}{\beta}\right)^2 + \frac{0.025^2}{}}$$

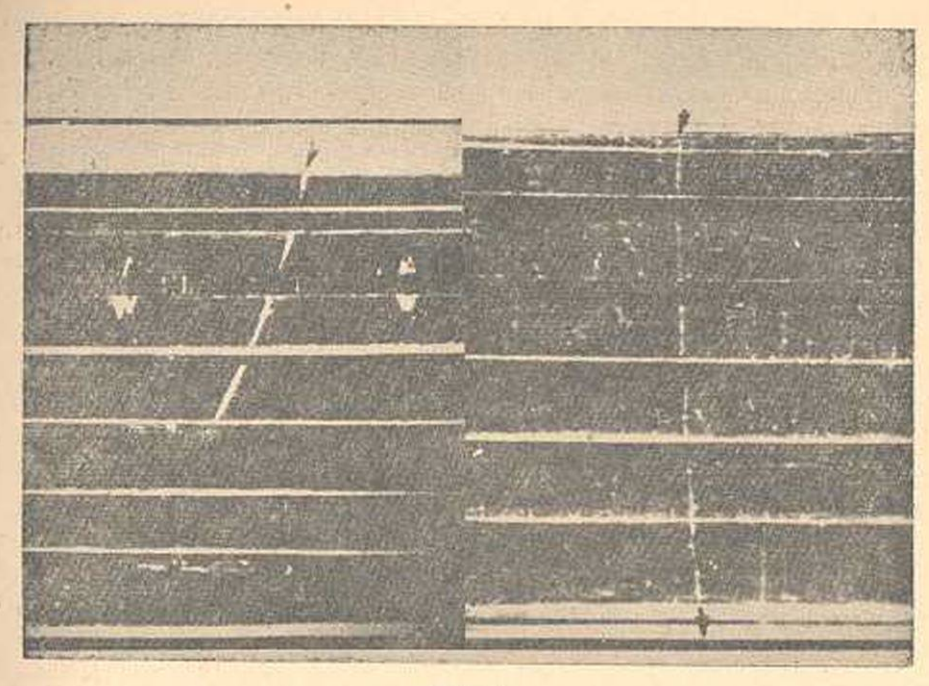
Например, дейтроны с импульсами 7×10°, 9×10°, 11×10° и 14×16° име-

ют соответственно ошибки  $10,15^{\circ}/_{\circ}$ ,  $10,5^{\circ}/_{\circ}$ ,  $11,6^{\circ}/_{\circ}$ ,  $13,7^{\circ}/_{\circ}$ , а протоны имеют соответственно  $-8,15^{\circ}/_{\circ}$ ,  $9,4^{\circ}/_{\circ}$ ,  $10,9^{\circ}/_{\circ}$  и  $13,4^{\circ}/_{\circ}$ .

Выходя из магнитного поля, частица попадает в расположенную под полюсами магнита большую прямоугольную многопластинную камеру Вильсона [3] размерами 600×280×180 мм, служащую для наблюдения остановок (ионизационных или неионизационных) заряженных частиц в веществе камеры. Внутри освещенной области камеры имеются 7 свинцовых пластин толщиной 0,7 см, а также 2 медные 2-х мм пластины.

Если характер остановки частицы ионизационный (с явным ужирнением следа к концу пробега, см. фиг. 2а), то по числу пройденных пластии определяется остаточный понизационный пробег частицы r, а зная заодно и импульс p, можно вычислить массу p. Интервал пробегов, в котором отбирались ионизационные остановки частиц соответствовал 1,2—5,4 см. Pb (с учетом тонкой дюралевой крышки камеры). Точность измерения остаточного пробега почти целиком определяется конечной толщиной пластин: вклад многократного рассеяния, а также флуктуации ионизационных потерь и многократного рассеяния ничтожны для тяжелых частиц и ими можно пренебречь.

Относительная среднеквадратичная ошибка пробега при данной толщине пластин 0,7 см такова:



Фиг. 2.

$$z_r = \frac{0.2}{r} \quad (r \text{ B CM } Pb). \tag{2}$$

Если в интересующем нас интервале импульсов разумно аппроксимировать кривую "пмпульс—пробег" зависимостью вида  $\frac{r}{\mu} = A \left(\frac{p}{\mu}\right)^n$ , то

решая ее относительно массы, получим удобную формулу для вычисления ошибки в массе. Для протонов и дейтронов, остановившихся в вышеуказанном интервале пробегов, параметр n=3,0, относительная среднеквадратичная ошибка в массе, выраженная ошибками импульса и пробега будет:

$$a_p = \sqrt{2,25} \widehat{a_p^2 + 0,25} \widehat{a_r^2}.$$
 (3)

Например, дейтрон со средним импульсом  $9\times10^8 \frac{38}{c}$  и пробегом 3~cm~Pb имеет ошибку массы  $16,1^0/_0$ , протон со средним импульсом  $5,45\times10^8 \frac{36}{c}$  и пробегом 3~cm~Fb имеет ошибку  $12^0/_0$ . Такая точность всаволяет хорошо отделить дейтроны от протонов (см. ниже массовый спектр).

Под нижней камерой расположен ряд счетчиков антисовпадений, позволяющий регистрировать только частицы, которые останавливаются сами или вместе со своими вторичными продуктами в веществе\_нижней камеры. До входа в магнитное поле частица проходит через верхнюю прямоугольную камеру Вильсона таких же размеров, как и нижняя.

В освещенной области верхней камеры крышка и дно имеют толщину ~ 1,0 см (латунь), а внутри камеры установлены 5 свинцовых пластин толщиной каждая 1 см и 2 медные пластины по 2 мм толщиной. Таким образом мы имеем возможность наблюдать траекторию частицы до того, как она пройдет через магнитный спектрометр и остановится в нижней камере. Если частица, зарегистрированная установкой, выходит из освещенной области верхней камеры, то можно будет обнаружить звезду, в которой она зародилась, или установить, что она пришла извне. Эффективность наблюдения в верхней камере существенно зависит от импульса частиц [4]. Она значительна для тяжелых частиц (90%) и очень мала для медленных мезонов (22%), большинство которых выходит из торцевых частей верхней камеры и сначала проходит через неосвещенные зоны.

Запуск установки и регистрация кадра производится управляющим импульсом, образованным благодаря совпадению импульсов в координатных рядах 1, 3, 5 и при отсутствии импульса с ряда антисовпадений (1+3+5-A).

Загорания неоновых лампочек и изображения в камерах Вильсона фотографируются отдельными фотовппаратами на кинопленке и, после сопоставления, "сшивания" кадров, поступают на отбор и обработку.

# II. Отбор траекторий протонов и дейтронов, спектр масс

При помощи установки, описание которой приведено выше, мы произвели регистрацию траекторий большего числа частиц, испытавших остановку в Н. К., в частности протонов и дейтронов.

Для отбора траекторий были применены следующие критерии:

- а) в плоскости магнитного отклонения траектория частицы имеет по крайней мере четыре точки, укладывающиеся на окружность.
- б) в перпендикулярной плоскости траектория содержит не менее 3-х точек, лежащих на прямой.
- в) частица останавливается в пределях освещенной зоны нижней камеры, причем место и характер остановки не вызывают сомнений.

Для большей достоверности характера торможения, остановки в камере брались начиная со 2-ой 7 мм пластины до 7-ой пластины включительно; таким образом можно было легко отделить ионизационные остановки частиц от неионизационных-ядерных, а также от случаев ухода частицы в стекло или толстую часть дна.

Приведенные выше критерии отбора обеспечивают высокую достоверность траектории частицы, такие траектории мы условно относим к I сорту.

Если траектории имеют только 3 точки в плоскости а), или 2 точки в плоскости б), или же характер и место остановки вызывают

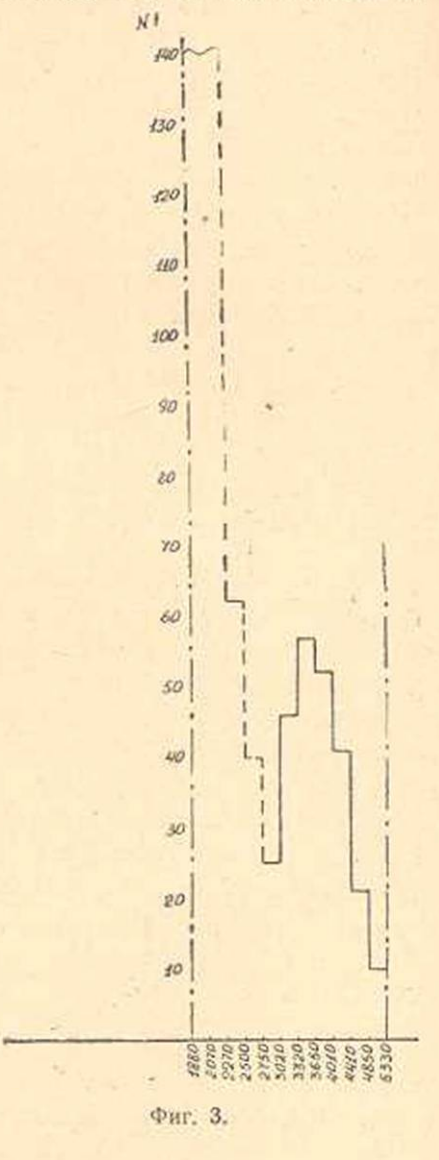
некоторое сомнение, то они менее достоверны и их мы относим ко II сорту. Траектории при неудовлетворении 2-х критерий отбора вообще не брались.

Спектр масс в интервале 1880—5300 m<sub>e</sub> тяжелых космических частиц, испытавших ионизационную остановку в пластинах нижней ка-

меры, приведен на фиг. 3. Он построен по траекториям частиц 1-го сорта. Видно резко выраженный дейтронный пик с максимумом на 3650 m<sub>e</sub>.

Частичное взаимное перекрывание распределений протонов и дейтронов происходит благодаря конечной точности измерения масс (см. формулу (3)), средние стандартные ошибки масс протонов и дейтронов соответственно 220  $m_e$  и 594  $m_e$ , которые хорошо совпадают с ошибками оцененными по полуширине экспериментальных распределений (~ 220 и 590 m<sub>e</sub> соответственно). Справа в спектр могли попасть тригоны, по ввиду их незначительности, если мы оборвем спектр дейтронов на массе 5100 т. (двойная полуширина), вкладом тритонов можно пренебречь. Поэтому, считая спектр дейтронов симметричным, можно определить общее число дейтронов, если количество частиц справа от 3650 те, до 5100 те удвоить. Получается общее число дейтронов I-го сорта ~ 242 шт.

Слева, при заниженных значениях массы, будет существенным хвост протонного распределения, особенно зазначением массы 3000  $m_r$ , т. е. на расстоянии, больше чем полуширина дейтронного распреде-



ления. Поэтому в дальнейшем, при рассмотрении некоторых количественных соотношений дейтронов, будем, для большей достоверности, исходить только из 224 дейтронов, находящихся в интервале масс  $3000-5100~m_e$ .

Мы зарегистрировали также∼86 шт. частиц, которые можно было относить к дейтронам II-го сорта, но эти частицы не введены в

З Известия АН, серия фил.мат. наук. № 4

спектр. Количество протонов, регистрированных одновременно с дейтронами и введенных в спектр, составляет около 3200.

### III. Результаты измерений

Таким образом в интервале пробегов 1,2—5,4 с.м зарегистрировано 242 дейтронов (І-го сорта) и 3200 протонов. Если проследить траектории частиц в верхней камере, то оказывается, что часть траекторий прослеживается от крышки до дна, и с вычетом случаев генерации в крышке все они принадлежат к частицам идущим из воздуха. Часть траектории берет свое начало в пластинках камеры, это случав локальной генерации. Имеется также ряд траекторий, которые выходят из неосвещенных зон верхней камеры, или же благодаря различным дефектам снимка (или его отсутствия) вовсе не имеют продолжения в верхней камере.

### Относительное содержание дейтронов в вертикальном воздушном потоке протонов

1. Дейтроны и протоны, остановившиеся ионизационным образом в интервале пробегов 1,5—5,3 см свинца.

Чтобы выделить воздушные дейтроны мы оценили число случаев рождения в крышке В. К. Если построить распределение случаев генерации дейтронов по пластинкам верхней камеры, то получается гистограмма, фезко возрастающая ко дну камеры. Интерполируя гистограмму до крышки, получаем искомое число. После исправления получается, что из 242 дейтронов ~ 81 явно идут из воздуха. Определяя аналогичным образом число воздушных протонов, получаем 1627. Но эти цифры не представляют истинное соотношение дейтронов и протонов в воздухе, так как во-первых, дейтроны и протоны, остановившиеся в данном интервале пробегов, будут относиться к разным интервалам импульсов, следовательно разные будут у них светосильные поправки [4] и, во-вторых на пути к остановке через вещество В. К. и часть вещества в Н. К. протоны и дейтроны могут испытывать неупругие столкновения с ядрами и выбыть из игры. Так как интересующие нас протоны до входа в В. К. имеют энергию 280-345 *Мэв* (импульс  $7,6-8,6\times10^8 \frac{38}{c}$ ), то соответствующий пробег неупругого ядерного взаимодействия  $\lambda = 245 \ r/cm^2 Pb$  [5]. Дейтроны до входа в В. К. будут иметь энергию 355-460 Мэв  $\left(\text{импульс }12,0-13,9\times10^8\,\frac{98}{c}\right)$ . Кроме обычного ядерного поглощения, дейтроны могут исчезать благодаря специфическим процессам "срыва", дифракционного и кулоновского расщепления [6-9], поэтому про-

бег неупругого ядерного взаимодействия дейтронов должен быть много

меньше, чем протонный. В работах [10—12] рассмотрено поглощение дейтронов при различных энергиях, простирающихся от 75 Мэв до 900 Мэв. В пределах экспериментальных ошибок пробег неупругого ядерного взаимодействия во всем этом интервале остается∼постоянным и равным ~0,8 кометр.

Для свинца это соответствует  $\lambda_d \approx 137~\text{г/см}^2$ . При экспоненциальном законе ослабления соответствующий фактор ослабления есть  $\exp\left(-x/\lambda_d\right)$ , где x есть сумма пройденных пробегов частицы в В. К. ( $\sim 87,5~\text{г/см}^2$  Pb эквивалент) и в Н. К. (в среднем  $\sim 3.0 \times 11.4 = 34.2~\text{г/см}^2$  Pb эквив.) :  $x = 122~\text{г/см}^2$ . Все количественные данные приведены в табл. 1.

Таблица 1

Частица	Наблюден, число <i>и</i>	Светосила см (4)	Фактор ядерного ослабления	Исправлен. число N	Отношение $N_d/N_\rho$ 0,063±0,0072*	
Дейтрон Протон	81 1627	0,8 0,68	0,41 0,606	246 3940		

Статистическая среднеквадратичная опшбка, вычисленная согласно закону распространения случайных ошибок [13].

### 2. Дейтроны и протоны, относящиеся к одному и тому же интервалу импульсов

Интервал импульсов воздушных дейтронов до входа в В. К. есть  $\left(12,0-13,9\right)\times10^8\,\frac{98}{c}\right)$ . Протоны тех же импульсов, пройдя толщину, В. К. будут иметь остаточный импульс в пределах  $(10,5-12,6)\times10^8\,\frac{98}{c}\right)$ . Такие протоны могли останавливаться в веществе Н. К. только катастрофически, благодаря неупругим ядерным взаимодействиям.

Наблюденное число таких остановок протонов (с поправкой на  $\pi^+$  мезоны) составляет  $\sim 300$  шт.

Чтобы воспроизвести истинное число протонов в данном интервале импульсов, нужно наблюденное число делить на вероятность остановки в веществе Н. К. Кривая вероятности остановки построена у нас аналогичным в (14) образом\*. Согласно этой кривой в интересующем нас интервале импульсов (10,5—12,6)  $10^8 \frac{\partial 8}{c} = 0,21$ . Определяя далее светосильные и абсорбционные поправки как выше, получим следующие данные (см. табл. 2).

При этом использованы мекоторые данные, любезно предоставленные нам
 Н. М. Кочаряном.

Таблица 2

Частица		Вероятность остановки <i>w</i>	Светосила см [5]	Фактор ядерного ослаб.	Истин, число N	Отношение $N_d/N_p$
Дейтроны	81	1,0	0,8	0,41	246	0,086±0,010*
Протоны	300	0,21	0,83	0,606	2850	

<sup>\*</sup> Статистическая среднеквадратичная ошибка.

### IV. Обсуждение результатов

Приведенные в предыдущей главе результиты показывают, что нашим прибором в числе ряда других задач можно эффективно регистрировать быстрые дейтроны, причем наличие верхней камеры дает возможность с большой вероятностью отделить воздушные дейтроны от генерированных.

факт регистрации большего числа воздушных дейтронов (гл. III) говорит о том, что при ядерных взаимодействиях нуклонов в воздухе наряду с другими продуктами образуется и заметное количество энергичных дейтронов, которые и регистрируются детектором.

Вопрос о присутствии дейтронов в равновесном потоке космического излучения на нашей высоте рассматривался ранее в работах [15], [16], [17], [18].

Таблица

Работа	Методика эксперимента	Вещество над установкой	Импульс в воз- духе или остаточ- ный пробег	Доля дейтронов от числа аналог. протонов
[15]	Магнитный масс-спек- трометр		1 <i>Бэв/с</i>	40/6
[16]	Магинти, спектр+пропорц, счетчик	9 см Рв	3,0-6,4 cx Pb	8,5±1,5%/ <sub>0</sub>
[17]	Магнитн, спектр+пропорц- счетчик		1,15 Ess/c	80/0
[18]	Магнити, спектр + камера Вильсона	6 см Pb+20 см/с	1,5-3,5 см Рь	7-89/0
Наши данные	Магнитн, спектр с двумя камерами Вильсона	Вещество В. К. 5 см Pb+2.4cm/Cu	1,2—5,4 см Рв	6,3±0.72 <sup>1</sup> / <sub>0</sub>
	Acameponia Dianetonia	(генерация пычтена)	1,2-1,39 Ese/c	8,6±1,00/o

Для сравнения с нашими данными в таблице 3 приведены некоторые результаты, полученные в вышеупомянутых работах. Полученные нами результаты в пределах экспериментальных ошибок совпадают с [17] и согласуются в большей или меньшей степени (в зависимости от методики) с остальными работами. Повидимому, наши занные более точны, так как получены на более совершенной установке и с большей статистикой.

В заключение выражаю глубокую благодарность А. И. Алиханяну за постоянный интерес к работе и поощрение. Я также благодарен А. Т. Дадаяну и Н. М. Кочаряну за советы и полезную дискуссию.

Физический институт АН Армянской ССР

Поступило 13 VI 1958

#### L. d. Բադալյան

# ԱՐԱԳ ԴԵՅՏՐՈՆՆԵՐԻ ԴԻՏՈՒՄԸ ՄԱԳՆԻՍԱԿԱՆ ՍՊԵԿՏՐՈՄԵՏՐԸ ՎԻԼՍՈՆԻ ԵՐԿՈՒ ԿԱՄԵՐԱՆԵՐԻ ZES ՄԻԱԿՑՎԱԾ ՍԻՍՏԵՄՈՒՄ

#### UUTOBOODE

Հոդվածում թերված են Վիլունի երկու կամերաների հետ միակցված մագնիսական սպեկարոմեարի միջոցով 3200 մ բարձրության վրա կոսմիկական սպեկարոմների դրանցման և ուսումնասիրության մի չարք արդյունքներ։ Մանրաման շարադրված են նոր սարքավորման առավելությունները և հնարավորությունները դելարոնները պրոտոններից տարբերելու և օդային դելարոնները սարքավորման ներսում ծնված դելարոններից անջատելու ուղղությամբ։ Ցույց է արված, որ այն օդային դելարոնները, որոնք անցել են վերևի կամերայի միջից (5 ամ կապար + 2,4 ամ արույր) և կանգ առել ներքեր կամերայի միջից 1,2—5,4 ամ Pb վաղքի ինտերվալում, կաղմում են նույնական օգային պելարոնների միջից 6,0002 մասը։ Ալնուհետև, դրանցված օգային դելարոնների թիմը հանսատված է միևնույն իմպույսի ինտերվալին

12-13,9-10<sup>8</sup> - «Մ մինչև վերևի կամերա մանելը պատկանող պրոտոնների Եվի հետ։ Արդյունքում ստացվել են 0,086±0,010։ Վերջում, ստացված արդյունքները համեմատվել են դրականության մեջ եղած տվյայների հետ։

#### ЛИТЕРАТУРА

- Алихиняц А. И., Шостакович Н. В. Дадаян А, Т., Федоров В. М., Перягин Б. Н. ЖЭТФ 31, 955, 1956.
- 2. Цайон М. И., Федоров В. М., Мерзон Г. И. Пр. и ТЭ № 2, 1956.
- 3. Лайон М. И., Федоров В. М. ЖТФ, т. XXV, вып. 5.
- 4. Бадаляя Г. В. Изв. АН АрмССР (серня ФМЕТ наук), т. Х. № 6, 1957.
- Гольданский В. И., Любимов А. Л. н Медведев Б. В., УФН, т. 49. вып. 1, 1953.
- 6. Власов Н. А. Нейтроны. Москва, 1955.
- 7. Фейнбер: Е. Л. ЖЭТФ, т. 29, вып. 1. 1955.
- Ахиезяр .A И., Ситенко А. Г. ЖЭТФ 32, 794, 1957.
- 9. Dancoff S. M. Phys. rew. 72, 1017, 1947.
- Camerini U., Fowler P. H., Lock W. O. and Muirhead H. Phil. mag. 41, 413-427, 1950.
- 11. Любимов В. А. Автореферат лиссертации. 1956. Москва.

- 12. Соловьева Л. П. ЖЭТФ 31, 1086, 1956.
- Уоргинг А., Геффиян Дж. Методы обработки экспериментальных данных ИЛ., Москва, 1953.
- Кочарян Н. М., Саакян Г. С., Айвазян М. Т., Киракосян З. А. в Алексанян А. С. Изв. АН СССР, т. 19, 515, 1955.
- 15. Кочарян Н. М. Докт. диссертация, Ереван 1954.
- 16. Марикян Г. А. Диссертация. Ереван, 1954.
- 17. Айвазин М. Т. Изв. АН АрмССР (серия ФМЕТ наук), т. 9, 91, 1986.
- 18. Дайон М. И. ДАН СССР, т. 101, № 6, 1955.

# ДИЗИМИЦЬ ПИР ТРУПРИЗПРИБЕР ПЛИТЕПТИ В РОТИЧЕР В В СТИЯ АКАДЕМИИ НАУК АРМЯНСКОЙ ССР

Ундрип-имрыйши, ариппериоббые XI, № 4, 1958 Физико-математические изуки

ФИЗИКА

#### Р. С. Оганесян

# О гравитационной неустойчивости плоскопараллельного слоя проводящей жидкости при наличии магнитного поля

В настоящей работе рассмотрен вопрос о гравитационной неустойчивости плоскопараллельного проводящего жидкого слоя бесконечной длины по отношению к поперечным колебаниям в собственном поле гравитационных сил при наличии магнитного поля, перпендикулярного к его плоскости. Исследование проводилось при помощи математического аппарата магнитной гидродинамики в рамках линейиого приближения, предполагая бесконечную электропроводность гравитирующей среды.

Метод исследования в основном близок к метод. Чандрасекара и Ферми [1]. Установлено, что рассматриваемый слой устойчив по отношению к поперечным колебаниям любой длины, если напряженность магнитного поля превышает некоторое критическое значение. В противном случае, начиная с некоторого определенного значения длины возмущения слой становится неустойчивым и распадается.

1. Как известно, в астрофизике неоднократио рассмотривались устойчивость систем, состоящих из сжимаемой гравитирующей массы в виде плоскопараллельного слоя. Необходимость такого рассмотрения вытекает из того факта, что многие космические системы можно представить приблизительно в виде плоского слоя. На основе исследования неустойчивости слоя в астрофизике делаются космогонические выводы относительно происхождения нашей солнечной системы, Галактики и т. д.

Вообще говоря, исследование устойчивости проводится не только по отношению систем, состоящих из сжимаемой гравитирующей массы, но и по отношению систем, состоящих из несжимаемой (жидкой) массы. Поэтому исследование гравитационной устойчивости (соответственно и неустойчивости) конфигурации в виде жидкого плоскопараллельного слоя в известной мере может оказаться необходимым, потому что найдет возможное применение в астрофизике и, вообще, представляет определенный интерес.

Факт существования магнитных полей в космическом в ространстве приводит к необходимости учета электромагнитных сил наряду с гравитационными. Учет электромагнитных сил в космических условиях может резко изменить картину движения и гравитационной неустойчивости, поскольку в космическом пространстве материя представляет собой высокоионизированную плазму и обладает малой плотностью.

В последнее время появился ряд работ о равновесии и устойчивости космических невращающихся жидких систем (шар, элипсоид, цилиндр и т. д.) при наличии магнитного поля [2, 3, 4]. Как мы увидим далее, учет магнитного поля резко изменит картину гравитационной неустойчивости проводящего жидкого слоя. Нами будет рассмотрен тот случай, когда магнитное поле перпендикулярно плоскости слоя

Представим себе жидкий плоскопараллельный слой бесконечной длины с толщиной 2h, перпендикулярно к плоскости которого действует однородное магнитное поле напряженности  $H_0$ . Выбираем систему прямоугольных координат так, чтобы горизонтальная ось x совпала с невозмущенным верхним уровнем слоя, а ось y была направлена вертикально вверх.

Предположим, что жидкий слой подвергается некоторому малому возмущению симметрично относительно центральной плоскости y=-h. Уравнение возмущенной поверхности слоя в выбранной системе координат напишем в виде:

$$y = f(x) \tag{1}$$

f(x) — малое ( $|f(x)| \ll h$ ), но произвольное возмущение.

По теореме Фурье функция f(x) может быть разложена в ряд, состоящий из членов вида  $a\cos kx$ , где a—амплитуда, k—волновое число, принимающее любое значение в интервале  $(0,\infty)$ .

Таким образом, каждый определенный член этого ряда типа  $a\cos kx$  представляет отдельную гармонику, так что исследование устойчивости или неустойчивости слоя можно провести путем рассмотрения отдельных гармоник.

Итак, предположим, что уравнение возмущенной поверхности имеет вил:

$$y = a\cos kx$$
. (2)

Ввиду симметричности задачи относительно центральной плоскости y=-h можно ограничиться рассмотрением только верхнего полуслоя. Чтобы судить о гравитационной устойчивости слоя по отношению к возмущениям типа (2), необходимо подсчитать изменение суммарной (потенциальной и магнитной) энергии, обусловленное перераспределением жидкой массы вследствие возмущения. Если изменение суммарной энергии окажется положительным, тогда слой будет устойчивым. В противном случае, слой становится неустойчивым и распадается на отдельные образования. Другими словами, система гравитирующей массы может распадаться на отдельные образования в том случае, если этот распад приводит систему к энергетически более выгодному состоянию.

2. Для подсчета изменения потенциальной энергии следует уста-

новить гравитационный потенциал возмущенного слоя, свободная поверхность которого определяется уравнением (2). Гравитационный потенциал внутри ( $\rho \neq 0$ ) и вне ( $\rho = 0$ ) возмущенного слоя можно изйти путем решения следующих дифференциальных уравнений:

$$\frac{\partial^{\epsilon} V}{\partial x^{2}} + \frac{\partial^{2} V}{\partial y^{2}} = 4\pi G p$$

H

$$\frac{\partial^2 U}{\partial x^2} + \frac{\partial^2 U}{\partial y^2} = 0, (3)$$

при определенных граничных условиях, о которых будем говорить ниже. Здесь 6—гравитационная постоянная, р—макроскопическая плотность жидкой массы, которая считается величиной постоянной.

Решения уравнений (3) соответственно будем искать в виде:

$$V = V_o + \delta V; \quad U = U_o + \delta U.$$
 (4)

Где  $V_0$  и  $U_0$  являются рещениями уравнений (3) в равновесном состоянии, которые в выбранной системе координат будут:

$$V_{\theta} = 2\pi G \rho (h + y)^{2};$$
  
 $U_{\theta} = 4\pi G \rho y + 2\pi G \rho h^{2}.$ 
(5)

а  $\delta V$  и  $\delta U$  являются некоторыми добавками к  $V_{\rm o}$  и  $U_{\rm o}$ . Можно представить, что эти добавочные потенциалы появляются вследствие наличия некоторой "возмущенной массы", располагающейся на поверхности недеформированного слоя с поверхностной плоскостью [5, 6]:

$$\sigma = \rho y(x) = \rho a \cos kx. \tag{6}$$

В подобном представлении законно требовать, что зы добавочные потенциалы, удовлетворяли уравнениям Лапласа:

$$\frac{\partial^2 \delta V}{\partial x^2} + \frac{\partial^2 \delta V}{\partial y^2} = 0;$$

$$\frac{\partial^2 \delta U}{\partial x^2} + \frac{\partial^2 \delta U}{\partial y^2} = 0,$$
(7)

и граничным условиям вида:

$$(\delta V)_{y=0} = (\delta U)_{y=0}$$
  
 $\left(\frac{\partial \delta V}{\partial y}\right)_{y=0} - \left(\frac{\partial \delta U}{\partial y}\right)_{y=0} = -4\pi G\sigma,$  (8)

Решения для  $\delta V$  и  $\delta U$  можно представить в виде:

$$\delta V = aA \operatorname{ch} k (h + y) \operatorname{cos} kx;$$

$$\delta U = aB e^{-ky} \operatorname{cos} kx.$$
(9)

где A и B — неизвестные константы, подлежащие определению ( $\delta V$  дол-

жен удовлетворять также условию  $\left(\frac{\partial V}{\partial y}\right)_{y=0}=0$ ). Граничные условия

(8) с точностью до первой степени амплитуды приводят к следующей системе уравнений относительно неизвестных констант A и B:

$$A \operatorname{ch} kh = B;$$

$$A \operatorname{ch} kh + B = -\frac{4\pi G p}{k},$$
(10)

откуда

$$A = \frac{B}{\cosh h}; \quad B = -\frac{4\pi G\rho}{k} \cdot \frac{1}{1 + \tanh h}. \quad (11)$$

Таким образом, потенциал возмущенного слоя в рассматриваемом приближении будет:

$$V(x, y) = 2\pi G \rho (h + y)^2 + aA \cosh (h + y) \cos kx;$$
  
 $U(x, y) = 2\pi G \rho h^2 + 4\pi G \rho h y + aB e^{-ky} \cos kx.$  (12)

где А и В определяются через (11).

Изменение потенциальной энергии можно подсчитать несколькими способами. Однако, более целесообразно (как это было показано в работе [7]), изменение потенциальной энергии, приходящееся на единицу длины слоя, подсчитать по формуле [6]:

$$\delta\Omega = \frac{1}{2\lambda} \int_{\delta}^{\delta} |V|_{y(x)} \, s dx,$$
 (13)

где  $[V]_{y(i)}$ —выражение потенциала на профиле свободной поверхности, а z поверхностизя плотность так называемой возмущенной массы.

Подставляя соответствующие значения из (12), (11), (6), (2) в (13), получим:

$$\begin{split} \delta \Omega &= \frac{1}{2\lambda} \left[ -2\pi G p \int\limits_0^\lambda (h + a \mathrm{cos} kx)^2 p a \mathrm{cos} kx - \right. \\ &\left. \frac{4\pi G p}{k \mathrm{ch} k h} \cdot \frac{1}{1 + t h k h} \int\limits_0^\lambda \mathrm{ch} k \left( h + a \mathrm{cos} kx \right) p a \mathrm{cos} kx dx \right]. \end{split}$$

С точностью до второго порядка относительно амилитуды, найдем:

$$\delta \Omega = \pi G \rho^z h a^z \left[ 1 - \frac{1}{z \left( 1 + thz \right)} \right], \tag{14}$$

гле введено обозначение

$$z = kh = \frac{2\pi h}{\lambda}$$

3. Теперь переходим к подсчету изменения магнитной энергии. В магнитной гидродинамике установлено, что, если в среде с бесконечной электропроводностью существует магнитное поле, то перемещение магнитных силовых линий относительно среды невозможно. Следовательно, магнитные силовые линии деформируются, оставаясь как бы "приклеенными" к среде [8]. Колебания магнитных силовых линий приводят к изменению напряженности магнитного поля, следовательно, и к изменению магнитной энергии.

Предположим, что магнитное поле направлено вертикально вверх по оси у. Изменение напряженности магнитного поля происходит как внутри, так и вне рассматриваемой среды. Существует определенная связь между изменением напряженности магнитного поля и вектором смещения ( $\hat{\xi}$ ), характеризующим перераспределение жидкой массы. В несжимаемой среде вектор  $\hat{\xi}$  удов этворяет уравнению div $\hat{\xi}$  = 0 | 1 |.

Следовательно, вектор і можно представить в виде:

$$\vec{\xi} = -\text{grad}\Phi$$
, (15)

Где Ф является решением уравнения Лапласа:

$$\frac{\partial^2 \Phi}{\partial x^2} + \frac{\bar{\sigma}^2 \Phi}{\partial y^2} = 0. \tag{6}$$

Установив поле вектора смещения  $\hat{z}$ , можно найти изменение чектора напряженности магнитного поля внутри слоя  $\overrightarrow{h}_i$  по формуле:

установленной в магнитной гидродинамике [6]. Напряженность магнитного поля внутри возмущенного слоя будет:

$$\vec{H}_{l} = \vec{H}_{0} + (\vec{H}_{0} \text{grad}) \vec{\xi}.$$
 (18)

Изменение вектора напряженности магнитного поля  $(\overrightarrow{h_r})$  вне рассматриваемой среды можно представить в виде:

$$\vec{h}_e = -\operatorname{grad} \Psi$$
, (19)

где  $\Psi = \Psi \left( x,y \right)$  есть магнитостатический потенциал, являющийся решением уравнения Лапласа:

$$\frac{\partial^2 \Psi}{\partial x^2} + \frac{\partial^2 \Psi}{\partial y^2} = 0. {(20)}$$

Вне возмущенного слоя напряженность будет:

$$\vec{H}_e = \vec{H}_0 - \text{grad}\Psi$$
. (21)

Представим решение (16) в виде:

$$\Phi(x, y) = A \operatorname{ch} k (h + y) \cos k x, \qquad (22)$$

где А-некоторая константа, подлежащая определению.

Соответствующие компоненты по осям координат вектора смещения  $\vec{\xi}$ , согласно (15) будут:

$$\xi_x = Ak \operatorname{ch} k \left( h + y \right) \sin k x; \tag{23}$$

$$\xi_y = -Ak \operatorname{sh} k \left( h + y \right) \operatorname{cos} kx.$$

На уровне y=0, компонента  $\xi_y$  должна совпадать с  $a\cos kx$ , т. е.  $\{-Ak\sinh{(h+y)}\cos{kx}\}_{y=0}=a\cos{kx}$ .

Отсюда найдем неизвестную константу?

$$A = -\frac{a}{k \mathrm{sh}kh}.$$
 (24)

С помощью (17), (23) и (24) найдем:

$$h_{ix} = H_{ay} \frac{\partial \xi_x}{\partial y} = -akH_0 \frac{\sinh(h+y)}{\sinh kh} \sin kx;$$
  
 $h_{iy} = H_{ay} \frac{\partial \xi_y}{\partial y} = akH_0 \frac{\cosh(h+y)}{\sinh kh} \cos kx.$ 
(25)

Изменение магнитной энергии внутри возмущенного слоя, приходящееся на единицу длины, подсчитывается по формуле:

$$\delta \mathcal{M}_i = \frac{1}{8\pi} \left\{ \frac{1}{\lambda} \int_0^{\Lambda} \left[ \int_{-h}^{a \cos kx} (\overrightarrow{H}_0 + \overrightarrow{h}_i)^2 dy - \int_{-h}^0 H_0^2 dy \right] dx \right\}.$$

Подставляя в последнюю формулу соответствующие значения из (25), получим:

$$\begin{split} &\delta \mathcal{M}_i = \frac{1}{8\pi} \left\{ \frac{1}{\lambda} \int\limits_{-h}^{a\cos kx} H_0^2 dy - \int\limits_{-h}^0 H_0^2 dy + \frac{2akH_0^2}{\sinh h} \int\limits_{-h}^{a\cos kx} \operatorname{ch}k \left(h + y\right) \cos kx dy + \right. \\ &\left. + \frac{a^8 H_0^2 k^2}{\sinh^2 h} \int\limits_{-h}^{a\cos kx} \operatorname{sh}^2 k \left(h + y\right) \sin^2\!kx + \operatorname{ch}^2 k \left(h + y\right) \cos^2\!kx \right) \, dy \, \left. \right] dx \right\}. \end{split}$$

Выполняя интегрирование с точностью до  $a^2$  включительно, найдем:

$$\delta M_i = \frac{a^2 z \text{ch} z H_0^2}{8 \pi \hbar \text{sh} z} + \frac{a^2 z \text{ch} z H_0^2}{16 \pi \hbar \text{sh} z}$$
, (26)

где z = kh.

Представим решение уравнения (21) для магнитостатического потенциала вне возмущенного слоя в виде:

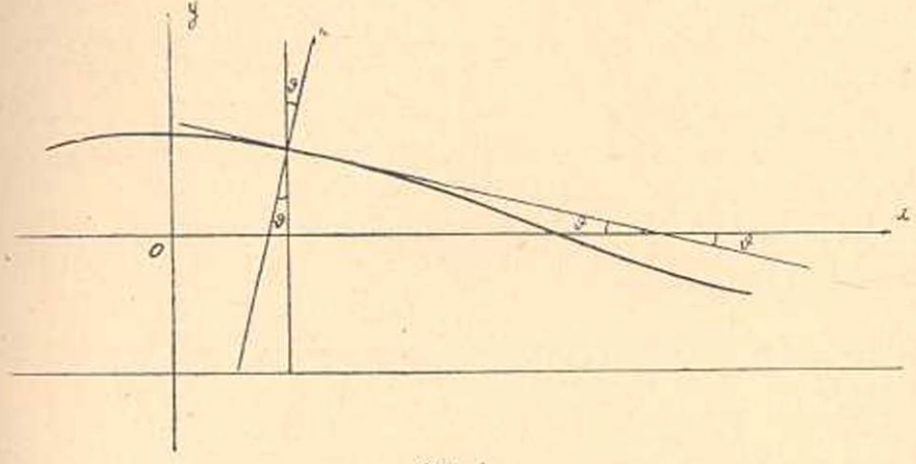
$$\Psi(x, y) = -Bae^{-\kappa y}\cos kx. \tag{27}$$

Константу В найдем из условия непрерывности нормальной комвоненты:

$$\left\{h_{ix}\cos(\hat{n}x) + (H_0 + h_{iy})\cos(\hat{n}y)\right\}_{y(x)} =$$

$$= \left\{-\frac{\partial \Psi}{\partial x}\cos(\hat{n}x) + H_0 - \frac{\partial \Psi}{\partial y}\cos(\hat{n}y)\right\}_{y(x)}.$$
(28)

Легко видеть, что (см. фиг. 1).



Фиг. 1.

$$(\overset{\star}{ny}) = v; \quad (\overset{\star}{nx}) = \frac{\pi}{2} - \vartheta.$$

где в есть угол, образованный касательной с осью х. При малых амплитудах:

$$-\operatorname{tg}\theta = -\theta = \frac{dy}{dx} = -ak\sin kx.$$

Следовательно,

$$\cos(\hat{nx}) = \sin(ak\sin\kappa x) = ak\sin kx + \cdots$$

$$\cos(\hat{ny}) = \cos(ak\sin kx) = 1 - \frac{a^2k^2\sin^2kx}{2!} + \cdots$$
(29)

Из (28) и (29) с точностью до а, найдем:

$$B = -H_0 \operatorname{cth} kh. \tag{30}$$

Компоненты вектора  $\vec{h}_e$  примут вид:

$$h_{ey} = akH_0 \text{cth} z e^{-ky} \cos kx;$$
  
 $h_{ex} = akH_0 \text{cth} z e^{-ky} \sin kx.$  (31)

Изменение магнитной энергии вне гравитирующей среды можно подсчитать по формуле:

$$\delta M_e = \frac{1}{8\pi} \left\{ \frac{1}{\lambda} \int_0^{\pi} \left[ \int_{acoskr}^{\pi} (\overrightarrow{H}_0 + \overrightarrow{h}_e)^2 dy - \int_0^{\pi} H_0^2 dy \right] dy \right\}. \tag{32}$$

Из (31) и (32) найдем:

$$\delta M_e = -\frac{a^2 H_0^2 z \text{ch} z}{8\pi h \text{sh} z} + \frac{a^2 H_0^2 z \text{cth}^9 z}{16\pi h}$$
 (33)

Складывая (26) и (33), получим изменение магнитной энергин:

$$\delta M = \delta M_i + \delta M_c = \frac{a^3 H_0^2}{16\pi h} z c t h z (1 + c t h z).$$
 (34)

 Объединяя результаты (14) и (34), получим общее изменение гравитационной и магнитной энергии;

$$\delta E = \delta \Omega + \delta M = \pi G \rho^2 h a^2 F_{\nu}(z), \qquad (35)$$

где введено обозначение

$$F_x(z) = 1 - \frac{1}{z(1 + \text{th}z)} + \left(\frac{H}{H_x}\right)^{\frac{1}{2}} z \text{cth } z(1 + \text{cth}z);$$
 (36)

в дальнейшем индекс "нуль" при Н не пишется).

$$H_{\pi} = 4\pi \rho h \sqrt{C}. \qquad (37)$$

Н<sub>я</sub>—характеристическая константа, имеющая размерность напряженности магнитного поля.

Об устойчивости или неустойчивости слоя можно судить по знаку функции  $F_s(z)$ . При некоторых конкретных значениях параметра  $H/H_s$  вид кривых  $F_s(z)$  представлен на фиг. 2. Асимптотические значения функции  $F_s(z)$  имеют следующий вид:

1. 
$$\operatorname{при} z \to \infty$$
  $F_s(z) \to \infty$ ; (38)  
2.  $\operatorname{при} z \to 0$ 

$$F_s(z) = 1 - \left(\frac{H}{H_s}\right)^2 + \left(\frac{H}{H_s}\right)^2 \frac{1}{1+z} + \frac{\left(\frac{H}{H_s}\right)^2 - 1}{z(1+z)}$$
(39)

Из последнего выражения видно, что при малых z знак функции зависит от отношения  $H/H_s$ .

Действительно, из (38) и (39) видно, что

при 
$$H/H_s > 1$$
  $F_s(z) > 0$ , для любых  $z$ ; при  $H/H_s < 1$   $F_s(z) > 0$ , если  $z > z_s$ ;  $F_s(z) < 0$ , если  $z < z_s$ ,

где г, является единственным положительным корнем уравнения:

$$F_s(z) = 1 - \frac{1}{z(1 + \text{th}z)} + \left(\frac{H}{H_s}\right)^2 z \text{cth}z (1 + \text{cth}z) = 0.$$
 (40)

Решение этого уравнения можно провести графическим путем. Однако, имея в виду, что при  $H_0=0$ ,  $z_s=0.64$  и при стремлении  $H_0$  к  $H_s$  численное значение корня  $z_s$  уменьшается (см. также фиг. 2), можно

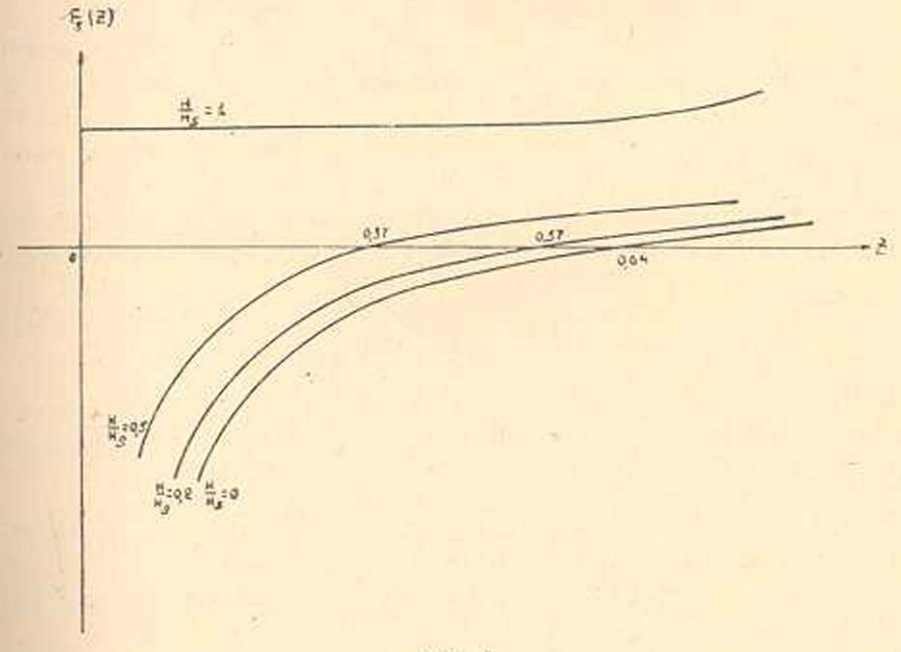
приблизительно удовлетвориться решением следующего алгебранческого уравнения второй степени относительно г:

$$z = 1 + \frac{5}{3} \left(\frac{H}{H_s}\right)^2; \quad \beta = \left[1 + 2\left(\frac{H}{H_s}\right)^2\right]; \quad c = \left(\frac{H}{H_s}\right)^2 - 1,$$

которое получается путем замены гиперболических функций, встречающихся в уравнении (40), их главными значениями при  $z \rightarrow 0$ .

Полученные выше результаты приводят к следующим выводам:

- а) При  $H>H_s=4\pi\rho\hbar\sqrt{G}$  слой устойчив по отношению к поперечным возмущениям любой длины, поскольку при этом деформация сопровождается увеличением суммарной (гравитационной и магнитной энергии ( $\delta E>0$ ). Иными словами, все гармоники возмущения в данном случае являются устойчивыми.
  - б) При  $H < H_s = 4\pi \rho h \sqrt{G}$  могут появляться как устойчивые, так



Фиг. 2.

и неустойчивые гармоники. Все гармоники для которых  $z < z_s$ , являются неустойчивыми, они приводят к уменьшению суммарной энергии. Гармоники, удовлетворяющие условию  $z > z_s$  устойчивы. Другими словами, слой становится неустойчивым по отношению к поперечным возмущениям, если длина периодической структуры свободной понерхности превышает некоторое критическое значение  $(\lambda > \lambda_s)$ .

где х, определяется формулой:

$$\lambda_s = \frac{2\pi h}{z_s},$$

 $z_s$ , следовательно и  $\lambda_s$  зависят от параметров  $h_s$   $H/H_s$ , и не зависят от плотности среды.

- в) При  $z=z_s$ ,  $\delta E=0$ , следовательно, слой с вполне определенной длиной ( $\lambda=\lambda_s$ ), периодической структуры свободной поверхности представляет собою конфигурацию изоэнергетическую по сравнению с плоским слоем.
- г) При  $H \to H_s$  область неустойчивых гармоник сокращается (см. фиг. 2) и при  $H = H_s$  появление таких гармоник исключается.

Важно отметить, что изменение магнитной энергии положительно (δM >0) при любых λ, следовательно, неустойчивость слоя обусловлена характерной особенностью дальнего и коллективного взаимодействия гравитационных сил [9].

Таким образом, магнитное поле оказывает стабилизирующее воздействие, передает жилкому проводящему слою гибкость, и деформация при  $H > H_x$  приобретает как бы "упругий" характер.

5. Целесообразно доказать, что все устойчивые гармоники ( $z>z_s$ ) приводят к периодическому изменению амплитуды во времени, а при неустойчивых гармониках амплитуда неограниченно возрастает и слой распадается на отдельные части.

Предполагая зависимость амплитуды от времени, найдем уравнение движения с помощью функции Лагранжа.

Кинетическую энергию движения жидких частиц, приходящуюся на единицу длины возмущенного слоя, можно вычислить по формуле:

$$\delta T = \frac{1}{2} \rho \cdot \frac{1}{\lambda} \int_{0}^{\lambda} \int_{k}^{a \cos kx} \left[ \left( \frac{\partial \varphi}{\partial x} \right)^{2} + \left( \frac{\partial \varphi}{\partial x} \right)^{2} \right] dx dy, \tag{41}$$

где  $\varphi(x,y)$ —потенциял скоростей, который, ввиду предположения несжимаемости и невязкости жидкой массы, удовлетворяет уравнению Лапласа:

$$\frac{\partial^2 \phi}{\partial x^2} + \frac{\partial^2 \phi}{\partial^2 y} = 0. \tag{42} \label{eq:42}$$

Потенциал скоростей  $\varphi(x, y)$  должен удовлетворять условию

$$\left(-\frac{\partial \varphi}{\partial y}\right)_{y=-h} = 0,$$

означающему отсутствие вертикальных скоростей жидких частиц на центральной плоскости y = -h. Учитывая справедливость последнего требования, решение (42) представим в виде:

$$\varphi(x, y) = A \operatorname{ch} k (h + y) \cos kx. \tag{43}$$

Постоянную А можно определить из условия:

$$\left(-\frac{\partial\varphi}{\partial y}\right)_{y=-h} = \frac{dy}{dt}$$
. The  $y = a\cos kx$ .

Отсюда найдем

$$A = -\frac{1}{k \operatorname{sh} k h} \frac{da}{dt}.$$
 (44)

Следовательно, решение (43) примет вид:

$$\varphi\left(x,y\right)=-\frac{da}{dt}\frac{\cosh\left(h+y\right)}{k\mathrm{sh}kh}\cos kx.\tag{45}$$

Находя отсюда  $\frac{\partial \varphi}{\partial x}$ ,  $\frac{\partial \varphi}{\partial y}$  и подставляя в выражение кинетической энергии (41), получим:

$$\delta T = \rho \left(\frac{da}{dt}\right)^2 \frac{1}{2\sinh^2kh} \cdot \frac{1}{\lambda} \int_0^\lambda \int_{-h}^{a\cos kx} [\sinh^2k(h+y)\cos^2kx + \cosh^2k(h+y)\sin^2kx] \, dx dy,$$

Проводя вычисления в рассматриваемом приближении, найдем:

$$\delta T = \frac{h\rho \text{ch}z}{4z \text{sh}z} \left(\frac{da}{dt}\right)^2 \tag{46}$$

С помощью (46) и (36) составим функцию Лагранжа;

$$L = \delta T - \delta E = \frac{h\rho}{4z} \, \coth\!z \, \left(\frac{da}{dt}\right)^2 - \pi G \rho^2 h F_z(z) \, a^2. \label{eq:Lagrangian}$$

Имея в виду уравнения движения в обобщенных координатах в форме Лагранжа, получим:

$$\ddot{a} + 4\pi G \rho \frac{z \operatorname{sh} z}{\operatorname{ch} z} F_{z}(z) a = 0. \tag{47}$$

Решение этого уравнения будет:

$$a = \operatorname{const} \cdot exp \{ \pm pt \},$$
 (48)

рде

$$p^{2}(z) = -4\pi G \rho \frac{z \operatorname{sh} z}{\operatorname{ch} z} F_{s}(z). \tag{49}$$

На фиг. 3 представлен вид кривых функции  $(4\pi G \rho)^{-1} p^2(z)$  при некоторых конкретных значениях параметра  $H/H_s$ .

Для устойчивых гармоник  $(z > z_s)$ , p(z) будет чисто мнимой величиной. Это приводит к периодическому изменению амплитуды во времени. А периодичность наступает при  $z < z_s$ , так как p(z) становится действительной величиной.

Очень существенно огматить тот факт, что среди неустойчивых гармоник ( $z \leqslant z_s$ ) имеется гармоника, обладающая максимальной неустойчивостью.

Действительно, из (49) видно, что  $p^2(z) = 0$  при z = 0 и  $z = z_a$  следовательно, существует такое значение  $z_m$ , при котором функция  $\rho(z)$  максимальна (см. также фиг. 3), а  $z_m$  является единственным положительным корнем уравнения:

$$\frac{d}{dz}\left\{z\mathrm{th}zF_s(z)\right\} = 0. \tag{50}$$

Выполняя дифференцирование, заменяя гиперболические функции первыми членами разложения при малых z и отбрасывая члены содержащие z выше второй степени, получим:

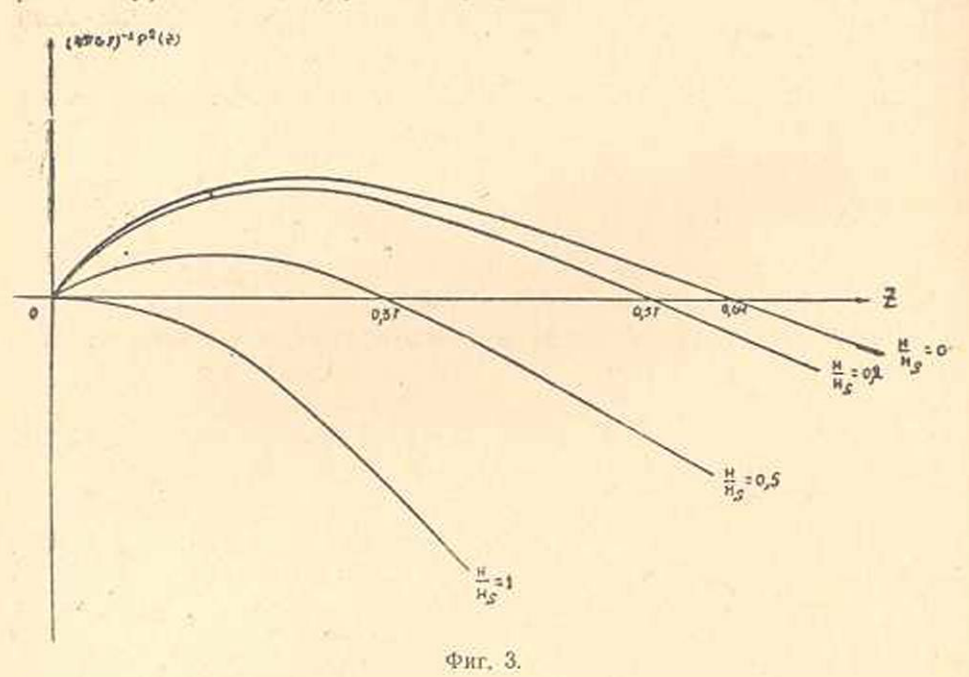
Известня АН, серия физ.-мат. наук, № 4

$$\alpha'z^2 + \beta'z + C = 0$$

FILE

$$\alpha' = \left[2 + 3\left(\frac{H}{H_s}\right)^2\right]; \quad \beta' = \left[3 + 3\left(\frac{H}{H_s}\right)^2\right]C = \left(\frac{H}{H_s}\right)^2 - 1.$$

Искомое значение  $z_m$  приблизительно будет положительным корнем этого уравнения. Для нахождения более точного значения  $z_m$  придется уравнение (50) решать графическим методом.



Эта гармоника называется максимально неустойчивым, так как она проявляется прежде всего среди неустойчивых гармоник и ее амплитуда нарастает наиболее быстро.

Можно утверждать, что  $\lambda_m = \frac{2\pi h}{z_m}$  приблизительно выражает горизонтальную длину тех "частей", на которые распадается слой. Максимальное значение функции p(z) (обозначим его через  $p_m$ ) представляет время релаксации, необходимое для проявления неус, ойчнвости.

6. Рассмотрим конкретный пример для иллюстрации полученных результатов. Возьмем Галактический слой, принимая h=100 nc;  $p=2\cdot 10^{-23}$   $s/c.m^3$ .

При этом найдем:

$$H_s = 4\pi \rho h \sqrt{C} = 2 \cdot 10^{-5} \text{ raycc.}$$

Следовательно, Галактический слой будет устойчивым по отношению к поперечным возмущениям любой длины, если  $H{>}2\cdot 10^{-6}$  гаусс.

Когда  $H < 2 \cdot 10^{-5}$  гаусс и  $\lambda > \lambda_s$ , наступает неустойчивость. Для некоторых конкретных значениий отношения  $H_i H_s$ , найдены

безразмерные величины  $z_s$ ;  $z_m$ ;  $p_m (4\pi G \rho)^{-\eta_s}$  и соответствующие им значения  $\lambda_s$ ;  $\lambda_m$ ,  $p_m^{-1}$  (см. таблицы 1 и 2).

Анализ численных данных, приведенных в таблице 2, действительно показывает, что с ростом напряженности магнитного поля от

Таблица I Зависимость безразмерных величив  $z_s$ ;  $z_m$ ;  $p_m$   $(4\alpha C_7)^{-1/2}$  от отношения  $H/H_8$ 

Таблица 2 Зависимость  $\lambda_2$ ;  $\lambda_m$ ;  $p_m^{-1}$  от напряженности магнитного поля

$H/H_3$	₹8	z <sub>m</sub>	$p_m \left(4 \hat{u} G_{\mathbb{P}}\right)^{-1/\epsilon}$	H (rayce)	λ <sub>s</sub> (napceκ)	<sup>λт</sup> (парсек)	р <sub>т</sub> <sup>-1</sup> (годы)
0	0,64	0,3	0,371	0	0,981-102	2.093-103	2,085-107
0,1	0,62	0,276	0,366	0,2-10-5	1,013-103	2,275.103	2,114.10
0,2	0,58	0,261	0,351	0,4-10-5	1,083-103	2,406.100	2,205-107
0,5	0,37	0,175	0,256	10-5	1,637-109	3,588-103	3,017-107
0,6	0,29	0,141	0,212	1,2-10-5	2,165-103	4,454-101	1,650 - 107
0,9	0,07	0,037	0,0648	1,8-10-5	8,971-103	1,697-104	1,150-108

нуля до критического значения  $H_s$  возрастают длины неустойчивых воли, максимально неустойчивых гармоник и время релаксаций, необходимых для проявления неустойчивости.

Если во всех предыдущих результатах приравнять H=0, получим решение задачи о гравитационной устойчивости (соответственно и неустойчивости) слоя в собственном поле гравитационных сил. При этом обычная неустойчивость наступает тогда, когда длина возмущения почти в пять раз превышает толщину слоя ( $\lambda_x=4.9d$ ; d—толщина слоя). Длина волны максимально устойчивой гармоники—порядка  $\lambda_m=10.9d$ , а время релаксации—порядка  $2.085\cdot10^7$  лет.

Огношение  $\lambda_m | d = 10.9$  показывает, что образования, возникающие в результате гравитационной неустойчивости слоя, далеко не имеют круговых сечений. Они вытянуты вдоль слоя [11].

Постепенное увеличение плотности Галактического слоя может ускорить время, необходимое для развития неустойчивости. Если возраст рассматриваемого слоя превышает вычисленное время развития неустойчивости, необходимо предположить о существовании сильных магнитных полей.

В заключение выражаю глубокую благодарность проф. А. А. Власову за ценные указания.

Московский Государственный университет им. М. В. Ломоносова Ленинаканский педаготический институт им. М. М. Налбандяна.

#### Ռ. Ս. Հովհաննիսյան

# ՄԱԳՆԻՍԱԿԱՆ ԴԱՇՏԻ ՆԵՐԿԱՅՈՒԹՅԱՄԲ ՀԵՂՈՒԿ ՀԱՂባՐԴԻՉ ՀԱՐԹ ԶՈՒԳԱՀԵՌ ՇԵՐՏԻ ԳՐԱՎԻՏԱՑԻՈՆ ԱՆԿԱՅՈՒՆՈՒԹՅԱՆ ՄԱՍԻՆ

#### цифпфпри

Հոդվածում ըննարկված է անսահման հրկարություն ունեցող հեղուկ հադորդիչ շերտի դրավիտացիոն անկալունության հարցը լայնական տատանումների նկատմամբ իր ոնփական դրավիտացիոն և շերտին ուղղահայաց մագնիսական դաշտերում։ Ուսումնասիրությունը կատարված է մագնիսական հիգբոդինամիկայի մաթեմատիկական ապարատի օղնությամբ, դծային մոտավորության շրջանակներում, հեղուկ դրավիտացիոն մաստային վերադրելով անսահման մեծ էրեկորահաղորդունակություն։

Ուսումնասիրությունը կատարված է հիմնականում Չանդրասնկարի և Ֆերժիի ժեխոդով [1]։ Հոդվածում ապացուցված է, որ ուսումնասիրվող շհրաը կալուն է ցանկացած ալիջի նրկարություն ունեցող լայնական տատանումների նկատմամբ, եթե միալն մադնիսական դաշտի լարվածությունը գերաղանցում է ժի որոշակի կրիտիկական մեծությունից։ Հակտոակ դեպջում, սկսած ալիջի երկարության մի որոշակի արժեջից, շերտը դառնում է դրավիտացիոն անկալուն և արոշվում է առանձին մասերի։

#### ЛИТЕРАТУРА

- Чандрасекар С. и Ферми. Э. Проблемы гравитационной устойчивости в магиитном поле. "Проблемы современной физики", 2, 1954.
- Gjellestad Guro. On equilibrium configurations of ceblate fluid spheroid with a magnetic field "Astrophys. J. 119, № 4, 1954.
- 3. Ferraro, V. C. A. On the equilibrium of magnetic stars. Astrophys. J, 119, No 4, 1954-
- Chandrasekhar S. Limbur P. On the pulsition of a star in which there is a prevalent magnetic field. «Astrophys. J. 119, № 1, 1954.
- Озане ин Р. С. К теории гравитационной устойчивости. Кандидатская диссертация. МГУ, 1956.
- Власов А. А. О переносе массы и заряда поверхностными волнами. ЖЭТФ, 27, 1954.
- Оганесян Р. С. О гразнтационной устойчивости цилипдрической конфигурации. Астр. Жури. XXXIII, вып. 6, 1936
- 8, Альфзен Х. Космическая электродинамика. Москва, 1952.
- 9. Влазов А. А. Теория многих частип. Москва, 1950.
- 10, Паренаго П. П. Курс звездной астрономии. Москва, 1954.
- Гурганч Л. Э., Лгбединский А. И. Иззестна АН СССР, серня физическая, 14, № 6, 1950.

## ДИЗЧИЧИК ООН ЧРЯПРЕЗПРОБЕР ИЧИЛЬГРИЗЕ БОДЬЧИЧЕР ИЗВЕСТИЯ АКАДЕМИИ НАУК АРМЯНСКОЙ ССР

Зфффа-бырвбши, филирацббы XI, № 4, 1958 Физико-математические изуки

МАТЕМАТИКА

### Г. С. Комарян

## О приближении рациональными функциями в комплексной области

### Ввеление

Настоящая работа посвящена вопросам наилучшей аппроксимации функций комплексного переменного рациональными дробями и разложению функций в ряд по рациональным дробям, имеющим полюсы в наперед заданном множестве точек, лежащих вне тех областей или линий, на которых происходит аппроксимация или разложение.

Известные в теории приближения полиномы Фабера дают возможность разложить аналитические в односвязных областях функции, при определенных ограничениях, в ряд полиномов. Задача построения базиса рациональных функций с заданным множеством полюсов, лежащих вне односвязной области, была решена М. М. Джрбашяном [1]. Им же [2] ранее был исследован вопрос разложения функций, заданных на единичной окружности, в ряд по ортонормальной системе рациональных функций Уолша [3]  $\{\Phi_a(z)\}$   $(n=0,\pm 1,\pm 2,\cdots)$ .

В работе М. М. Джрбашяна и С. Н. Мергеляна [4] даются оценки наилучших приближений для функций, заданных на единичной окружности рациональными дробями с наперед заданными полюсами, лежащими внутри и вне единичной окружности, а также даются обратные теоремы наилучшего приближения.

В работах Сэуэла [5], Эллиота [6] и Уолша [7] приводятся оценки наилучших приближений для функций, аналитических на множестве с аналитической жордановой границей, рациональными функциями, имеющими полюсы в заданных точкях, не имеющих предельных точек на границе множества.

Даниви работа состоит из четырех параграфов. В первом параграфе приводится оценка отклонения частных сумм ряда Фурье по рациональным функциям  $\{\Phi_n(z)\}$  и, в отличие от работы [2], рассматраваются случаи сходимости ряда Фурье, когда полюсы имеют предельные точки на единичной окружности.

Во втором параграфе, при помощи результатов работы [4], устанавливаются оценки наилучших приближений рациональными дробями для функций, аналитических внутри и непрерывных в замкнутой жордановой области, на границу которой наложены определенные ограничения. Аналогичный вопрос, при тех же ограничениях, рассматривается и для непрерывных функций, заданных только на замкнутой жордановой кривой.

В третьем параграфе, при некоторых ограничениях, даются оценки отклонения частных сумм рядов по базисным системам рациональных функций, введенных М. М. Джрбашяном [1], в случае, когда аппроксимация происходит в замкнутой области или на замкнутой жордановой кривой.

Отметим, что во втором и третьем параграфах применяется способ перехода от круга к области, предложенный С. Я. Альпером [8], и что все полученные нами результаты можно распространить и на многосвязные области, но, только ради простоты изложения. нами приводится случай односвязной или двухсвязной области.

В четвертом параграфе приводятся обратные теоремы о приближении функций посредством рациональных дробей.

Работа выполнена под руководством академика АН Армянской ССР, профессора М. М. Джрбашяна, кому автор и приносит искреннюю благодарность.

## Оценка отклонения частных сумм ряда Фурье по рациональным функциям

Пусть  $\{\alpha_k\}(|\alpha_k| < 1, k = 0, 1, 2, \cdots)$  и  $\{\beta_k\}(|\beta_k| > 1, k = 1, 2, \cdots)$ — произвольные последовательности комплексных чисел, среди которых могут быгь и числа конечной и даже бесконечной кратности, причем они, вообще, могут иметь предельные точки и на единичной окружности. Составим системы рациональных функций

$$\begin{split} \varphi_0\left(z\right) &= \sqrt{\frac{1-|\alpha_0|^2}{2\pi}} \, \frac{1}{1-\bar{\alpha}_0 z} \,; \\ \varphi_n\left(z\right) &= \sqrt{\frac{1-|\alpha_n|^2}{2\pi}} \, \frac{1}{1-\bar{\alpha}_n z} \prod_{k=0}^{n-1} \frac{z-\alpha_k}{1-\bar{\alpha}_k z} \, \left(n=1,\,2,\,\cdots\right); \\ \psi_1\left(z\right) &= \sqrt{\frac{|\beta_1|^2-1}{2\pi}} \, \frac{1}{1-\bar{\beta}_1 z} \,; \\ \psi_m(z) &= \sqrt{\frac{|\beta_m|^2-1}{2\pi}} \, \frac{1}{1-\bar{\beta}_m z} \prod_{k=1}^{m-1} \frac{z-\beta_k}{1-\bar{\beta}_k z} \, \left(m=2,\,3,\,\cdots\right); \end{split}$$

и положим

$$\Phi_n\left(z\right) = \left\{ egin{array}{ll} \mathbf{p}_n\left(z
ight) & \mathrm{при} & n > 0; \\ \mathbf{p}_{-n}\left(z
ight) & \mathrm{при} & n < -1. \end{array} \right.$$

Система функций  $\{\Phi_n(z)\}$   $(n=0,\pm 1,\pm 2,\cdots)$  ортонормальна на единичной окружности (см. [2]). Для непрерывной на единичной окружности функции f(z) образуем коэффициенты Фурье

$$C_k = \int_{-\pi}^{\pi} f(e^{it}) \overline{\Phi_k(e^{it})} dt \quad (k = 0, \pm 1, \pm 2, \cdots)$$

и составим частную сумму

$$S_{n,m}(e^{ix}, f) = \sum_{k=-m}^{n} C_k \Phi_k(e^{ix}).$$
 (1.1)

М. М. Джрбашяном [2] исследован вопрос об обычной сходимости ряда Фурье, когда последовательности  $\{a_k\}$  и  $\{\beta_k\}$  не имеют предельных точек на окружности  $\|z\|=1$ .

Для оценки отклонения частных сумм (1.1) нам понадобится следующая лемма:

Лемма. Пусть на окружности |z|=1 дана непрерывная функция f(z). Если  $\max_{|z|=1}|f(z)| \leqslant M$ , то для частных сумм (1.1) справедлива оценка:

$$\max_{|z|=1} |S_{n,m}(z,f)| \leq M (\pi + \lg \gamma_{n,m}),$$

ege.

$$\gamma_{n, m} = \sum_{k=0}^{n} (1 - |\alpha_k|)^{-1} + \sum_{k=1}^{m} \left(1 - \frac{1}{|\beta_k|}\right)^{-1}.$$
 (1.2)

Доказательство. В работе [2] для частных сумм (1.1) имеется выражение

$$S_{n, m}(e^{ix}, f) = \int_{a}^{x} f[e^{i(x+y)}] K_{n, m}(x+y, x) dy, \qquad (1.3)$$

где

$$K_{n, m}(x + y, x) = e^{\frac{1}{2} [y\mu_{m}(y, x) - y\lambda_{n}(y, x) + y] \sin \frac{y\lambda_{n}(y, x) + y\mu_{m}(y, x)}{2}}{2\pi \sin \frac{y}{2}}.$$
(1.4)

$$y\lambda_{n}(y, x) = \int_{-\infty}^{x+y} \sum_{k=0}^{n} \frac{1 - |\alpha_{k}|^{2k}}{1 - 2|\alpha_{k}|\cos(u - \vartheta_{k}) + |\alpha_{k}|^{2k}} du, \quad \vartheta_{k} = \arg \alpha_{k}, \quad (1.5)$$

$$y_{\theta_m}(y, x) = \int_{x}^{x+y} \sum_{k=1}^m \frac{|\beta_k|^2 - 1}{1 - 2|\beta_k|\cos(u - \omega_k) + |\beta_k|^2} du, \quad \omega_k = \arg \beta_k.$$
 (1.6)

Из (1.3), (1.4) и из неравенств  $\max_{\|z\|=1} |f(z)| \leqslant M$ ,  $|\sin t| \gg \frac{2}{\pi} |t|$  при  $|t| \leqslant \frac{\pi}{2}$  приходим к оценке:

$$|S_{n, m}(e^{ix}, f)| \leq \frac{M}{2} \int_{-\pi}^{\pi} \left| \frac{\sin \frac{y \lambda_n(y, x) + y \mu_m(y, x)}{2}}{\frac{2}{y}} \right| dy =$$

$$= \frac{M}{2} \int_{0}^{\pi} \left\{ \left| \sin \frac{y \lambda_n(y, x) + y \mu_m(y, x)}{2} \right| + \right.$$

$$+ \left| \sin \frac{-y \lambda_n(-y, x) - y \mu_m(-y, x)}{2} \right| \right\} \frac{dy}{y}$$
(1.7)

Из (1.5) и (1.6) имеем оценки:

$$|y\lambda_n(y, x)| \le 2|y| \sum_{k=0}^n (1-|a_k|)^{-1}$$

И

$$|y\mu_{m}(y, x)| \leq 2|y| \sum_{k=1}^{m} \left(1 - \frac{1}{|\beta_{k}|}\right)^{-1},$$

$$\left|\frac{y\lambda_{n}(y, x) + y\mu_{m}(y, x)}{2}\right| \leq \gamma_{n, m}|y|. \tag{1.8}$$

откуда

Разобъем в (1.7) отрезок интегрирования  $[0,\pi]$  на две части  $\left[0,\frac{\pi}{\gamma_{n,m}}\right]$  и  $\left[\frac{\pi}{\gamma_{n,m}},\pi\right]$ , для первой части применим оценки  $|\sin x| < |\sin x|$  и  $|\sin x$ 

$$|S_{n,m}(e^{ix},f)| \le M\left(\gamma_{n,m} \cdot \frac{\pi}{\gamma_{n,m}} + \lg \gamma_{n,m}\right)$$

Лемма доказана.

T е о p е м a 1. Пусть  $a_0=0$ . Если функция f(z) дана и непрерывна на окружности |z|=1 вместе со своими производными дор-го порядка включительно (p>0), причем  $f^{(p)}(z)$  удовлетворяет условию Липшица с показателем a>0, то

$$\max_{|z|=1} |f(z) - S_{n, m}(z, f)| = 0 \{ |g\gamma_{n, m}| |\varepsilon_{n, m}| |g\varepsilon_{n, m}| |f^{p+a}|, \quad (1.9)$$

2∂€

$$\varepsilon_{n,m} = \left[1 + \sum_{k=0}^{n} (1 - |\alpha_k|)\right]^{-1} + \left[1 + \sum_{k=1}^{m} \left(1 - \frac{1}{|\beta_k|}\right)\right]^{-1}.$$
 (1.10)

Доказательство. Обозначим через  $E_{n, m}(f)$  нижнюю граньчисел  $\max_{\|z\|=1} |f(z) - R_{n, m}(z)|$  в классе всевозможных рациональных функций вида

$$R_{n, m}(z) = \frac{P_{n+m}(z)}{\omega_{n, m}(z)}$$

где  $P_{n, m}(z)$  произвольный полином степени  $\leq n + m$ , а  $\omega_{n, m}(z) = (z - \alpha_1) \cdots (z - \alpha_n) (z - \beta_1) \cdots (z - \beta_m)$ . Если  $\widetilde{R}_{n, m}(z)$  есть рациональная функция наидучшего приближения, то

$$\max_{\|z\|=1} \|f(z) - \widetilde{R}_n\|_m(z)\| = E_{n,m}(f). \tag{1.11}$$

Применяя доказанную лемму к функции  $f(z) - \widetilde{R}_{n, m}(z)$  и принимая во внимание, что ряд Фурье рациональной функции  $\widetilde{R}_{n, m}(z)$  совпадает с  $\widetilde{R}_{n, m}(z)$  (см. [2]), получаем:

$$\max_{z \in [n]} |S_{n, m}(z, f) - \widetilde{R}_{n, m}(z)| \le E_{n, m}(f) (\pi + \lg \gamma_{n, m}).$$
 (1.12)

Из (4.11) и (1.12) следует оценка:

$$\max_{|z|=1} |f(z) - S_{n,m}(z,f)| \leq (1 + \pi + \lg \gamma_{n,m}) E_{n,m}(f).$$
 (1.13)

В работе М. М. Джрбашяна в С. Н. Мергеляна [4] для функций с непрерывной p-й производной, удовлетворяющей условию Липшица порядка  $\alpha > 0$ , имеется следующая оценка наилучшего приближения:

$$E_{n,m}(f) < C|_{z_{n,m}||g|_{z_{n,m}}||^{p+\alpha}},$$
 (1.14)

где C — константа, зависящая только от функции f(z) и от p.

Из (1.13) и (1.14) следует (1.9).

Известно [3], что для полноты системы  $\{\Phi_n(z)\}$  на единичной окружности необходимо и достаточно условие:

$$\left(\sum_{k=0}^{\infty} (1-|\alpha_k|) = +\infty \quad \text{if } \sum_{k=1}^{\infty} \left(1-\frac{1}{|\beta_k|}\right) = +\infty, \quad (1.15)$$

Следствие. Если на окружности |z|=1 функция f(z) имеет непрерывную p-ю производную, удовлетворяющую условию Липшица с показателем  $\alpha>0$ , то при условиях (1.15) и

$$\lim_{n, m \to \infty} |z_{n, m}| \lg z_{n, m} ||p^{+\alpha} \lg \gamma_{n, m} = 0$$
 (1.16)

имеет место равномерно сходящееся на |z|=1 разложение в ряд Фурье:

$$f(z) = \sum_{k=-\infty}^{+\infty} C_k \Phi_k(z)$$
 (1.17)

 $(\varepsilon_{n,m}$  и  $\gamma_{n,m}$  определяются из (1.10) и (1.12) соответственно).

Примеры.

1) Пусть при некотором целом N > 1 имеется:

$$1 - |\alpha_k| > \frac{C_1}{K^3}$$
,  $1 - \frac{1}{|\beta_k|} > \frac{C_2}{K^3}$   $(K > N, 0 < \delta < 1)$ .

Тогда из (1.2), и (1.10) следует:

$$\gamma_{n, m} = 0 (n^{1+\delta} + m^{1+\delta}); \quad (\varepsilon_{n, m} = 0 (n^{-1+\delta} + m^{-1+\delta}).$$

Значит в этом случае (1.16), в следовательно и (1.17) имеют место при любых p > 0 и  $\alpha > 0$ .

2) Пусть

$$0 < C_3 \le \lim_{k \to \infty} k (1 - |\alpha_k|) \le \overline{\lim_{k \to \infty}} k (1 - |\alpha_k|) \le G_4 < + \infty$$

H

$$0 < C_0 \le \lim_{k \to \infty} k \left(1 - \frac{1}{|\beta_k|}\right) \le \lim_{k \to \infty} k \left(1 - \frac{1}{|\beta_k|}\right) \le C_0 < +\infty.$$

Тогда

$$\zeta_{n, m} = 0 (n^2 + m^2); \qquad \zeta_{n, m} = 0 \left( \frac{1}{\lg n} + \frac{1}{\lg m} \right).$$

поэтому

$$[\varepsilon_{n, m} | \lg \varepsilon_{n, m} | ]^{p+\alpha} \cdot \lg \gamma_{n, m} = 0 \left\{ \frac{(\lg \lg n)^{p+\alpha}}{(\lg n)^{p-1+\alpha}} \right\}.$$

следовательно (1.16) и (1.17) имеют место при p>1 и  $\alpha>0$ .

3) Пусть

$$0 < C_5 \leq \lim_{k \to \infty} |k(\lg k)^k (1 - |\alpha_k|)| \leq \overline{\lim}_{k \to \infty} |k(\lg k)^k (1 - |\alpha_k|)| \leq C_6 < \infty,$$

$$0 < C_5 \le \lim_{k \to \infty} \left\{ k \left( \lg k \right)^5 \left( 1 - \frac{1}{|\beta_k|} \right) \right\} \le \overline{\lim}_{k \to \infty} \left\{ k \left( \lg k \right)^5 \left( 1 - \frac{1}{|\beta_k|} \right) \right\} \le C_6 < \infty,$$

тде 0 < 6 < 1, тогда

$$\gamma_{n, m} = 0 \left\{ n^{2} (\lg n)^{4} + m^{2} (\lg m)^{4} \right\},$$

$$\varepsilon_{n, m} = 0 \left\{ |\lg n|^{4-l} + (\lg m)^{4-l} \right\},$$

$$|\varepsilon_{n, m}| |g \varepsilon_{n, m}| |^{p+4} \cdot \lg \gamma_{n, m} = 0 \left\{ \frac{(\lg \lg n)^{p+4}}{(\lg n)^{(1-z)(p+4)-l}} \right\},$$

т. е. (1.17) имеет место при  $p + a > \frac{1}{1-b}$ 

Приведенные примеры показывают, что сходимость ряда (1.17) для функции f(z) существенно зависит от поведения последовательностей  $\{\alpha_k\}$  и  $\{\beta_k\}$  и от дифференциальных свойств самой функции f(z). В частности, пример 3 показывает, что если  $\delta$  достаточно близка к единице, то для того, чтобы получить теорему разложения, мы вынуждены потребовать от функции наличие произвольно большого числа производных.

# § 2. Наилучшие приближения рациональными функциями в замкнутой области

Следуя С. Я. Альперу [8], будем говорить, что односвязная область  $G_1$  или ее граница  $\Gamma_1$  удовлетворяют условию j, если  $\Gamma_1$  представляет собой замкнутую гладкую кривую Жордана, у которой угол  $\vartheta(s)$  наклона касательной к вещественной оси, как функция длины дуги s на  $\Gamma_1$ , имеет модуль непрерывности j(h), удовлетворяющий условию:

$$\int_{h}^{C} \frac{j(h)}{h} |\lg h| dh < \infty.$$

Обозначим через  $w = \Phi(z)$  функцию, конформно отображающую внешнюю часть  $G_i$  на область |w| > 1 так, что  $\Phi(\infty) = \infty$ ,  $\Phi'(\infty) > 0$ . Пусть  $z = \psi(w)$  обратная функция. Пусть, далее, вне области  $G_i$  имеется такая последовательность точек  $\{\lambda_k\}$ , что

$$\sum_{k=1}^{\infty} \left(1 - \frac{1}{|\lambda_k^*|}\right) = +\infty, \quad \text{где} \quad \lambda_k^* = \Phi(\lambda_k). \tag{2.1}$$

Теорема 2. Пусть f(z) аналитическая в  $G_1$ , непрерывная в  $G_1$  функция, удовлетворяющая в  $G_1$  условию Липшица с показателем  $\alpha>0$ . Тогда, если область  $G_1$  удовлетворяет условию j, то существует рациональная функция  $R_1(z)$  с полюсами в точках  $k_1, k_2, \cdots, k_n$  такая, что

$$|f(z) - R_1(z)| < C_7(\varepsilon_n(\lambda^*)||g \varepsilon_n(\lambda^*)||)^z$$
(2.2)

для всех  $z\in G_1$ , где

$$z_n(\lambda^4) = \left[1 + \sum_{k=1}^n \left(1 - \frac{1}{|\lambda_k^*|}\right)\right]^{-1} \tag{2.3}$$

Доказательство. Функция  $f_1(\tau) = f[\psi(\tau)]$  будет непрерывной функцией, удовлетворяющей условию Липшица порядка  $\alpha$  на окружности  $|\tau| = 1$ . Интеграл типа Коши

$$\frac{1}{2\pi i} \int_{|\tau|=1}^{\tau} \frac{f[\psi(\tau)]}{\tau - w} d\tau$$

определяет две функции  $\theta_1(w)$  и  $\theta_2(w)$ , аналитические, соответственно, в областях |w| < 1 и |w| > 1. По лемме И. И. Привалова для разности граничных значений имеем:

$$\theta_1(\tau) - \theta_2(\tau) = f[\psi(\tau)] \quad (|\tau| = 1).$$
 (2.4)

Введя обозначения  $\theta_1 [\Phi(\xi)] = \lambda(\zeta)$  и  $\theta_2 [\Phi(\zeta)] = \mu(\zeta)$ , можно переписать (2.4) в виде:

$$f(\zeta) = \lambda(\zeta) - \mu(\zeta), \quad \zeta \in \Gamma_1.$$
 (2.4')

Надо отметить, что  $\lambda(z)$  определена только на  $\Gamma_1$ , а  $\mu(z)$  аналитична вне области  $G_1$ .

Функция  $\hat{\theta}_1$  ( $\tau$ ), как граничное значение нитеграла типа Коши от функции  $f[\psi(\tau)]$ , удовлетворяет условию Липшица с показателем  $\alpha^*$ ), следовательно (см. [4]) найдется рациональная функция с полюсами в точках  $\{\lambda_*^*\}$  вида

$$R_1^*(w) = \frac{P_1^*(w)}{(w - \lambda_2^*) \cdots (w - \lambda_n^*)}$$

где  $P_1^*(zv)$  полином степени не выше n, что на |z|=1

$$|\theta_1(\tau) - R_1^*(\tau)| < C_8 |\varepsilon_n(\lambda^*)| |g \varepsilon_n(\lambda^*)|^{\alpha}. \tag{2.5}$$

Обозначим через  $R_1(z)$  главную часть функции  $R_1^*[\Phi(z)]$ . Она будет рациональной функцией вида

$$\frac{P_1(z)}{(z-\lambda_1)\cdots(z-\lambda_n)}$$

где  $P_1(z)$  полином степени не выше n.

Для любой точки z, находящейся вне области  $G_1$  и отличной от  $\lambda_1, \lambda_2, \dots, \lambda_n$ , можно провести замкнутую жорданову кривую  $L_n$  так, чтобы z лежала внутри  $L_n$ , а все точки  $\lambda_1, \lambda_2, \dots, \lambda_n$  находились вне  $L_n$ . Очевидно, функция

$$R_{1}^{\circ} [\Phi(z)] - R_{1}(z)$$

аналитична вне области  $G_1$  и имеет в бесконечности нуль не ниже первого порядка, поэтому

$$\frac{1}{2\pi i} \int_{L_{2}}^{R_{1}^{*}\left[\Phi\left(t\right)\right]} \frac{\left|\Phi\left(t\right)\right| - R_{1}\left(t\right)}{t - z} dt = 0$$

для любой точки z ввутри  $L_n$ . Но рациональная функция  $R_1(z)$ , по построению кривой  $L_n$ , не имеет внутри нее полюсов, поэтому

$$R_{1}\left(z\right)=\frac{1}{2\pi i}\int_{L_{\pi}}\frac{R_{1}^{*}\left[\Phi\left(t\right)\right]}{t-z}\ dt.$$

Далее, функция  $R_1^*[\Phi(z)]$  аналитична в двусвязной области, заключенной между кривыми  $\Gamma_1$  и  $L_n$ , поэтому для точек z, находящихся внутри упомянутой области, будем иметь:

$$R_1^*\left[\Phi\left(z\right)\right] = \frac{1}{2\pi i} \int\limits_{L_n} \frac{R_1^*\left[\Phi\left(t\right)\right]}{t-z} \ dt - \frac{1}{2\pi i} \int\limits_{\Gamma_1} \frac{R_1^*\left[\Phi\left(t\right)\right]}{t-z} \ dt.$$

Из последних равенств для любой точки z вне области  $G_1$ , отличной от полюсов  $\lambda_1, \lambda_2, \cdots, \lambda_n$ , следует интегральное представление:

<sup>\*)</sup> При а = 1 это получается, например, из леммы 3 работы [8].

$$R_1(z) = R_1^* [\Phi(z)] + \frac{1}{2\pi i} \int_{\Gamma_1} \frac{R_1^* [\Phi(t)]}{t - z} dt.$$
 (2.6)

Лля внутренних точек области  $G_1$  легко получить:

$$R_{1}\left(z\right)=\frac{1}{2\pi i}\int\limits_{\Gamma_{z}}\frac{R_{1}^{*}\left[\Phi\left(t\right)\right]}{t-z}\ dt,\tag{2.6'}$$

По условию f(z) вналитична внутри  $G_1$ , поэтому из (2.6) согласно (2.4') получим:

$$\begin{split} R_{1}\left(z\right) &= R_{1}^{*}\left[\Phi\left(z\right)\right] - \mu\left(z\right) + \frac{1}{2\pi i}\int_{\mathbb{T}_{+}}^{\bullet} \frac{d\mathbb{Q}}{\xi - z}\left\{R_{1}^{*}\left[\Phi\left(\xi\right)\right] - \lambda\left(\xi\right)\right\} = \\ &= R_{1}^{*}\left[\Phi\left(z\right)\right] - \mu\left(z\right) - \frac{1}{2\pi i}\int_{\mathbb{T}_{+}}^{\bullet} \frac{\psi'\left(z\right)}{\psi\left(z\right) - \psi\left(z\psi\right)}\left[\theta_{1}\left(z\right) - R_{1}^{*}\left(z\right)\right]dz. \end{split}$$

Отсюда, при стремлении z извне  $G_1$  к граничной точке  $\xi = \phi(\tau^*)$  ( $|\tau^*| = 1$ ), по лемме И. И. Привалова будем иметь:

$$\begin{split} R_{1}\left(\xi\right) &= R_{1}^{*}[\Phi\left(\xi\right)] - \mu\left(\xi\right) - \frac{1}{2\pi i} \int_{\left[\frac{1}{\xi}\right] - \frac{1}{2}} \left[ \frac{\phi'\left(\tau\right)}{\phi\left(\tau\right) - \phi\left(\tau^{*}\right)} - \frac{1}{\tau - \tau^{*}} \right] \left[\theta_{1}\left(\tau\right) - \frac{1}{2\tau} \left[\frac{1}{\xi}\right] \left[\frac{\phi'\left(\tau\right)}{\phi\left(\tau\right) - \phi\left(\tau^{*}\right)} - \frac{1}{\tau - \tau^{*}} \right] \left[\theta_{1}\left(\tau\right) - \frac{1}{2\tau} \left[\frac{1}{\xi}\right] \left[\frac$$

или по (2.4')

$$f(\xi) - R_1(\xi) = \lambda (\xi) - R_1^* [\Phi(\xi)] + \frac{1}{2\pi i} \int_{|\tau|=1}^{\tau} \left[ \frac{\psi'(\tau)}{\psi(\tau) - \psi(\tau^*)} - \frac{1}{\tau - \tau^*} \right] [\theta_1(\tau) - R_1^*(\tau)] d\tau. \qquad (2.7)$$

В работе С. Я. Альпера [8] для областей, удовлетворяющих условию j, имеется оценка:

$$\int_{|\tau| - |\tau|} \left| \frac{1}{\tau - \tau^*} - \frac{\psi'(\tau)}{\psi(\tau) - \psi(\tau^*)} \right| |d\tau| < C_0, \quad (2.8)$$

где  $C_9$  не зависит от  $t^8$ .

Из (2.7), (2.8) и (2.5) следует:

$$|f(\xi) - R_1(\xi)| \le C_{10} |\varepsilon_n(\lambda^*)| \lg \varepsilon_n(\lambda^*)| |s|$$

Эта оценка, полученная только на границе области  $G_1$ , по принципу максимума остается справедливой и внутри  $G_1$ , что и требовалось доказать.

Пусть теперь имеется односвязная область  $G_2$  с границей  $\Gamma_2$  и внешней частью  $G_2^\infty$ . Обозначим через w=F(z) функцию, конформно отображающую  $G_2$  на круг |w|<1 так, что F(a)=0, F'(a)>0, где  $a\in G_2$ , произвольная точка, а  $z=\varphi(w)-$  обратная функция. Пусть внутри области  $G_2$  имеется последовательность точек  $\mu_1,\mu_2,\cdots$ , от-

личных от 
$$a$$
, такая, что  $\sum_{k=1}^{\infty} \, (1-|\,\mu_k^{\star}) = +\infty$ , где  $\mu_k^{\star} = F(\mu_k)$ .

Теорема 3. Пусть f(z) — функция, аналитическая и ограниченная в области  $G_2^{\pi}$ , удовлетворяющая на границе  $\Gamma_2$  условию Липшица с показателем  $\pi>0$ . Тогда, если область  $G_2$  удовлетворяет условию j, то существует рациональная функция  $R_2(z)$  с полюсами в точкох  $\mu_1, \cdots, \mu_m$  такая, что

$$|f(z) - R_2(z)| < C_{11} |\varepsilon_m(\mu^*)| |g \varepsilon_m(\mu^*)|^*$$
 (2.9)

для всех  $z\in \overline{G_2^\infty}$ , где

$$\varepsilon_m(\mu^*) = \left[1 + \sum_{k=1}^{m} (1 - |\mu_k^*|)\right]^{-1}$$
 (2.10)

Доказательство. Функция  $z_1=rac{1}{z-a}$  отображает область

 $G_2^\infty$  на некоторую область  $G_2^*$ , также удовлетворяющую условию f. При этом отображении образы точек  $\{\mu_k\}$  будут лежать вне области  $G_2^*$ , а функция  $f\left(a+\frac{1}{z_1}\right)$  будет аналитической внутри  $G_2^*$  и будет

удовлетворять условию Липшица с показателем  $\alpha$  в  $\overline{G}_2^*$ . Далее, функция  $w_1 = \left[F\left(a + \frac{1}{z_1}\right)\right]^{-1}$  отображает внешность области  $G_2^*$  на об-

ласть  $|w_1|\!>\!1$ , следовательно, к функции  $f\!\left(a\!+\!\frac{1}{z_1}\right)$  в замкнутой об-

ласти  $\overline{G}_{2}^{*}$  применима теорема 2, что дает:

$$\left| f\left( a + \frac{1}{z_1} \right) - R_2^*(z_1) \right| < C_{11} \left\{ \varepsilon_m \left( \mu^* \right) \mid \lg \varepsilon_m \left( \mu^* \right) \mid \right\}^a, \tag{2.11}$$

где  $z_1 \in G_2^*$ , а  $R_2^*(z_1)$  рациональная функция с полюсами в точках  $(\mu_1-a)^{-1}$ ,  $(\mu_2-a)^{-1},\cdots$ ,  $(\mu_m-a)^{-1}$ .

(2.9) получается из (2.11) при переходе 
$$z_1 = \frac{1}{z-a}$$

Исходя из рассуждений теорем 2 и 3, можно получить оценки наилучших приближений рациональными функциями в случае многосиязных областей. Для простоты здесь рассматривается случай двухсвязной области.

Пусть имеется двухсвязная область D, ограниченная кривыми  $\Gamma_1$  н  $\Gamma_2$  ( $\Gamma_2$  находится внутри  $\Gamma_1$ ). Обозначим через  $G_1$  область, ограниченную кривой  $\Gamma_1$ , а через  $G_2$  область, ограниченную кривой  $\Gamma_2$ . Будем говорить, что двухсвязная область D удовлетворяет условию j, если области  $G_1$  и  $G_2$  одновременно удовлетворяют этому условию. В обозначениях теорем 2 и 3 докажем теорему:

T е о р е м а 4. Пусть в двухсвязной области D дана аналитическая функция f(z), удовлетворяющая условию Липшица с показателем  $\alpha > 0$  в D. Тогда, если область D удовлетворяет условию j, то существует рациональная функция R(z) с полюсами в точках  $\lambda_1, \dots, \lambda_n, \mu_1, \dots, \mu_m$  такая, что для всех точек  $z \in \overline{D}$ ,

$$|f(z) - R(z)| < C_{12} \{ [\varepsilon_n(\lambda^*) | \lg \varepsilon_n(\lambda^*) | ]^\alpha + [\varepsilon_m(\mu^*) | \lg \varepsilon_m(\mu^*) | ]^\alpha \}. \quad (2.12)$$

Доказательство. В теореме 2 была построена рациональная функция  $R_1(z)$  с интегральным представлением (2.6). Интеграл типа Коши

$$\frac{1}{2\pi i} \int_{|z|=1}^{\infty} \frac{f[\varphi(z)]}{z-w} dz$$

определяет две функции  $\chi_1(w)$  и  $\chi_2(w)$ , аналитические, соответственно, в областях |w| < 1 и |w| > 1. По теореме И. И. Привалова имеем:

$$\chi_1(\tau) - \chi_2(\tau) = f[\varphi(\tau)] \quad (|\tau| = 1).$$

Полагая

$$\chi_1[F(t)] = \lambda^*(t), \quad \chi_2[F(t)] = \mu^*(t),$$

получаем:

$$\lambda^*(t) - \mu^*(t) = f(t) \quad (t \in \Gamma_2),$$
 (2.13)

причем  $\lambda^*(z)$  определена и голоморфна в области  $G_2$ , а  $\mu^*(z)$  определена только на границе  $\Gamma_2$ . Функция  $\chi_2(\tau)$  удовлетворяет условию Липшица с показателем  $\alpha$  на  $|\tau|=1$ , следовательно (см. [4]), найдется рациональная функция  $R_2^*(w)$  вида

$$R_2^*(w) = \frac{P_2^*(w)}{(w - \mu_1^*) \cdots (w - \mu_m^*)},$$

где  $P_2^*(w)$  полином степени не выше m, что на  $|\tau|=1$ ,

$$|\gamma_{2}(\tau) - R_{2}^{*}(\tau)| C_{13} \{\varepsilon_{m}(u^{*}) | |g \varepsilon_{m}(u^{*})| \}^{\alpha},$$
 (2.14)

Обозначим через  $R_2(z)$  главную часть функции  $R_2^*[F(z)]$ . Она будет рациональной функцией вида

$$\frac{P_2(z)}{(z-\mu_1)\cdots(z-\mu_m)},$$

где  $P_2(z)$  — полином степени не выше m. Для точек z, лежащих вне области  $G_2$ , имеем:

$$R_{z}(z) = -\frac{1}{2\pi i} \int_{\Gamma_{a}} \frac{R_{z}^{*}[F(t)]}{t - z} dt, \qquad (2.15)$$

в для точек z, лежащих внутри  $G_2$ ,

$$R_2(z) = R_2^*[F(z)] - \frac{1}{2\pi i} \int_1^z \frac{R_2^*[F(t)]}{t-z} dt.$$
 (2.15')

Из (2.6) и (2.15) для точек z, лежащих вне области  $G_{i}$ , получаем:

$$R_{1}(z) - R_{2}(z) = R_{1}^{*} \left[ \Phi(z) \right] + \frac{1}{2\pi i} \int_{t_{*}} \frac{R_{1}^{*} \left[ \Phi(t) \right]}{t - z} dt + \frac{1}{2\pi i} \int_{t_{*}} \frac{R_{2}^{*} \left[ F(t) \right]}{t - z} dt.$$

Отсюда, на основании (2.4') и (2.13), следует:

$$\begin{split} R_{1}\left(z\right) - R_{2}\left(z\right) &= R_{1}^{*}\left[\Phi\left(z\right)\right] - \mu\left(z\right) + \frac{1}{2\pi i}\int_{V_{1}}^{*} \frac{1}{t-z}\left[R_{1}^{*}\left[\Phi\left(t\right)\right] - \mu\left(t\right)\right] dt \\ &- \lambda\left(t\right)\right] dt + \frac{1}{2\pi i}\int_{V_{1}}^{*} \frac{1}{t-z}\left[R_{2}^{*}\left[F\left(t\right)\right] - \mu^{*}\left(t\right)\right] dt. \end{split}$$

Наконец, при стремлении z извие  $G_1$  к граничной точке  $\zeta = \psi(u)$  ( $\zeta \in \Gamma_1$ , |u| = 1), приходим к равенству:

$$\begin{split} R_1(\zeta) - R_2(\zeta) &= R_1^* [\Phi(\zeta)] - \mu(\zeta) - \frac{1}{2\pi i} \int\limits_{|\tau|=1}^{\tau} \left[ \frac{\psi'(\tau)}{\psi(\tau) - \psi(u)} - \frac{1}{\tau - u} \right] \left[ \theta_1(t) - R_1^*(\tau) \right] d\tau + \frac{1}{2\pi i} \int\limits_{\Gamma_1} \frac{1}{t - \zeta} \left[ R_2^* [F(t)] - \mu^*(t) \right] dt. \end{split}$$

Из (2.4'), (2.5), (2.14) и из последнего равенства получается оценка (2.12) на границе  $\Gamma_1$ . Если же взять интегральные представления (2.6') и (2.15') для точек z, находящихся внутри области  $G_2$ , то аналогичным путем получится оценка (2.12) на границе  $\Gamma_2$ , послечего остается применить принцип максимума.

В частном случае, когда области  $G_1$  и  $G_2$  совпадают, аналогич-

ными рассужденнями получается:

Теорема 5. Пусть на границе  $\Gamma$  односвязной одласти G дана непрерывная функция f(z), удовлетворяющая условию Липшица с показателем  $\alpha > 0$ . Тогда, если область G удовлетворяет условию j, то существует рациональная функция R(z) с полюсами в точках  $\lambda_1, \dots, \lambda_n, \mu_1, \dots, \mu_m$  такая, что при  $z \in \Gamma$ ,

$$|f(z) - R(z)| < C_{13}\{|z_n(\lambda^*)| |g|z_n(\lambda^*)|^n + |z_m(\mu^*)| |g|z_m(\mu^*)|^n\}.$$

## § 3. Оценка, отклонения частных сумм ряда по рациональным функциям в замкнутой области

Пусть имеется последовательность точек  $(\lambda_n)$   $(\lambda_1 = \infty)$ , лежащих вне области  $G_1$ . В работе М. М. Джрбашяна [1] построена базисная система рациональных функций  $(M_m(z))$  с полюсами в точках  $\{\lambda_k\}$ , где  $M_m(\hat{z})$  представляет главную часть функции  $\Phi_m[\Phi(z)]$   $(m=1, 2, \cdots)$ .

$$\Phi_{1}(w) = \sqrt{\frac{|\lambda_{1}^{*}|^{2} - 1}{2\pi}} \frac{1}{\lambda_{1}^{*} - w},$$

$$\Phi_{m}(w) = \sqrt{\frac{|\lambda_{m}^{*}|^{2} - 1}{2\pi}} \frac{1}{\lambda_{m}^{*} - w} \prod_{k=1}^{m-1} \frac{1 - \lambda_{k}^{*}w}{w - \lambda_{k}^{*}} (m = 2, 3, \cdots)$$
(3.1)

и установлено равномерно сходящееся внутри области  $G_1$  разложение в ряд по функциям  $M_m\left(z\right)$  для аналитических внутри области

G, функций (здесь приняты обозначения параграфа 2).

Теорема 6. Пусть f(z) аналитическая в области  $G_1$  функция, непрерывная в  $\overline{G}_1$  и удовлетворяющая там условию Липшица с показателем a>0. Тогда, если область  $G_1$  удовлетворяет условию j, то для всех  $z\in \overline{G}_1$ ,

$$\left| f(z) - \sum_{k=1}^m a_k \mathcal{M}_k \left( z \right) \right| \leqslant C_{\mathbf{14}} \left[ 1 + \pi + \frac{1}{2} \left( 1 + \frac{1}{2} + \frac{1}{2} \right) \right] \leq C_{\mathbf{14}} \left[ 1 + \frac{1}{2} + \frac{1}{2} \left( 1 + \frac{1}{2} + \frac{1}{2} \right) \right] \leq C_{\mathbf{14}} \left[ 1 + \frac{1}{2} + \frac{1}{2} \left( 1 + \frac{1}{2} + \frac{1}{2} \right) \right] \leq C_{\mathbf{14}} \left[ 1 + \frac{1}{2} + \frac{1}{2} \left( 1 + \frac{1}{2} + \frac{1}{2} \right) \right] \leq C_{\mathbf{14}} \left[ 1 + \frac{1}{2} + \frac{1}{2} \left( 1 + \frac{1}{2} + \frac{1}{2} \right) \right] \leq C_{\mathbf{14}} \left[ 1 + \frac{1}{2} + \frac{1}{2} \left( 1 + \frac{1}{2} + \frac{1}{2} \right) \right] \leq C_{\mathbf{14}} \left[ 1 + \frac{1}{2} + \frac{1}{2} \left( 1 + \frac{1}{2} + \frac{1}{2} \right) \right] \leq C_{\mathbf{14}} \left[ 1 + \frac{1}{2} + \frac{1}{2} \left( 1 + \frac{1}{2} + \frac{1}{2} \right) \right] \leq C_{\mathbf{14}} \left[ 1 + \frac{1}{2} + \frac{1}{2} \left( 1 + \frac{1}{2} + \frac{1}{2} \right) \right] \leq C_{\mathbf{14}} \left[ 1 + \frac{1}{2} + \frac{1}{2} \left( 1 + \frac{1}{2} + \frac{1}{2} \right) \right] \leq C_{\mathbf{14}} \left[ 1 + \frac{1}{2} + \frac{1}{2} \left( 1 + \frac{1}{2} + \frac{1}{2} \right) \right] \leq C_{\mathbf{14}} \left[ 1 + \frac{1}{2} + \frac{1}{2} \left( 1 + \frac{1}{2} + \frac{1}{2} \right) \right] \leq C_{\mathbf{14}} \left[ 1 + \frac{1}{2} + \frac{1}{2} \left( 1 + \frac{1}{2} + \frac{1}{2} \right) \right] \leq C_{\mathbf{14}} \left[ 1 + \frac{1}{2} + \frac{1}{2} \left( 1 + \frac{1}{2} + \frac{1}{2} \right) \right] \leq C_{\mathbf{14}} \left[ 1 + \frac{1}{2} + \frac{1}{2} \left( 1 + \frac{1}{2} + \frac{1}{2} \right) \right] \leq C_{\mathbf{14}} \left[ 1 + \frac{1}{2} + \frac{1}{2} \left( 1 + \frac{1}{2} + \frac{1}{2} \right) \right] \leq C_{\mathbf{14}} \left[ 1 + \frac{1}{2} + \frac{1}{2} \left( 1 + \frac{1}{2} + \frac{1}{2} \right) \right]$$

$$+ \lg \sum_{k=1}^{m} \left( 1 - \frac{1}{|\lambda_k^*|} \right)^{-1} \left[ \varepsilon_m (\lambda^*) | \lg \varepsilon_m (\lambda^*) | \right]^{\alpha}, \tag{3.2}$$

side.

$$a_k = \frac{1}{i} \int_{|\tau|=1}^{\theta_1(\tau)} \frac{\theta_1(\tau)}{\tau} \, \overline{\Phi_k(\tau)} \, d\tau = \frac{1}{i} \int_{|\tau|=1}^{\theta_1(\tau)} \frac{f[\psi(\tau)]}{\tau} \, \overline{\Phi_k(\tau)} \, d\tau,$$

 $a \in_m (\lambda^*)$  определяется из (2.3).

Доказательство. Для точек z, находящихся вне области  $G_{\nu}$  имеем:

$$M_m(z) = \Phi_m[\Phi(z)] + \frac{1}{2\pi i} \int_{\Gamma_i} \frac{\Phi_m[\Phi(\zeta)]}{\zeta - z} d\zeta.$$
 (3.3)

Из (3.3) и (2.4') получаем:

$$\sum_{k=1}^{m} a_k \mathcal{M}_k(z) = \sum_{k=1}^{m} a_k \Phi_k \left[ \Phi(z) \right] - \mu(z) - \frac{1}{2\pi i} \int_{\Gamma_i}^{\lambda(\zeta)} \frac{\lambda(\zeta) - \sum_{k=1}^{m} a_k \Phi_k \left[ \Phi(\zeta) \right]}{\zeta - z} d\zeta.$$

Отсюда, при  $z \to \xi = \psi(\tau^*)$  ( $|\tau^*| = 1$ ),

$$f(\xi) - \sum_{k=1}^{m} a_k M_k(\xi) = \lambda(\xi) - \sum_{k=1}^{m} a_k \Phi_k [\Phi(\xi)] + \frac{1}{2\pi i} \int_{\tau} \left[ \frac{\psi'(\tau)}{\psi(\tau) - \psi(\tau^*)} - \frac{1}{\tau - \tau^*} \right] \left[ \theta, (\tau) - \sum_{k=1}^{m} a_k \Phi_k(\tau) \right] d\tau.$$
 (3)

<sup>5</sup> Известия АН, серия физ.-мат. наук, № 4

Для доказательства теоремы нам понадобится оценка для  $\theta_1(\tau) = \sum_{k=1}^m a_k \, \Phi_k(\tau)$ . Повторяя преобразования работы [2], имеем:

$$\sum_{k=1}^{m} a_k \Phi_k \left(\tau\right) = \frac{1}{i} \int_{|\zeta|=1}^{m} \frac{\theta_1 \left(\zeta\right)}{\zeta} \sum_{k=1}^{m} \overline{\Phi_k} \left(\zeta\right) \Phi_k \left(\tau\right) d\zeta =$$

$$= \frac{1}{2\pi i} \int_{|\zeta|=1}^{m} \frac{\theta_1 \left(\zeta\right)}{\zeta \left(1-\overline{\zeta}\tau\right)} \left\{ \prod_{k=1}^{m} \frac{\tau - a_k}{1-\overline{a_k}\tau} \prod_{k=1}^{m} \frac{\zeta - a_k}{1-\overline{a_k}\zeta} - 1 \right\} d\zeta, \quad a_k = \frac{1}{\lambda_k^*}. \quad (3.5)$$

Но, введя обозначение

$$y\lambda_m(y,x) = \int_{k-1}^{x+y} \sum_{k=1}^m \frac{1 - |\alpha_k|^2}{1 - 2|\alpha_k \cos(u - \omega_k) + |\alpha_k|^2} du,$$
 (3.6)

имеем:

$$\prod_{k=1}^{m} \frac{e^{ix} - a_k}{1 - \overline{a}_k e^{it}} \prod_{k=1}^{m} \frac{e^{it} - a_k}{1 - \overline{a}_k e^{it}} - 1 = \exp\left\{i\left(x - t\right)\lambda_m\left(x - t, t\right)\right\} - 1 =$$

$$= 2i \exp\left\{\frac{i\left(x - t\right)\lambda_m\left(x - t, t\right)}{2}\right\} \cdot \sin\frac{\left(x - t\right)\lambda_m\left(x - t, t\right)}{2}.$$
(3.7)

Из (3.5) и (3.7) получим:

$$\sum_{k=1}^{m} a_k \Phi_k(e^{ix}) = \frac{1}{\pi} \int_{0}^{\frac{\pi}{2}} \theta_1[e^{i(\pi - 2y)}] e^{iy[1 + \lambda_m(-2y, x)]} \cdot \frac{\sin[y\lambda_m(-2y, x)]}{\sin y} dy$$

$$-\frac{1}{\pi}\int_{0}^{\frac{\pi}{2}}\theta_{1}\left[e^{i(x+2y)}\right]e^{-iy[1+\lambda_{m}(2y, x)]}\cdot\frac{\sin\left[y\lambda_{m}(2y, x)\right]}{\sin y}dy. \tag{3.8}$$

По условию, функция f(z) непрерывна на границе области, следовательно  $\ell_1(e^{ix})$  будет ограничена, пусть  $\theta_1(e^{ix}) \leq C_{15}$ . Употребляя еще оценку  $\sin y \gg \frac{2}{\pi} y \left(0 \leqslant y \leqslant \frac{\pi}{2}\right)$ , из (3.8) получим:

$$\left| \sum_{k=1}^{m} a_k \, \Phi_k \left( e^{ix} \right) \right| \leq C_{16} \int_{0}^{\frac{\pi}{2}} \frac{|\sin \left[ y \lambda_m \left( -2y, \, x \right) \right] \, |}{y} \, dy +$$

$$+ C_{16} \int_{0}^{\frac{\pi}{2}} \frac{|\sin \left[ y \lambda_m \left( 2y, \, x \right) \right] \, |}{y} \, dy.$$

Из (3.6) имеем:

$$|y\lambda_m(2y,x)| \le |y| \sum_{k=1}^m \frac{1+|\alpha_k|}{1-|\alpha_k|} < 2|y| \sum_{k=1}^m \left(1-\frac{1}{|\lambda_k^*|}\right)^{-1}$$
 (3.9)

Из (3.9) и из оценки наилучшего приближения (2.2) приходим к оценке:

$$\max_{\|\tau\|=1} \left| \theta, (\tau) - \sum_{k=1}^{m} a_k \Phi_k(\tau) \right| \leq C_{17} \left[ 1 + \pi + \lg \sum_{k=1}^{m} \left( 1 - \frac{1}{|\lambda_k^*|} \right)^{-1} \right] \times \left[ \varepsilon_m(\lambda^*) | \lg \varepsilon_m(\lambda^*) | \right]^{\alpha}.$$

Отсюда и из (3.4) уже нетрудно получить (3.2).

Пусть теперь функция f(z) аналитична в области  $G_2^\infty$ . По данной последовательности точек  $\{\{u_k\}$ , лежащих внугри области  $G_2$ , по аналогии функций, введенных в [1], образуем систему рациональных функций:

$$\begin{split} & \phi_{1}\left(w\right) = \sqrt{\frac{1 - |\mu_{1}^{*}|^{2}}{2\pi}} \frac{1}{\mu_{1}^{*} - w} \cdot \\ & \phi_{n}\left(w\right) = \sqrt{\frac{1 - |\mu_{n}^{*}|^{2}}{2\pi}} \frac{1}{\mu_{n}^{*} - w} \prod_{k=1}^{n-1} \frac{1 - \mu_{k}^{*}w}{w - \mu_{k}^{*}} \quad (n = 2, 3, \cdots). \end{split}$$

Обозначим через  $N_n(z)$  главную часть функции  $\psi_n[F(z)]$   $(n=1,2,\cdots)$ . T е o p е m a 7. Пусть f(z) функция, аналитическая u ограниченная s области  $G_2^\infty$ , удовлетворяющая на границе  $\Gamma_2$  условию Липшица c показателем a. Тогда если область  $G_2$  удовлетворяет условию j, то для s сех точек z  $\in$   $G_2^\infty$ .

$$\left| f(z) - \sum_{k=1}^{n} b_k N_k(z) \right| \leq C_{18} \left[ 1 + \pi + \lg \sum_{k=1}^{n} \left( 1 - |\mu_k| \right)^{-1} \right] \times$$

$$\times |\epsilon_n(\mu^*)| \lg \epsilon_n(\mu^*)| ]^{\alpha}$$

20E

$$b_{k} = -\frac{1}{i} \int_{|\tau|=1}^{\infty} \frac{\chi_{2}(\tau)}{\tau} \overline{\psi_{k}(\tau)} d\tau = \frac{1}{i} \int_{|\tau|=1}^{\infty} \frac{f[\varphi(\tau)]}{\tau} \overline{\psi_{k}(\tau)} d\tau,$$

а ≈ (№) определяется из (2.10).

Доказательство. Для точек z, лежащих в области  $G^{\alpha}$ , вмеем интегральное представление:

$$N_n(z) = -\frac{1}{2\pi i} \int_{\Gamma_n} \frac{\psi_n[F(\zeta)]}{\zeta - z} d\zeta, \qquad (3.10)$$

откуда в силу (2.13) получается:

$$f(z) = \sum_{k=1}^{n} b_{k} N_{k}(z) = \frac{1}{2\pi i} \int_{\zeta}^{2\pi i} \frac{\varphi^{*}(\zeta) + \sum_{k=1}^{n} b_{k} \psi_{k}[F(\zeta)]}{\zeta - z} d\zeta.$$

Для доказательства остается совершить предельный переход при  $z \to \xi \in \Gamma_2$  и оценить, как и в предыдущей теореме,

$$\mu^{*}(\xi) + \sum_{k=1}^{n} b_{k} \psi_{k} [F(\zeta)].$$

Теорема 8. Пусть функция f(z) аналитична в двухсвязной области D и удовлетворяет условию Липшица с показателем a>0 в  $\overline{D}$ . Тогда, если область D удовлетворяет условию j, то для всех точек  $z\in\overline{D}$ .

$$\left| f(z) - \sum_{k=1}^{m} a_{k} M_{k}(z) - \sum_{k=1}^{n} b_{k} N_{k}(z) \right| <$$

$$< C_{19} \left\{ \left[ 1 + \pi + \lg \sum_{k=1}^{m} \left( 1 - \frac{1}{|\lambda_{k}^{*}|} \right)^{-1} \right] \left[ \varepsilon_{m} (\lambda^{*}) | \lg \varepsilon_{m} (\lambda^{*}) | \right]^{a} + \right.$$

$$+ \left[ 1 + \pi + \lg \sum_{k=1}^{n} \left( 1 - |\mu_{k}^{*}| \right)^{-1} \right] \left[ \varepsilon_{n} (\mu^{*}) | \lg \varepsilon_{n} (\mu^{*}) | \right]^{a} \right\}$$

(коэффициенты  $a_k$  и  $b_k$  определены в теоремах 6 и 7 соответственно). Доказательство. Для точек z, дежащих вне области  $G_i$ , из интегральных представлений (3.3) и (3.10) получаем:

$$\sum_{k=1}^{m} a_k M_k(z) + \sum_{k=1}^{n} b_k N_k(z) = \sum_{k=1}^{m} a_k \Phi_k |\Phi(z)| + \frac{1}{2\pi i} \int_{\Gamma_k}^{m} a_k \Phi_k |\Phi(\zeta)| d\zeta - \frac{1}{2\pi i} \int_{\Gamma_k}^{n} \frac{\sum_{k=1}^{n} b_k \psi_k |F(\zeta)|}{\zeta - z} d\zeta.$$

Отсюда на основании (2.4') и (2.13) следует:

$$\sum_{k=1}^{m} a_{k} M_{k}(z) + \sum_{k=1}^{n} b_{k} N_{k}(z) = \sum_{k=1}^{m} b_{k} \Phi_{k} \left[ \Phi(z) \right] - \mu(z) + \frac{1}{2\pi i} \int_{\Gamma_{i}}^{m} a_{k} \Phi_{k} \left[ \Phi(\zeta) \right] - \lambda(\zeta) d\zeta - \frac{1}{2\pi i} \int_{\Gamma_{i}}^{n} b_{k} \psi_{k} \left[ F(\zeta) \right] + \mu^{*}(\zeta) d\zeta.$$

Дальнейший ход доказательства похож на доказательство теоремы 4 и мы его опускаем.

Из этой теоремы в частности получается:

Теорема 9. Если на границе  $\Gamma$  односвязной области G, удовлетворяющей условию j, дана непрерывная функция f(z), удовлетворяющая условию Липшица c показателем a>0, то для всех точек  $z\in\Gamma$ ,

$$\left| f(z) - \sum_{k=1}^{m} a_{k} M_{k}(z) - \sum_{k=1}^{n} b_{k} N_{k}(z) \right| < < C_{20} \left\{ \left[ 1 + \pi + \lg \sum_{k=1}^{m} \left( 1 - \frac{1}{|\lambda_{k}^{*}|} \right)^{-1} \right] |\varepsilon_{m}(\lambda^{*})| \lg \varepsilon_{m}(\lambda^{*})| \right\}^{s} + \left[ 1 + \pi + \lg \sum_{k=1}^{n} \left( 1 - |\mu_{k}^{*}| \right)^{-1} \right] |\varepsilon_{n}(\mu^{*})| \lg \varepsilon_{n}(\mu^{*})| \right]^{s},$$

Как уже было отмечено, в работе М. М. Джрбашяна [1] для функций, аналитических в односвязной области, установлено равномерно сходящееся внутри области разложение в ряд по функциям  $M_m$  (z). Аналогичный результат можно получить и в случае многосвязных областей, в частности для двухсвязной области.

Следуя М. М. Джрбашяну, будем говорить, что двухсвязная область D принадлежит к классу U, если

$$\lim_{r\to 1+0}\sup\int_0^{2\pi}|\psi'(re^{i\theta})|^2d\theta<+\infty$$

H

$$\lim_{r\to 1\to 0}\sup_{0}\int_{0}^{2\pi}|\varphi'(re^{i\vartheta})|^{2}d\vartheta<+\infty.$$

Teopema 10. Пусть функция f(z) аналитична в двухсвязной области D и непрерывна в  $\overline{D}$ . Тогда, если область D принадлежит  $\kappa$  классу U и если

$$\sum_{k=1}^{\infty} \left(1 - \frac{1}{|\lambda_k^*|}\right) = +\infty, \quad \sum_{k=1}^{\infty} \left(1 - |\mu_k^*|\right) = +\infty,$$

то имеет место разложение

$$f(z) = \sum_{k=1}^{\infty} a_k M_k(z) + \sum_{k=1}^{\infty} b_k N_k(z),$$

равномерно сходящееся внутри области D.

Доказательство. При  $z\in D$ , представляя функцию f(z) интегралом Коши, имеем:

$$\begin{split} f\left(z\right) &= \frac{1}{2\pi i} \int_{\mathbb{T}_{\epsilon}} \frac{f\left(\zeta\right)}{\zeta - z} \, d\zeta - \frac{1}{2\pi i} \int_{\mathbb{T}_{\epsilon}} \frac{f\left(\zeta\right)}{\zeta - z} \, d\zeta = \\ &= \frac{1}{2\pi i} \int_{\mathbb{T}_{\epsilon}} \frac{\psi'\left(\tau\right)}{\psi\left(\tau\right) - z} f\left[\psi\left(\tau\right)\right] \, d\tau - \frac{1}{2\pi i} \int_{\mathbb{T}_{\epsilon}} \frac{\varphi'\left(\tau\right)}{\varphi\left(\tau\right) - z} f\left[\varphi\left(\tau\right)\right] \, d\tau. \end{split} \tag{3.11}$$

Из условий теоремы вытекает (см. [1]) разложение

$$\frac{\psi'\left(w\right)}{\psi\left(w\right)-z} = \frac{2\pi}{w} \sum_{k=1}^{\infty} \overline{\Phi_{k}\left(\frac{1}{\overline{w}}\right)} M_{k}(z), \qquad (3.12)$$

в среднем сходящееся на окружности |w|=1, при этом равномерно относительно  $z\in \overline{D}_1 < D$ . Аналогичными рассуждениями можно получить разложение

$$\frac{\varphi'(w)}{\varphi(w) - z} = -\frac{2\pi}{w} \sum_{k=1}^{\infty} \overline{\psi_k\left(\frac{1}{\overline{w}}\right)} N_k(z). \quad (3.13)$$

Из (3.11), учитывая выражения коэффициентов  $a_k$  и  $b_k$ , приходим к выражению:

$$\begin{split} f\left(z\right) &= \frac{1}{2\pi i} \int\limits_{\left\{\tau\right\}=1}^{} f\left[\psi\left(\tau\right)\right] \left\{ \frac{\psi'\left(\tau\right)}{\psi\left(\tau\right)-z} - \frac{2\pi}{w} \sum_{k=1}^{n} \overline{\Phi_{k}\!\!\left(\frac{1}{\tau}\right)} \; M_{k}\left(z\right) \right\} d\tau - \\ &- \frac{1}{2\pi i} \int\limits_{\left\{\tau\right\}=1}^{} f\left[\psi\left(\tau\right)\right] \left\{ \frac{\psi'\left(\tau\right)}{\psi\left(\tau\right)-z} + \frac{2\pi}{w} \sum_{k=1}^{n} \overline{\psi_{k}\left(\frac{1}{\tau}\right)} N_{k}\left(z\right) \right\} d\tau + \\ &+ \sum_{k=1}^{n} a_{k} M_{k}\left(z\right) + \sum_{k=1}^{n} b_{k} N_{k}\left(z\right). \end{split}$$

Для доказательства теоремы остается применить неравенство Буняковского, (3.12), (3.13) и совершить предельный переход при  $n \to \infty$ .

## § 4. Обратные теоремы о приближении рациональными функциями

В настоящем параграфе приводятся результаты, показывающие, что условия на густоту последовательности полюсов, которые накладывались нами в предыдущих теоремах, необходимы. Аналогичный результат в случае приближения на вещественной оси был установлен С. Н. Бернштейном [9].

Пусть даны последовательности точек  $\{\alpha_k\}$  и  $\{\beta_k\}$ ,  $|\alpha_k| < 1$ ,  $|\beta_k| > 1$ .

Теорема 11. Пусть\*

$$\sum_{k=1}^{\infty} \left(1 - \frac{1}{|\beta_k|}\right) < +\infty \tag{4.1}$$

и некоторая дуга l окружности |z|=1 не содержит предельных точек последовательности  $\{\beta_k\}$ .

Если для непрерывной на |z|=1 функции f(z) существует последовательность рациональных функций  $\{R_n(z)\}$  с полюсами в точках  $\{\beta_k\}$  такая, что

$$\max_{|z|=1} |f(z) - R_n(z)| \to 0, \quad n \to \infty,$$
 (4.2)

то функция f(z) будет аналитической внутри круга |z| < 1 и на дуге l окружности |z| = 1, а во внешней части круга |z| < 1 она будет мероморфной с полюсами только в точках  $\{\beta_k\}$ .

Доказательство. Из условий (4.2) вытекает, что для данной последовательности чисел

$$\delta_1 > \delta_2 > \dots > \delta_k > \dots > 0, \quad \sum_{k=1}^{\infty} \delta_k < +\infty$$
 (4.3)

можно выбрать последовательность индексов  $(n_k)$ ,  $n_k \to \infty$  такую, что  $\max_{|x|=1} |f(z) - Rn_k(z)| < \frac{\delta_k}{2}$  Полагая

$$R_{n_k}(z) = U_1(z), \quad R_{n_k}(z) - R_{n_{k-1}}(z) = U_k(z) \quad (k > 1)$$

убеждаемся, что равномерно на |z| = 1

$$f(z) = \sum_{k=1}^{\infty} U_k(z) \tag{4.4}$$

причем

$$\max_{|z|=1} |U_k(z)| < \delta_k \quad (k = 1, 2, \cdots). \tag{4.4}$$

Очевидно, оценка (4.4) имеет место и для всех точек круга |z| < 1, откуда следует, что f(z) будет аналитической внутри круга |z| < 1. Функция

$$U_h(z) \cdot \prod_{j=1}^{n_h} \frac{z - \beta_j}{1 - z \beta_j}$$

будет аналитической в области |z| > 1, ограниченной в бесконечности и по модулю меньше  $\delta_k$  на |z| = 1, поэтому

$$\mid U_{k}\left(z\right)\mid <\delta_{k}\prod_{i=1}^{n_{k}}\left| rac{1-z\overline{eta_{j}}}{z-eta_{i}}
ight|$$
 при  $\mid z\mid >1$ , или

$$\mid U_k(z)\mid^2 < \delta_k^2 \prod_{j=1}^{n_k} \left[ 1 + \frac{\left( \mid z\mid^2 - 1 \right) \left( \mid \beta_j \mid^2 - 1 \right)}{\left| \mid z - \beta_j \mid^2 \right|} \right] \cdot$$

Таким образом,

$$|U_k(z)|^2 < \delta_k^2 \exp\left\{ (|z|^2 - 1) \sum_{j=1}^{n_k} \frac{|\beta_j|^2 - 1}{|z - \beta_j|^2} \right\}, \qquad |z| > 1.$$
 (4.5)

Из сходимости ряда (4.1) следует, что последовательность ( $\beta_k$  будет иметь предельные точки только на окружности |z|=1, поэтому при произвольно малом  $\delta>0$  и произвольно большом R>0 в области  $1+\delta \leqslant |z|\leqslant R$  будет только конечное число полюсов  $\beta_j$ . Окружив в указанном кольце полюсы  $\beta_j$  кружками радиуса  $\delta$ , получим некоторую связную область E, где, в силу (4.5), будем иметь:

$$|U_k(z)|^2 < \delta_k^2 \exp\left\{\frac{R^2 \sum_{j=1}^{n_k} (|\beta_j|^2 - 1)\right\}.$$
 (4.6)

Но ряды

$$\sum_{j=1}^{\infty}(\lfloor \beta_j \rfloor^2-1) \qquad \text{ is } \qquad \sum_{j=1}^{\infty}\Bigl(1-\frac{1}{\lfloor \beta_j \rfloor}\Bigr)$$

сходятся или расходятся одновременно, поэтому из (4.1) и (4.6) следует:

$$|U_k(z)| \leqslant C_{\delta_1} \delta_k \quad (z \in E),$$
 (4.7)

где  $C_{2_1}$  не зависит от z и k.

Аналогичную оценку можно получить и в окрестности дуги /

окружности |z|=1, откуда и из (4.3) следует, что  $\sum\limits_{k=1}^{\infty}U_{k}(z)$  равно-

мерно сходится в области E и в окрестности дуги l. Так как числа  $\delta$  и R произвольны, то теорема доказана.

Теорема 12. Пусть сходятся ряды

$$\sum_{k=1}^{\infty} \left(1 - \left| |\alpha_k| \right| \right) \right) \qquad \text{if} \qquad \sum_{k=1}^{\infty} \left(1 - \frac{1}{\left| |\beta_k| \right|} \right) \tag{4.8}$$

и некоторая дуга l окружности |z|=1 не содержит предельных точек последовательностей  $\{a_k\}$  и  $\{\beta_k\}$ .

Если для непрерывной на |z|=1 функции f(z) существует последовательность рациональных функций  $|R_a(z)|$  с полюсами в точках  $|a_k|$  и  $|\beta_k|$  такая, что

$$\max_{z \in \mathbb{R}^n} |f(z) - R_n(z)| \to 0, \quad n \to \infty, \tag{4.9}$$

то функция f(z) будет аналитической на дуге l, а в круге |z| < 1 и в области |z| > 1 она будет мероморфной с полюсами только в точках  $\{a_k\}$  и  $\{\beta_k\}$ .

Доказательство. Без ограничения общности можно предполагать, что  $\{R_n\left(z\right)\}$  такая последовательность, что для взятых чи-

сел 
$$\{\delta_k\}$$
  $(4.3)$   $\max_{|z|=1}|f(z)-R_n(z)|<\frac{\delta_n}{2}$ . Полагая  $v_1(z)=R_1(z),$ 

 $v_k(z) = R_k(z) - R_{k-1}(z) \ (k>1)$ , будем иметь равномерно сходящееся на |z|=1 разложение

$$f(z) = \sum_{k=1}^{\infty} v_k(z), \quad \text{rme} \quad \max_{|z|=1} |v_n(z)| < \delta_k \quad (k = 1, 2, \cdots)$$
 (4.10)

Пусть  $v_k(z)$  имеет вид

$$v_k(z) = \frac{P_k(z)}{\prod\limits_{j=1}^n (z-a_j) \prod\limits_{j=1}^m (z-\beta_j)}$$
  $(m+n=k),$ 

где  $P_k(z)$  полином степени не выше k.

Функция  $v_k(z) \cdot \prod_{j=1}^n \frac{z-a_j}{1-za_j}$  будет зналитической в круге |z| < 1

н по модулю меньше  $\delta_k$  на окружности |z|=1, следовательно, как и в предыдущей теореме,

$$|v_k(z)|^2 < \delta_k^2 \exp\left\{ (1 - |z|^2) \sum_{j=1}^n \frac{1 - |\alpha_j|^2}{|z - \alpha_j|^2} \right\}$$
, npu  $|z| < 1$ . (4.11)

Аналогично получается:

$$\| v_k(z) \|^2 < \delta_k^2 \exp\left[ (\|z\|^2 - 1) \sum_{j=4}^m \frac{\|\beta_j\|^2 - 1}{|z - \beta_j|^2} \right] \quad \text{при } \|z\| > 1. \tag{4.12}$$

Из сходимости рядов (4.8) следует, что последовательности  $\{a_k\}$  и  $\{\beta_k\}$  могуть иметь предельные точки только на окружности  $\|z\|=1$ . При произвольно малом  $\delta>0$ , окружив точки  $a_k$ , находящиеся в круге  $\|z\|<1-\delta$ , кружками радиуса  $\delta$ , в полученной области, в силу (4.11), будем иметь:

$$\max |v_k(z)| < C_{22}\delta_k,$$
 (4.13)

где  $C_{22}$  не зависит от z в k.

Аналогичную оценку в силу (4.12) получим в окрестности дуги  $\ell$  и в области, полученной из кольца  $1+\delta \ll |z| \ll R$ , если окружить в последнем точки  $\beta_k$  кружками радиуса  $\delta$ . Теорема получается из (4.10), (4.13) и (4.3).

Аналогичные теоремы можно сформулировать и в случае жордановых областей.

Пусть G — некоторая односвязная область с жордановой границей  $\Gamma$ , а  $G^{\circ}$  ее дополнение. Пусть, далее, в области G имеется последовательность точек  $\{\nu_k\}$ , а в области  $G^{\circ}$  последовательность точек  $\{\lambda_k\}$ . В обозначениях § 2 докажем следующую теорему:

Теорема 13. Пусть

$$\sum_{k=1}^{\infty} \left(1 - \frac{1}{\mid \lambda_k^* \mid}\right) < +\infty \qquad \text{if} \qquad \sum_{k=1}^{\infty} \left(1 - \mid \mu_k^* \mid\right) < +\infty \qquad (4.14)$$

и пусть некоторый кусок L границы Г не содержит предельных точек последовательностей  $\{\lambda_k\}$  и  $\{\mu_k\}$ .

Если для непрерывной на  $\Gamma$  функции f(x) существует последовательность рацианальных функций  $\{R_n(z)\}$  с полюсами в точках  $\{\lambda_k\}$  и  $\{\psi_k\}$  такая, что

$$\max_{z \in \Gamma} |f(z) - R_n(z)| \to 0 \quad npu \quad n \to \infty,$$

то функция f(z) будет аналитической на L, а внутри областей G и  $G^{\infty}$  она будет мероморфной с полюсами только в точках  $\{\lambda_k\}$  и  $\{\mu_k\}$ .

Доказательство. Из условий теоремы вытекает существование такой последовательности рациональных функций  $\{w_k(z)\}$ , что равномерно на границе  $\Gamma$ 

$$f(z) = \sum_{k=1}^{\infty} \hat{w}_k(z), \quad \max_{z \in \Gamma} |w_k(z)| < \delta_k \quad (k = 1, 2, \dots).$$
 (4.15)

где  $\{\delta_k\}$  взяты из (4.3).

Пусть

$$w_k(z) = \frac{Q_k(z)}{\prod\limits_{j=1}^{n}(z-\lambda_j)\prod\limits_{j=1}^{m}(z-\mu_j)}$$
  $(k=m+n),$ 

где  $Q_k(z)$  полином степени не выше k. Функция

$$w_k(z) \cdot \prod_{j=1}^m \frac{F(z) - \mu_k^*}{1 - F(z) \mu_j^*}$$

будет вналитической в области G и по модулю меньше  $\delta_k$  на границе  $\Gamma$ , поэтому

$$|w_k(z)| < \delta_k \prod_{j=1}^m \left| \frac{1 - F(z)\mu_j^*}{F(z) - \mu_j^*} \right|, \quad z \in G,$$

откуда

$$|w_{k}(z)|^{2} < \delta_{k}^{2} \exp\left\{\left(1 - |F(z)|^{2}\right) \sum_{j=1}^{m} \frac{1 - |\mu_{j}^{*}|^{2}}{|F(z) - \mu_{j}^{*}|^{2}}\right\}$$
 (4.16)

Если при произвольно малом  $\delta > 0$  взять линию уровня  $|F(z)| = 1 - \delta$  и находящиеся внутри нее точки  $\mu_j$  (их будет конечное число в силу (4.14)) окружить замкнутыми линиями  $|F(z) - \mu_j^*| = \delta$ , то в полученной таким образом связной области из (4.16) и (4.14) получим:

$$|w_k(z)| < C_{23}\delta_k, \tag{4.17}$$

 $C_{23}$  не зависит от z и k. Двлее, функция

$$w_k(z) \cdot \prod_{j=1}^n \frac{\Phi(z) - \lambda_j^j}{1 - \Phi(z)\lambda_j^n}$$

будет аналитической в области  $G^\infty$  и по модулю меньше  $\delta_8$  на границе  $\Gamma$ , поэтому

$$|w_k\left(z\right)|^2 < \delta_k^2 \exp\left\{\left(\|\Phi\left(z\right)\|^2 - 1\right) \sum_{j=1}^n \frac{\|\lambda_j^*\|^2 - 1}{\|\Phi\left(z\right) - \lambda_j^*\|^2}\right\}, \quad z \in G^*.$$

Теперь, если взять линии уровня  $|\Phi(z)| = 1 + \delta$  и  $|\Phi(z)| = R$ , окружить находящиеся между ними точки  $\lambda_j$  замкнутыми кривыми  $|\Phi(z) - \lambda_j^*| = \delta$ , то в полученной связной области будем иметь оценку вида (4.17). Очевидно эта оценка будет иметь место и в окрестности-L. Теорема доказана.

Ереванский Государственный университет

Поступило 18 111 1958

#### 1. U. Քոչաթյան

## ԿՈՄՊԼԵՔՍ ՏԻՐՈՒՅՔՈՒՄ ՌԱՑԻՈՆԱԼ ՖՈՒՆԿՑԻԱՆԵՐՈՎ ՄՈՏԱՎՈՐՈՒԹՅՈՒՆՆԵՐԻ ՄԱՍԻՆ

### игфпфпри

Ներկա աշխատության մեջ ուսումնասիրվում են կոմպլեքս փոփոխականի ֆունկցիաները արված բևեռներն ունեցող ռացիոնալ կոտորակներով մոտարկելու և ըստ ռացիոնալ կոտորակների շարքի վերածելու Տարցերը։

Աշխատությունը րաղկացած է 4 պարագրաֆից։ Առաջին պարադրաֆում բերվում է Ուոլշի [3]  $\{\Phi_n(z)\}$  ռացիոնալ ֆունկցիաների օրքոնորմալ սիստեմով Ֆուրլեի շարջի մասնակի գումարների շիղման դնահատականը և դիտարկվում են շարջի ղուղամիտության օրինակներ այն դեպքում, երբ բևնուները միավոր շրջանագծի վրա ունեն սահմանային կետեր։ Դիցուք  $\{\Phi_n(z)\}$ -ի բևնոները գտնվում են  $\{\alpha_k\}$   $(|\alpha_k|<1)$  և  $\{\beta_k\}$   $(|\beta_k|>1)$  կետերում։ Ապացուցվում է հետևյալ թեորեմը.

Թևորևս 1. Եթև |z|=1 միավոր շրջանագծի վրա արված f(z) անընդնատ ֆունկցիան ունի Լիպշիցի  $\alpha>0$  պայմանին բավարարող p>0 կարգի ածանցյալ, ապա

$$\max_{|z|=1}\left|f(z)-\sum_{k=-m}^nC_k\Phi_k(z)\right|=0\left\{\lg\gamma_{n,m}[\varepsilon_{n,m}]\lg\varepsilon_{n,m}|]^{\rho+a}\right\},$$

որահղ

$$\begin{split} C_k &= \int_{-\pi}^{\pi} f\left(e^{it}\right) \, \overline{\Phi_k\left(e^{it}\right)} \, dt, \\ \gamma_{n,m} &= \sum_{k=0}^{n} \left(1 - |a_k|\right)^{-1} + \sum_{k=1}^{m} \left(1 - \frac{1}{|\beta_k|}\right)^{-1}, \\ z_{n,m} &= \left[1 + \sum_{k=0}^{n} \left(1 - |a_k|\right)\right]^{-1} + \left[1 + \sum_{k=1}^{m} \left(1 - \frac{1}{|\beta_k|}\right)\right]^{-1}. \end{split}$$

Երկրորդ պարագրաֆում ստացված են փակ տիրուլքում կամ միայն ժորդանյան փակ կորի վրա արված ֆունկցիաների՝ տվյալ բենոներն ունեցող ռացիոնալ կոտորակներով լավադույն ժոտավորությունների գնածատականներ քիցուջ D երկկապ տիրուլքը սահմանափակված է  $\Gamma_1$  և  $\Gamma_2$  ժորդանյան փակ դժերով ( $\Gamma_3$ -ն ընդդրկում է  $\Gamma_2$ -ը)։  $\Gamma_4$ -ի արտաջին մասը միավոր շրջանի արտաջին մասի վրա արտապատկերող ֆունկցիան նշանակենք  $\Phi(z)$ -ով, իսկ  $\Gamma_2$ -ի նհրոր միավոր շրջանի միրս արտագանինող ֆունկցիան՝ F(z)-ով։ Այս պարագրաֆի հիմնական արդյունքն է՝

Թևորևան 4. Գիցուը f պայմանին [8] բավարարող D երկկապ տիրույթում արված f(z) ֆունկցիան անալիտիկ  $\mathbf{k}$  D-ում, իսկ  $\overline{D}$  փակ տիրույթում բավարարում  $\mathbf{k}$  Լիպչիցի  $\mathbf{a} > 0$  պայմանին։ Այդ դեպբում գոյություն կունենա  $\Gamma_1$ -ից դուրս գտնվող  $\lambda_1, \, \lambda_2, \cdots, \, \lambda_n$  և  $\Gamma_2$ -ի ներսը գտնվող  $\mu_1, \, \mu_2, \cdots, \, \mu_m$  կետերում բևեռներ ունեցող այնպիսի R(z) ռացիոնալ ֆունկցիա, որ

$$\max_{z\in \bar{D}} |f(z) - R(z)| \leq C_{12} \left( \left[ \varepsilon_n(\lambda^*) \left( \lg \varepsilon_n(\lambda^*) \right) \right]^{\alpha} + \left[ \varepsilon_m^* \right) \left( \lg \varepsilon_m(\mu^*) \right) \right]^{\alpha} \right),$$

որտեղ

$$\lambda_k \Phi(\lambda_k), \quad \mu_k = F(\mu_k),$$

$$\varepsilon_{n}\left(\lambda^{*}\right) = \left[1 + \sum_{k=1}^{n} \left(1 - \frac{1}{\left|\lambda_{k}\right|}\right)\right]^{-1}; \qquad \varepsilon_{m}\left(\mu^{*}\right) = \left[1 + \sum_{k=1}^{m} \left(1 - \left|\mu_{k}^{*}\right|\right)\right]^{-1}.$$

Երրորդ պարագրաֆում, որոշ սահմանափակումների դեպքում, արվում են Մ. Մ. Ջրրաշլանի [1] կառուցած ռացիոնալ ֆունկցիաներով շարքի մասնակի դումաբների շեղման դնահատականներ այն դեպքում, երբ մոտարկումը կատարվում է փակ տիրուլթում կամ ժորդանյան փակ կորի վրա։ Ապացուցվում է՝

Թևորեմ 8, Եթե f(z) ֆունկցիան անալիտիկ և j պայմանին բավարարող D Երկկապ աիրույթում, բավարարում և Լիպշիցի z>0 պայմանին  $\overline{D}$ -ում, ապա

$$\begin{aligned} \max_{z \in \widetilde{D}} \left| f(z) - \sum_{k=1}^{m} a_k M_k(z) - \sum_{k=1}^{n} b_k N_k(z) \right| < \\ < C_{10} \left\{ \left[ 1 + \pi + \lg \sum_{k=1}^{m} \left( 1 - \frac{1}{|\lambda_k^*|} \right)^{-1} \right] \left[ \varepsilon_m(\lambda^*) | \lg \varepsilon_m(\lambda^*) | \right]^{\alpha} + \\ + \left[ 1 + \pi + \lg \sum_{k=1}^{n} \left( 1 - |\mu_k^*| \right)^{-1} \right] \left[ \varepsilon_n(\mu^*) | \lg \varepsilon_n(\mu^*) | \right]^{\beta} \end{aligned}$$

 $(a_k, b_k$  qapamihyahpp b.  $M_k(z), N_k(z)$  \$malyahwahpp ambalwafud ba 6 b. 7 [thaphiffshpand]:

Չորրորդ պարադրաֆում բերվում են ռացիոնալ ֆունկցիաներով մոտավորությունների հակադարձ թեորեններ։ Դրանցից հիմնականն է՝

Phanka 13. Physica

$$\sum_{k=1}^{\infty} \left(1 - \frac{1}{|\lambda_k^*|}\right) < + \infty \qquad \text{ in } \quad \sum_{k=1}^{\infty} \left(1 - |\mu_k^*|\right) < + \infty$$

և ժորդանյան  $\Gamma$  փակ կորի մի L աղեղ չի պարունակում  $\{\lambda_k\}$  և  $\{\mu_k\}$  ճաջորդականությունների սանմանային կետեր։ Եթե  $\Gamma$  եզրի վրա անընդնատ f(z) ֆունկցիայի ճամար գոյություն ունի  $\{\lambda_k\}$  և  $\{\mu_k\}$  բևեռներով  $\{R_k(z)\}$  ռացիոնալ ֆունկցիաների այնպիսի ճաջորդականություն, որ

$$\max_{z \in \Gamma} |f(z) - R_n(z)| \to 0, \quad n \to \infty,$$

ապա f(z) ֆունկցիան L-ի վրա կլինի անալիտիկ, իսկ հզրի նհրսում և գրսում կլինի մերոմորֆ՝ միայն  $(\lambda_k)$  և  $(\mu_k)$  բևհռնհրով։

#### ЛИТЕРАТУРА

- Джербашян М. М. О разложении аналитических функций в ряд по рациональным функциям с заданным множеством полюсов, Изв. АН АрмССР, серня Ф.-М. наук, том X, № 1, 1957.
- Джербашин М. М. К теории рядов Фурье по рациональным функциям. Изв. АН АрмССР, серия ФМЕТ наук, том IX. № 7, 1-56.
- Walsh J. L. Interpolation and approximation by rational functions in the complex domain. New York, 1935.
- Джербашян М. М. М-ргелян С. Н. О наилучших приближениях рациональными функциями. ДАН СССР, т. 99, № 5, 1954.
- Sewell W. E. Rev. scienc. 41, 435-451, 1939.
- 6. Elliott H. M Proc. Am. Math. Soc. 4, 161-167, 1953.
- Walsh J. L. Note on degree of approximation to analitic functions by rational functions with preassigned poles. Proc. Nat. Acad. USA, 42, N 12, 1956.
- Альпер С. Я. О равномерных приближени«х функций комплексного переменного в замкнутой области. Изв. АН СССР, ссрия мат., т. 19, № 6, 1955.
- 9. Бернштейн С. Н. Экстремальные свойства полиномов. М.-Л., 1937.

3-рарип-ишрыйши, артпериябые XI, № 4, 1958 Физико-математические науки

**МАТЕМАТИКА** 

#### В. А. Тонян

# О взвешенно-полиномиальном приближении на действительной оси

## Введение

Аппроксимационная проблема Бернштейна\* заключается в отыскании необходимых и достаточных условий, при которых

$$\inf_{\{P\} \to \infty} \sup_{\langle x < \infty} \{h(x) | f(x) - P(x) | \} = 0,$$

где h(x) — некоторая фиксированная функция, удовлетворяющая условию  $\lim_{x\to\infty} x^n h(x)=0; \ n=0,\ 1\cdots$ , функция f(x) определена и не-

прерывна на действительной оси и удовлетворяет условию

$$\lim_{\pm x \to \infty} f(x) h(x) = 0.$$

В 1954 г. С. Н. Мергеляном [1] было доказано, что для полноты системы полиномов с произвольным неотридательным измеримым весом h(x) необходимо и достаточно, чтобы интеграл

$$\int_{-\infty}^{+\infty} \frac{\sup \ln |P(x)|}{1+x^2} dx$$

расходился; верхняя грань берется по всевозможным полиномам удовлетворяющим условию  $h(x) | P(x) | \le 1 + |x|$ .

Первые результаты о связи между свойствами аппроксимируемой функции f(x), скоростью убывания се наилучших приближений

$$E_n(f, h) = \inf_{\substack{(P_n(x)) - \infty < x < \infty}} \{h(x) | f(x) - P_n(x) \}$$

и свойствами весовой функции h(x) были получены в 1952 г. М. М. Джрбашяном. Им установлены прямые и обратные теоремы о наилучших приближениях дифференцируемых функций. Примером его прямых теорем может служить следующая [5]:

<sup>\*</sup> В этой статье мы не будем касаться истории вопроса, достаточно полноизложенной в обзорных статьях, вышедших в последние годы; см. например [2], [3], [4].

А) Если f(x) — функция непрерывная и ограниченная на всей оси —  $\infty$  < x <  $\infty$  вместе со своими производными до порядка k > 1 включительно, то при  $\lambda > 1$ 

$$E_n\Big(f,\ e^{-\left|x\right|^{\lambda}}\Big) \leqslant \frac{C}{n^{\frac{\lambda-1}{\lambda}k}},$$

где С - некоторая постоянная не зависящая от п.

Впоследствии [2] ему удалось получить более общий результат, чем сформулированный выше, а именно:

. В) Если f(x) непрерывна и ограничена на оси  $-\infty < x < \infty$  вместе со своими производными до порядка k > 1 включительно, причем

$$V \operatorname{rai} \max_{-\infty < x < \infty} |f^{(k)}(x)| \leq m_k,$$

то при весе  $h(x) = e^{-p(x)}$ , удовлетворяющем условиям

$$xp'(x) \uparrow \infty; \quad x\frac{p'(x)}{p(x)} \geqslant a > 1; \quad x > 1$$

u npu n > N

$$E[f, e^{-\rho(x)}] \leq \frac{\pi m_k}{\rho^k} \mu_n^{-k},$$

$$z \partial e \ \mu_n = \int_1^n \frac{dy}{q(y)}; \ x = q(y) - функция, обратная  $y = p(x); \ p > 0$$$

некоторая константа, не зависящая от f(x).

В то время, как обратные теоремы, полученные М. М. Джрбашяном сформулированы для произвольной весовой функции, обеспечнвающей полноту, в прямых теоремах, по замечанию самого автора, "на приближаемую функцию и на вес приходится накладывать ограничения, которые отнюдь не необходимы для полноты полиномов на оси" [2].

Настоящая статья посвящена взвешенно-полиномиальным приближениям на вещественной оси и оценке убывания наилучших приближений в зависимости от свойств аппроксимируемой функции для широкого класса весовых функций.

Ниже, например, приводятся теоремы об оценке наилучших приближений в которых:

- в качестве веса рассматривается произвольная нормально убывающая функция (теоремы III, IV);
- допускается рост как аппроксимируемой функции, так и ее производной (теоремы 1, 11).

Изложению основных результатов предпошлем некоторые вспомагательные предложения.

#### § 1. Вспомогательные предложения

 $n^{\circ}$  1.1. Лемма. Если  $\lambda > 1$  и  $\zeta = \xi + i\eta$ ;  $1 > \eta > 0$ , то

$$E_n\left(\frac{1}{\zeta-x}, e^{-|x|^{\lambda}}\right) \leqslant \frac{1}{\eta} e^{-c\eta n^{\frac{\lambda-1}{\lambda}}}.$$

где С — абсолютная константа (> 0,04).

Доказательство.

Составим целую функцию

$$G_{m,\zeta}(z) = \frac{e^{-im(z-\xi)} - e^{m\eta}}{(z-\xi)e^{m\eta}}.$$

Как легко убедиться при заданном  $\delta > 0$  и надлежаще выбранном целом m > 0 эта целая функция приближает на всей оси  $-\infty < x < \infty$  ядро Коши  $(\zeta - x)^{-1}$ :

$$\left|G_{m,\,\zeta}(x) - \frac{1}{\zeta - x}\right| \leqslant \delta, -\infty < x < \infty$$

при

$$m = \left[\frac{1}{\eta} \ln \frac{1}{\delta \eta}\right] + 1. \tag{1.1.1}$$

Оценим рост функции  $G_{m,z}(z)$ . Пусть z — произвольная точка с условием  $|Imz| > \eta + 1$ .

Тогла

$$|G_{m,\zeta}(z)| \leq 1 + \delta e^{m|y|}$$
.

Оценим теперь  $G_{m,\,\varsigma}(z)$  в полосе  $|Imz| \leqslant \eta + 1$ . На границе полосы имеем, очевидно,

$$|G_{m,\varsigma}(z)| \leq 1 + \delta e^{m(\eta+1)}.$$

По теореме Фрагмена-Линделефа эта же оценка имеет место везде внутри полосы. Таким образом всюду выполняется

$$|G_{m,\zeta}(z)| \le 1 + \delta e^{m(|Imz|+2)}$$

и учитывая значение т, выбранное в (1.1.1) можем написать

$$|G_{m, \tau}(z)| \le 2\delta e^{m(|Imz|+2)}$$
 (1.1.2)

Легко проверить, что если  $P_{n,\,\xi}(z)=\sum_{0}^{n}a_{k}z^{k}-$  отрезок ряда тейлоровского разложения целой функции  $G_{m,\,\xi}(z)$  вокруг начала, то для любого R>0, пока произвольного, при  $|z| \leqslant \frac{R}{e}$  и  $n=\left[\frac{C_1R}{\eta}\ln\frac{1}{\delta\eta}\right]+1$ .

$$\left|P_{a,\zeta}(x)-\frac{1}{\zeta-x}\right|\leqslant 2\delta,$$

где  $0 < C_1 < 3$  — абсолютная постоянная.

Для оценки  $e^{-|x|^{\lambda}} \left| P_{n,\zeta}(x) - \frac{1}{\zeta - x} \right|$  вне  $|x| < \frac{R}{e}$  заметим, прежде всего, что для полинома  $P_{n,\zeta}(z)$  имеем, учитывая (1.1.2)

$$|P_{n,c}(z)| \leq 4\delta e^{4m|z|}$$

и для выполнения неравенства

$$\left. e^{-|x|^{\lambda}} \right| P_{n,\,\zeta}(x) - \frac{1}{\zeta - x} \right| \leqslant 2\delta \quad \text{при} \quad |x| \gg \frac{R}{e}$$

достаточно выбрать  $R = C_2 m^{\frac{1}{\lambda-1}}$  где  $0 < C_2 < 8$ . Таким образом если положить

$$n = \left[ C_1 C_2 \left( \frac{1}{\eta} \ln \frac{1}{\delta \eta} \right)^{\frac{\lambda}{\lambda - 1}} \right] + 1,$$

то полином  $P_{n,\zeta}(z)$  при рассматриваемом весе будет отклоняться от функции  $(\zeta - x)^{-1}$  на всей вещественной оси не больше, чем на  $\delta$ .

Теперь утверждение деммы вытекает непосредственно из решения последнего уравнения относительно 8.

 $n^{\circ}$  1.2. Имея полином, приближающий ядро Коши, теперь нетрудно приблизить и функцию, представляемую интегралом типа Коши. Пусть  $F(\zeta)$  — функция, заданная на отрезке

$$L_R': z = x + i\mu; \quad \mu > 0; \quad -R \leqslant x \leqslant R.$$

Тогда для ее преобразования Коши

$$I_{L_{R}^{+}}(z) = \frac{1}{2\pi i} \int_{L_{R}^{+}}^{\cdot} \frac{F\left(\zeta\right) d\zeta}{\zeta - z}$$

нмеем

$$E_n\left[I_{L_R'}(x), e^{-|x|^{\lambda}}\right] \leqslant \frac{R}{\pi \mu} e^{-c\mu n^{\frac{\lambda-1}{\lambda}}} \max_{\xi \in L_R'} |F(\xi)|,$$

что легко проверить, оценив весовую разность

$$e^{-|x|^{\lambda}} |I_{L_{R}}(x) - P_{n}(x)|$$
: .

здесь

$$P_{n}(z) = \frac{1}{2\pi i} \int_{L_{R}^{\prime}} F(\zeta) P_{n,\zeta}(z) d\zeta,$$

где  $P_{\pi,\,\varepsilon}(z)$  — полином, построенный в предыдущей лемме. Для приближения интеграла, распространенного по отрезку

$$L_R$$
:  $z = x - i\mu$ ;  $\mu > 0$ ;  $-R \le x \le R$ 

получим аналогичное неравенство с другим полиномом.

#### Весовое полиномиальное приближение дифференцируемых функций

п° 2.1. Теорема 1\*

Пусть функция f(x) дифференцируема на всей оси

$$|f(x)| < 1$$
  $npu - \infty < x < \infty$   $u$ 

 $\max_{-x < f < x} |f'(t)| \le M(x)$ , morda npu  $\lambda > 1$ 

$$E_n\left(f, e^{-|x|^{\lambda}}\right) \leqslant A\left(\exp\left[-\left(M^{-1}\left(n^{\frac{\lambda-1}{\lambda}-x}\right)\right)^{\lambda}\right] + \frac{\ln^3 n}{n^x}\right).$$

где x-любое число в пределах  $0<x<\frac{\lambda-1}{\lambda}$ , постоянная A не зависит от n.

Доказательство. Без ограничения общности будем считать M(x) > 1.

Распространим функцию f(x) с действительной оси на всю плоскость, определив ее в точке z = x + iy равенством  $f(z) \equiv f(x)$ .

Через D обозначим полосу  $|Imz| \leqslant \mu$ ; L— ее граница;  $D_R$ — прямоугольник  $|x| \leqslant R$ ;  $|y| \leqslant \mu$ , ограниченный отрезками  $L_R$  и  $L_R$  и сторонами  $K_R$  и  $K_R$  параллельными оси y;  $L_R + L_R = L_R$ ;  $K_R + K_R = K_R$ ;  $L_R + K_R = C_R$ .

Для функции f(z) имеем следующее интегральное представление, являющееся аналогом интеграла Коши:

$$\frac{1}{2\pi i} \int_{C_R} \frac{f(t) dt}{t - z} + \frac{1}{2\pi} \int_{\zeta \in D_R} \int_{\zeta}^{f'(\xi)} \frac{1}{z} d\xi d\eta = \begin{cases} 0 & \text{при } z \in \overline{D}_R \\ f(z) & \text{при } z \in D_R, \end{cases}$$
 (2.1.1)

rme  $\zeta = \xi + i\eta$ .

<sup>\*</sup> Формулировки теорем 1 и 2 были опубликованы в заметке [6].

Докажем, что при надлежащем выборе толшины полосы  $\mu$  двойной интеграл может быть сделан меньше выбранного числа  $\delta$ . С этой целью обозначим через  $S_{R,x}$  отрезок действительной осн  $E(|t| \leq R + \mu) \times E(|t-x| \leq \mu)$  и через  $Q_{R,x}$  дополнение  $S_{R,x}$  до отрезка [-R, R]. Тогда

$$\left| \int_{\zeta \in D_R} \frac{f'(\xi) d\xi d\eta}{\zeta - z} \right| \leq \int_{Q_{R,x}} M(\xi) d\xi \int_{-\mu}^{\mu} \frac{d\eta}{|\zeta - z|} + \int_{D_{R,x}} \frac{M(\xi) d\xi d\eta}{|\zeta - z|} = I_1 + I_2,$$

где  $D_{R,\,x}$  — прямоугольник  $|\eta| \leqslant \mu,\, \xi \in S_{R,\,x}$ . Теперь  $I_1 \leqslant C_3 M\left(R\right) \mu \ln \frac{R}{\mu}$ .  $C_3$  — абсолютная постоянная.

Для оценки I<sub>2</sub> пользуемся следующим утверждением:

Из всех областей B площади A максимум интегралу  $\int\limits_{\zeta\in B}\int\limits_{\zeta\in B}\frac{d\overline{\varepsilon}d\eta}{|\zeta-z|}$ 

сообщает круг  $|\zeta-z| \leqslant \sqrt{\frac{A}{\pi}}$ 

Для нашего случая  $I_2 < C_4 M(R) \mu$ ;  $C_4$  — абсолютная постоянная. Таким образом, чтобы было всюду

$$\frac{1}{2\pi} \left| \int_{\xi \in D_R} \int_{\xi - z}^{f'(\xi)} d\xi d\eta \right| < \delta$$
 (2.1.2)

достаточно положить

$$C_5 M(R) \mu \ln \frac{R}{\mu} = \delta, \qquad (2.1.3)$$

T. C.

$$\mu = \frac{C_6 \delta}{M(R) \ln \frac{RM(R)}{\delta}} \cdot = (2.1.4)$$

 $C_5$  и  $C_6$  — абсолютные постоянные.

Для дальнейшего нам необходима также оценка интегряла

$$I_{K_R}(x) = \frac{1}{2\pi i} \int_{K_R} \frac{f(t) dt}{t - x} = I_{K_R'} + I_{K_R'},$$

Для  $I_{K_R}$  имеем

$$I_{K_R} = \frac{1}{2\pi i} f(R) \int_{-\mu}^{\mu} \frac{i\eta}{R - x + i\eta} = \frac{f(R)}{\pi} \operatorname{arctg} \frac{\mu}{R - x}$$

Аналогично вычисляем  $I_{K_R}$ . Таким образом

$$|I_{K_R}(x)| \leqslant 1$$
 при  $-\infty < x < \infty$ 

н, в силу (2.1.4)

$$|I_{K_{R}}(x)| \le \delta$$
 при  $|x| \le R - 1$ . (2.1.5)

Учитывая (2.1.1) и (2.1.2) получим

$$|I_{L_R}(x)+I_{K_R}(x)-f(x)|\!\leqslant\! \mathfrak{d}\quad \text{nph}\quad |x|\!\leqslant\! R-1,$$

откуда, в силу (2.1.5), имеем

$$|I_{L_R}(x)-f(x)|\!\leqslant\!2\delta\quad \text{при}\quad |x|\!\leqslant\!R-1.$$

Последнее неравенство с учетом n°1.2, дает

$$e^{-|x|^{\lambda}}|f(x)-P_n(x)|\leqslant 2\delta+E_n(\lambda,\mu,R)\quad \text{при}\quad |x|\leqslant R-1,$$

где

$$E_n(\lambda, \mu, R) = \frac{R}{\pi \mu} e^{-c\mu n \frac{\lambda-1}{\lambda}}$$

С другой стороны вне отрезка  $|x| \le R - 1$  вещественной оси имеем

$$e^{-|x|^{\lambda}}$$
 $|f(x) - P_n(x)| \le E_n(\lambda, \mu, R) + C_2 e^{-R^{\lambda}}$ 

в, следовательно.

$$e^{-|x|^{\lambda}}|f(x)-P_n(x)| \leq C_8(\delta+E_n+e^{-R^{\lambda}})$$
 при  $-\infty < x < \infty$ .

Это неравенство справедливо для всех значений 8 и R, которые сейчас выберем оптимальным образом.

Покажем, что сумма первых двух слагаемых в правых скобках последнего неравенства при надлежащем выборе 8 не превосходит

$$C_0\mathcal{M}(R) n^{\frac{1-\lambda}{\lambda}} \ln^2 n$$
.

В самом деле, положим

$$E_n = \frac{R}{\pi \mu} e^{-C\mu n \frac{k-1}{\lambda}} = \frac{M(R)}{n^{\frac{k-1}{\lambda}}}.$$

Решив это уравнение относительно  $\mu$  и учитывая, что в дальнейшем выбор R будет таким, что  $\frac{n^{\frac{2^{\frac{\lambda-1}{\lambda}}}{\lambda}}}{M(R)}$   $\to$   $\infty$ , а так же соответствующее значение  $\delta$  по (2.1.3), получим

$$\delta + E_n \leqslant C_9 M(R) n^{\frac{1-\lambda}{\lambda}} \ln^2 n.$$

Теперь можем написать

$$E_n(f, e^{-|x|^{\lambda}}) \leqslant A \inf_{R} \left\{ M(R) n^{\frac{1-\lambda}{\lambda}} \ln^2 n + e^{-R^{\lambda}} \right\}.$$

где A не зависит от n.

Для завершения доказательства теоремы остается заметить, что правая часть нужной нам оценки является мажорант оидля получен-

ной нижней грани, в чем легко убедиться, положив M(R)  $n^{-1}=n^s$ . где \* — любое число в пределах  $0<*<\frac{\lambda-1}{\lambda}$ 

п° 2.2. При конкретном задании роста аппроксимируемой функции можно дать в явном виде более точную оценку для убывания наилучших приближений.

Так, например, если  $M(R) = R^*$ , то

$$E_n(f, e^{-|x|^{\lambda}}) \leq An^{\frac{1-\lambda}{\lambda}} (\ln n)^{\frac{\alpha}{\lambda}+2}$$

При  $M(R) = e^{R^{\circ}}$ ;  $\alpha < \lambda$ 

$$E_n(f,e^{-|x|^{\lambda}}) \leqslant An^{\frac{1-\lambda}{\lambda}}e^{(\ln n)\frac{a}{\lambda}} \cdot \ln^2 n \left( \leqslant \frac{A(\varepsilon)}{\frac{\lambda-1}{\lambda}-\epsilon};$$
 где  $\varepsilon$  — любое малое $\right)$ .

Если  $M(R) = e^{R^{\alpha}}$ ;  $\alpha \gg \lambda$ ;

$$E_n(f, e^{-|x|^{\lambda}}) \leqslant \frac{A(\varepsilon)}{e^{(\ln n)^{\frac{\lambda}{n} - \varepsilon}}} \Big( \leqslant \frac{A(\varepsilon, N)}{(\ln n)^N} \Big),$$

где  $\varepsilon > 0$  как угодно мало, N > 0 как угодно велико.

п° 2.3. В случае когда растет не только производная аппроксимируемой функции, но и сама функция, и для более общей весовой функции имеет место

Теорема 2. Пусть  $\acute{h}(x)$  — произвольная четная функция удовлетворяющая условию

$$\frac{1}{\mid x \mid} \ln \frac{1}{h\left(x\right)} = \varphi\left(x\right) \to \infty \quad \text{при} \quad \pm x \to \infty;$$

 $\begin{aligned} x &= \vartheta \left( y \right) - \phi \text{ ункция, обратная } \kappa \ y = x \circ \left( x \right). \ \Pi \text{ усть, далее,} \\ \max_{-x \leqslant t \leqslant x} |f(t)| &\leqslant M_1(x); \ \max_{-x \leqslant t \leqslant x} |f'(t)| \leqslant M_2(x); \ M_1(x) \cdot h\left( x \right) = M_3(x). \end{aligned}$ 

Тогда

$$E_n(f, h) \leq A \{M_3 [M_2^{-1} ([\vartheta(n)]^{1-x})] + [\vartheta(n)]^{-x}\},$$

где x—любое число в пределах 0 < x < 1; A — не зависит от n.

Доказательство теоремы 1 без больших изменений распространяется и на теорему 2.

Заметим, что из первой или второй теорем в условиях применимости приведенной выше теоремы А) М. М. Джрбашяна получается

несколько более слабое утверждение, а именно  $E_a(f,e^{-|x|^{\lambda}}) \leqslant Cn^{\frac{i-\lambda}{\lambda}+a}$ , где  $\epsilon > 0$  сколь угодно малое число.

п° 2.4. Оценки наилучших приближений дифференцируемых функций при произвольном нормально убывающем весе.

В следующих двух теоремах, в качестве веса рассматривается произвольная пормально убывающая функция  $h\left(x\right)$ .

$$\left[\frac{1}{h(x)} = \Phi(x) \in N, \text{ если } \frac{d \ln \Phi(x)}{d \ln x} \uparrow \infty \text{ при } x \to \infty\right].$$

Доказательство этих теорем аналогично доказательству теоремы  $n^{\circ}$  1.1 используется следующая оценка принадлежащая С. Н. Мергеляну и М. М. Джрбашяну\*.

При 
$$\frac{1}{h(x)} \in N$$

$$E_n\left(\frac{1}{\xi-x}, h\right) \leq \frac{C|\zeta|}{n} \exp\left\{-\frac{C\eta}{1+|\zeta|^2} v_n\right\}; \zeta = \xi + i\eta; \eta \neq 0,$$

здесь

$$v_n = \int_{0}^{C_0 P^{-1}(n)} \frac{P(t) dt}{1 + t^2},$$

еде  $P(t) = -\ln h(x)$ ; C > 0 н  $C_0 > 0$  не зависят от n.

Фигурирующие в этой оценке числа у при определенных не существенных дополнительных ограничениях на весовую функцию эквиваленты числам р, приведенной выше теоремы В) М. М. Джрбащяна.

Teopema 3. Пусть f(x) — функция, удовлетворяющая условиям теоремы I;

morda npu 
$$\frac{1}{h(x)} \in N$$

$$E_n(f, h) \leq A(h[\psi^{-1}(v_n^{1-x})] + v^{-x}\ln^2 v_n),$$

где  $\psi(x) = x^2 M(x); \ x - n poизвольное число в пределах <math>0 < x < 1;$  A не зависит от n.

<sup>\*</sup> Идею получения этой оценки мне сообщил в устной беседе С. Н. Мергелян,

Teopema 4. Пусть f(x) — функция, удовлетворяющая условиям теоремы 2; тогда

$$E_n(f,h) \ll A\{M_3[\phi^{-1}(v_n^{1-x})] + v_n^{-x}\},$$

где  $\psi(x) = x^2 M_2(x)$ ; x - произвольное число в пределах <math>0 < x < 1: А не зависит от n.

#### § 3. Оценка убывания наилучших приближений для нормально убывающего веса в одном классе недифференцируемых функций

Теорама 5. Пусть функция f(x);  $|f(x)| \le 1$  равна нулю при |x| > R и имеет на отрезке [-R, R] модуль непрерывности  $\omega$  (3). Тогда

$$E_n(f, h) \leqslant AR^{\frac{3}{2}} \omega \left(v_n^{\frac{1-s}{2}}\right),$$

где s > 0 — произвольное малое число, A — не зависит от n.

Доказательство. Распространим функцию f(x) с действительной оси на всю плоскость пологая f(z) = u(z) + iv(z) = f(x). Следуя С. Н. Мергеляну [7] введем функции

$$K_{\delta}\left(r
ight) = \begin{cases} rac{3}{\pi\delta^{2}} \left(1 - rac{r}{\delta}\right) & \text{для } 0 < r \leqslant \delta \\ 0 & \text{для } r > \delta \end{cases}$$

$$U_{\delta}+iv_{\delta}=\Phi_{\delta}\left(z\right)=\int\limits_{\left|\zeta-z\right|<1}f\left(\zeta\right)K_{\delta}\left(\left|\zeta-z\right|\right)d\xi d\eta;\;\;\zeta=\xi+i\eta.$$

где  $\delta < 1$  — некоторое положительное число.

В цитированной выше работе доказываются следующие свойства введенных сейчас функций

1. 
$$|\Phi_{\delta}(z) - f(z)| \le \omega(\delta)$$
 при  $|x| < R$ ;  
2.  $\left|\frac{\partial u_{\delta}}{\partial x} - \frac{\partial v_{\delta}}{\partial y} + i\left(\frac{\partial u_{\delta}}{\partial y} + \frac{\partial v_{\delta}}{\partial x}\right)\right| \le \frac{12\omega(\delta)}{\delta}$ ;

3. Если f(z) аналитична в  $\delta$  — окрестности точки z, то  $\Phi_{\delta}(z) = f(z)$ ;  $3^*$ . В нашем случае  $\Phi_{\delta}(z) = 0$  при  $|x| > R + \delta$ .

Пусть теперь L—граница полосы толщиной  $2\mathfrak{p}$ , симметричной относительно действительной оси;  $D_R$ —прямоугольник  $|y| \leq \mathfrak{p}$ ;  $|x| \leq R$ , тогда для усредненной функции  $\Phi_b(z)$  имеем:

$$\Phi_{\delta}(x) = \frac{1}{2\pi i} \int_{1}^{\infty} \frac{\Phi_{\delta}(t) dt}{t - x} + \frac{1}{2\pi} \int_{D_{R+\delta}}^{\infty} \frac{\frac{\partial u_{\delta}}{\partial x} - \frac{\partial v_{\delta}}{\partial y} + i \left(\frac{\partial u_{\delta}}{\partial y} + \frac{\partial v_{\delta}}{\partial x}\right)}{\zeta - x} d\zeta d\eta;$$

$$-\infty < x < \infty.$$

Учитывая перечисленные выше свойства, замечание, сделанное на стр. 8, относительно двойного интеграла и оценки п° 1.2, в применении к весу  $\frac{1}{h(x)} \in N$ , можем написать:

$$\begin{split} E_n(f, h) &\leqslant h(x) |f(x) - P_n(x)| \leqslant h(x) |f(x) - \Phi_\delta(x)| + \\ &+ h(x) |\Phi_\delta(x) - \frac{1}{2\pi i} \int_{\mathcal{E}} \frac{\Phi_\delta(t) dt}{t - x} \Big| + h(x) \Big| \frac{1}{2\pi i} \int_{\mathcal{E}} \frac{\Phi_\delta(t) dt}{t - x} - P_n(x) \Big| \leqslant \\ &\leqslant C \left[ \omega(\delta) + \frac{\omega(\delta)}{\delta} \sqrt{\mu R} + \frac{R^2}{\mu} e^{\frac{-\mu v_n}{R^2}} \right], \end{split}$$

где С - абсолютная константа.

Пользуясь произвольностью  $\mu$  в  $0 < \delta < 1$ , положим  $\delta = \sqrt{\mu R}$  , тогдя

$$E_n(f, h) \leq C \left[ w(\delta) + \frac{R^2}{\delta} e^{-\frac{D}{R^2} \gamma_0} \right].$$

Теперь пусть  $\frac{\delta^2}{R^3} v_a = v_a^c$ , где  $\epsilon > 0$  — произвольное малое число. Тог-да первое слагаемое справа является главным откуда и следует до-казываемое утверждение.

§ 4. Влияние аналитичности аппроксимируемой функции в некоторой области, содержащей действительную ось, а также метряческих свойств этой области на скорость убывания наилучших весовых приближений на оси

М. М. Джрбашяном [2] было установлено, что при весе, обеспечнвающем полноту из достаточно быстрого убывания взвещеннонаилучших приближений данной функции следует ее аналитичность в некоторой бесконечной области.

В цитированной работе им устанавливается так же и обратная теорема при дополнительных предположениях относительно весевой функции для полосы. А именно доказывается, что

Если f(z) голоморфна и ограничена в полосе  $|Imz| \le d$  и если определенная на всей оси  $-\infty < x < \infty$  четная функция y = P(x) удовлетворяет условию

$$\frac{xp'(x)}{p(x)} > a > 1 \quad npu \quad x > x_0 > 0,$$

mo

$$E_n\left(f,\ e^{-p(x)}\right) \leqslant A \exp\left\{-zd\int_0^n \frac{dy}{q(y)}\right\} \quad (n>1).$$

где A>0 и >>0 — постоянные, не зависящие от п.

В следующих теоремах нас интересует оценка убывания навлучших приближений на оси при произвольном нормально убывающем чесе для функций, регулярных в бесконечных областях специального вида и, в частности, в полосе.

T е о p е м a 6. Пусть функция f(z) регулярна в полосе  $|Imz| \leqslant \frac{a}{2}$ ; a < 1 и такова, что  $|f(z)| \leqslant \lambda(r) |Imz| \leqslant \frac{a}{2}$ ,  $|z| \gg r$ .  $1 \gg \lambda(r) \to 0$  при  $r \to \infty^*$ .

Тогда при  $\frac{1}{h(x)} \in N$ 

$$E_n(f,h) \leqslant A\left(\lambda\left(a^{\frac{1}{2}\frac{1-\lambda}{2}}, y_n\right) + e^{-cv_n^*}\right),$$

где 0 < x < 1; A и C > 0 не зависят от n.

Доказательство.

Выберем пока произвольное значение R>0 и обозначим через  $L_R$  и  $L_R^{\pm\infty}$  части границы  $|Imz|=\frac{a}{2}$ , лежащие соответственно в полосе  $Rez\!\ll\!R$  и вне этой полосы. Тогда

$$f(z) = \frac{1}{2\pi i} \int\limits_{L_{R}} \frac{f(t) \, dt}{t-z} + \frac{1}{2\pi i} \int\limits_{L_{R}^{\pm \infty}} \frac{f(t) \, dt}{t-z} = I_{L_{R}}(z) + I_{L_{R}^{\pm \infty}}(z); \quad |\operatorname{Im} z| < \frac{a}{2}.$$

Покажем, что интегралы  $I_{L_{R}^{\pm\infty}}(z)$  равномерно ограничены на всей оси.

Имеем для  $x = R - \frac{a}{2}$ 

$$|I_{L_{R}^{+\infty}}(x)| \leq \left| \frac{1}{2\pi i} \int_{+\infty}^{R} \frac{f\left(t + \frac{ia}{2}\right)dt}{t - x} + \frac{1}{2\pi} \int_{\frac{a}{2}}^{-\frac{a}{2}} \frac{f(R + iy) dy}{R - x + iy} \right| +$$

$$+ \frac{1}{2\pi i} \int_{R}^{\infty} \frac{f\left(t - \frac{ia}{2}\right) dt}{t - x} \left| + \left| \frac{1}{2\pi} \int_{\frac{a}{2}}^{-\frac{a}{2}} \frac{f(R + iy) dy}{R - x + iy} \right| \le \lambda \left(R - 1\right)$$

для 
$$x \gg R - \frac{a}{2}$$

<sup>\*</sup> Требование  $\lambda(r) \to 0$  при  $r \to \infty$ , повидимому, не существенно и может быть сиято.

$$\begin{split} |I_{L_R^{\infty}}(x)| &\leqslant \left|\frac{1}{2\pi i}\int\limits_{+\infty}^{R-a} \frac{f\left(t+\frac{ia}{2}\right)dt}{t-x} + \frac{1}{2\pi}\int\limits_{\frac{a}{2}}^{-\frac{a}{2}} \frac{f\left(R-a-iy\right)dy}{R-a-x+iy} \right. + \\ &+ \left|\frac{1}{2\pi i}\int\limits_{R-a}^{\infty} \frac{f\left(t-\frac{ia}{2}\right)dt}{t-x}\right| + \left|\frac{1}{2\pi}\int\limits_{\frac{a}{2}}^{-\frac{a}{2}} \frac{f\left(R-a+y\right)dy}{R-a-x+iy}\right| + \\ &+ \left|\frac{1}{2\pi i}\int\limits_{R}^{R-a} \frac{f\left(t+\frac{ia}{2}\right)dt}{t-x}\right| + \left|\frac{1}{2\pi}\int\limits_{R}^{R-a} \frac{f\left(t-\frac{ia}{2}\right)dt}{t-x}\right| \leqslant C\lambda\left(R-a\right) \leqslant C\lambda\left(R-1\right). \end{split}$$

Таким образом на всей оси  $|I_{L_R^\infty}(x)| \leqslant G \lambda \, (R-1)$ . Та же оценка имеет место для  $I_{L_R^{-\infty}}(x)$ .

Пользуясь результатом п $^{\circ}$  1.2 в применении к весу  $\frac{1}{h(x)} \in N$  и интегральным представлением функции f(z), можем написать

$$E_n(f, h) \le A \left\{ \lambda(R) + \frac{R^2}{a} e^{-\frac{Ca}{1+R^2} \cdot a} \right\}$$

откуда следует утверждение теоремы, если принять  $R^{\mathbf{z}} = \alpha \mathbf{v}_{n}^{1-\mathbf{x}};$   $0 < \mathbf{x} < 1,$ 

Аналогично доказывается и следующая

Теорема 7. Пусть функция f(z) регулярна в области  $\overline{D}$ , ограниченной кривыми  $L^{\pm}$ :  $y=\pm\,\varphi\,(x)\!\downarrow\!0$  п  $|f(z)|\leqslant \lambda\,(r); \;|z|\geqslant r;$   $z\!\in\!\overline{D};\;1>\lambda\,(r)\to0$  при  $r\to\infty$ .

Тогда при 
$$\frac{1}{h(x)} \in N$$

$$E_n(f, h) \leqslant A \left[ \lambda \left[ \psi^{-1} \left( v_n^{1-x} \right) \right] + e^{-C v_n^x} \right],$$

где 
$$\psi(R) = \frac{R^2}{\varphi(R)}$$
,  $0 < \varkappa < 1$ ,  $A$  не зависит от  $n$ .

Покажем, что существуют области довольно быстро суживающиеся с двух сторон на действительную ось и регулярные в них функции, для которых второе слагаемое в правой части последней теоремы является большим и следовательно определяет скорость убывания наилучших приближений.

Пользуясь оценками Л. Альфорса [8] об искажении отрезков при конформном отображении областей типа полосы на полосу, легко

получить, что предельная скорость убывания не равной тождественно нулю функции, аналитической в области D теоремы 7 имеет порядок

$$-e^{C_y}\int_{\overline{\psi}(x)}^{dx}$$

e , где  $C_0>0$  некоторая константа. Для наилучшего приближения такой функции имеем, согласно теореме 7

$$E_n(f,h) \leqslant A \left\{ e^{-\frac{\psi^{-1}(v_n^{1-\kappa})}{C_0 \int_{0 \in (X)}^{dx}} - Cv_n^{\kappa} \right\}.$$

$$(4.1)$$

Положим  $x = 1 - \varepsilon$ ;  $\varepsilon > 0$ ; тогда

$$\int_{0}^{\bullet} \frac{dx}{\varphi(x)} \geqslant \int_{\frac{1}{2}\psi^{-1}(v_n^{\epsilon})}^{\bullet} \frac{dx}{\varphi(x)} \geqslant \frac{\frac{1}{2}\psi^{-1}(v_n^{\epsilon})}{\frac{1}{2}\psi^{-1}(v_n^{\epsilon})} \cdot \frac{1}{\varphi\left[\frac{1}{2}\psi^{-1}(v_n^{\epsilon})\right]} \cdot$$

Обозначим

$$\frac{1}{2} \psi^{-1}(\nu_n^*) = K, \qquad (4.2)$$

тогда

$$\int_{0}^{\psi^{-1}(v_{n}^{\epsilon})} \frac{dx}{\varphi(x)} \ge \frac{K}{\varphi(K)}$$
4.3

С другой строны, учитывая, значение,  $\psi(x)$  в теореме 7 и (4.2), имеем

$$v_a^{1-\epsilon} = \left[\frac{4K^2}{\varphi(2K)}\right]^{\frac{1-\epsilon}{\epsilon}}.$$
4.4

Теперь, если положить, например,  $\varphi(x) = Ce^{-x}$ , то из (4.3) и (4.4) следует, что при  $n > N_0$  первое слагаемое в правой части (4.1) меньше второго, т. е.

Существуют области, суживающиеся с двух сторон на действительную ось и функции, регулярные в них и стремящиеся к нулю при  $|z| \to \infty$ , для которых при нормально убывающем весе и  $n > N_0$ 

$$E_n(f, h) \leqslant Ae^{-\gamma_n^{1-\epsilon}}$$

А не зависит от n,  $\epsilon > 0$  произвольное малое число.

#### Վ. Ա. Ցոնյան

## ԻՐԱԿԱՆ ԱՌԱՆՑՔԻ ՎՐԱ ԿՇՌՅԱԼ ԲԱԶՄԱՆԴԱՄԱՅԻՆ ՄՈՏԱՐԿՄԱՆ ՄԱՍԻՆ

#### UTOUDOR

Հոդվածում ստացված են գնահատականներ իրական առանցքի վրա կչոլալ լավադույն բազմանդամային մոտավորությունների՝

$$E_n(f, h) = \inf_{\{P_n\} \to \infty < x < \infty} \{h(x) | f(x) - P_n(x)\}$$

թերեր ավազման արադության վերարերյալ, նորմալ նվագող h(x) կչիռների ճամար մոտարկելի f(x) ֆունկցիաների դանադան դասերում։

Ուսումնասիրվում է նաև իրական առանցքը պարունակող որոշ անվերջ աիրույթներում անալիտիկ ֆունկցիաների կշոլալ լավագույն մոտավորու-Թյունների նվազման արագությունը առանցքի վրա, նույն կշիռների դեպքում։

#### ЛИТЕРАТУРА

- 1. Мергелян С. Н. О весовых приближениях многочленами, ДАН СССР, 97, 4, 1954.
- Джрбашян М. М. Некоторые вопросы теории вавешенно-полиномиальных приближений в комплексиой области. Мат. сборник, т. 36 (78); 3, 1935.
- 3. Мергелян С. Н. Весовые приближения многочленими. УМН, П. 5. 107. 1956.
- Ахиезер Н. И. О взвещенном приблажении непрерывных функций многочлепами на всей числовой оси, УМН, XI, 4/70, 1956.
- Джербашян М. М., О взвешено-наилучшем приближении полиномами на вещественной оси ЛАН СССР, 84, 6, 1952,
- Тонян В. А. О взвещенио-полниомнальном приближении дифференцируемых функций, на вещественной оси. ДАН СССР, 105, 1955.
- Мергелян С. Н. Равномерные приближения функций комплексного переменного, УМН, 7, 2:48, 1952.
- L. Ahlfors Untersuchungen zur Theorie der konformen Abbildung und der ganzen Funktionen, Acta Soc. Fenn., N. S. A., τ. 1, № 9, 1930.

## ДИЗЧИЧИТЬ ППО ТРЕПРИЗПРОТОВЕРЬ ИМИТЬПЕР ВРАВНИТЕР ИЗ В ЕСТИЯ ЛКАДЕМИИ НАУК АРМЯНСКОЙ ССР

Зիզիկа-ишрыйши, գիшперјатайы XI, № 4, 1958 Физико-математические науки

теория упругости

Б. Л. Абрамян, А. А. Баблоян

## К изгибу толстых круглых плит осесимметричной нагрузкой

В настоящей статье рассматривается задача об изгибе круглой толстой плиты произвольной осесимметричной нагрузкой, приложенной к ее основаниям.

Плита предполагается закрепленной так, что одна из окружностей на боковой поверхности или какая-либо точка на оси плиты не имеет осевых перемещений, а вся боковая поверхность не имеет радиальных перемещений [1].

Аналогичного типа задачи были рассмотрены в работах Клеммова [2], А. Надан [3], А. И. Лурье [1, 4], В. К. Прокопова [5] и Л. С. Лейбензона [6].

Задача решается методом Фурье, при этом исходя из основных уравнений теории упругости, без каких-либо допущений.

Рассмотрим круглую толстую плиту (или цилиндр) радиуса R и толщины h. Будем пользоваться цилиндрической системой координат и совместим ось z с осью плиты (фиг. 1).

Известно [7], что решение задачи осесимметричной деформациитела вращения сводится к определению функции напряжений  $\Phi\left(r,z\right)$  (r—направление радиуса, z— направление оси вращения), которая в области осевого сечения тела удовлетворяет уравнению

$$\nabla^2 \nabla^2 \Phi = \left( \frac{\partial^2}{\partial r^2} + \frac{1}{r} \frac{\partial}{\partial r} + \frac{\partial^2}{\partial z^2} \right) \left( \frac{\partial^2 \Phi}{\partial r^2} + \frac{1}{r} \frac{\partial \Phi}{\partial r} + \frac{\partial^2 \Phi}{\partial z^2} \right) = 0, \quad (1)$$

а на поверхности тела задается законом распределения напряжений или перемещений.

Напряжения и перемещения при осесимметричной деформации выражаются через функцию напряжений  $\Phi(r,z)$  соотношениями

$$\begin{split} & \sigma_r = \frac{\partial}{\partial z} \bigg( \ \text{nr}^2 \Phi - \frac{\partial^2 \Phi}{\partial r^2} \bigg), \\ & \sigma_\phi = \frac{\partial}{\partial z} \bigg( \ \text{nr}^2 \Phi - \frac{1}{r} \frac{\partial \Phi}{\partial r} \bigg), \end{split}$$

$$\sigma_{z} = \frac{\partial}{\partial z} \left[ (2 - v) \nabla^{2} \Phi - \frac{\partial^{2} \Phi}{\partial z^{2}} \right],$$

$$\tau_{rz} = \frac{\partial}{\partial r} \left[ (1 - v) \nabla^{2} \Phi - \frac{\partial^{2} \Phi}{\partial z^{2}} \right],$$

$$u_{r} = -\frac{1}{2\mu} \frac{\partial^{2} \Phi}{\partial r \partial z},$$

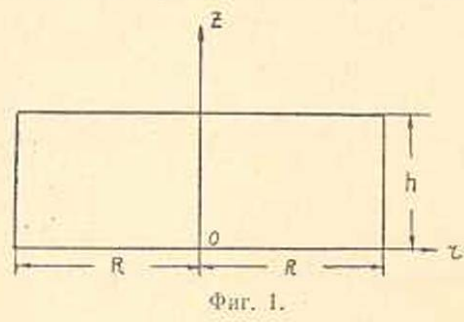
$$u_{z} = \frac{1}{2\mu} \left[ 2 (1 - v) \nabla^{2} \Phi - \frac{\partial^{2} \Phi}{\partial z^{2}} \right],$$
(2)

где и — модуль сдвига, а у — коэффициент Пуассона.

Решая уравнение (1) методом Фурье для круглого сплощного цилиндра, функцию  $\Phi(r, z)$  получим в виде [8, 9]

$$\Phi(r, z) = z (Ar^{2} + Bz^{2} + Cz) + \sum_{k=1}^{\infty} [E_{k}I_{0}(\lambda_{k}r) + G_{k}\lambda_{k}rI_{1}(\lambda_{k}r)] \sin \lambda_{k}z + \sum_{k=1}^{\infty} (A_{k}\sin \mu_{k}z + G_{k}\mu_{k}z + G_{k}\mu_{k}z \sin \mu_{k}z + G_{k}\mu_$$

где  $J_t(x)$  — функция Бесселя i-го порядка первого рода с действительным аргументом,  $I_i(z)$  — функция Бесселя первого рода от мин-



мого аргумента [10],  $\lambda_k = \frac{k\pi}{\hbar}$ . а  $\mu_k$  — корни уравнения

$$J_1(xR) = 0.$$
 (4)

Рассмотрим напряженное состояние круглого цилиндра при следующих граничных условиях

$$u_{r}(R, z) = f_{1}(z) = \frac{g_{0}}{2} + \sum_{k=1}^{\infty} g_{k} \cos \lambda_{k} z$$

$$\tau_{rz}(R, z) = f_{2}(z) = \sum_{k=1}^{\infty} q_{k} \sin \lambda_{k} z$$

$$\sigma_{z}(r, 0) = f_{3}(r) = a_{0} + \sum_{k=1}^{\infty} a_{k} J_{0}(\mu_{k} r)$$

$$\tau_{rz}(r, 0) = f_{4}(r) = \sum_{k=1}^{\infty} c_{k} J_{1}(\mu_{k} r)$$

$$(0 < r < R)$$

$$(0 < r < R)$$

$$\sigma_{x}(r, h) = f_{5}(r) = b_{0} + \sum_{k=1}^{\infty} b_{k} J_{0}(\mu_{k} r)$$

$$\tau_{rx}(r, h) = f_{6}(r) = \sum_{k=1}^{\infty} d_{k} J_{1}(\mu_{k} r)$$

Здесь мы допускаем, что функции  $\{f_i\}$  кусочно-непрерывны и имеют ограниченное изменение в соответствующих интервалах. В силу симметричного распределения внешней нагрузки относительно оси z вмеем также

$$z_{rz}(0, z) = u_r(0, z) = 0.$$
 (6)

Условиями (6) и (5) полностью определяются все напряжения и перемещение  $u_r$ . Перемещение же  $u_z$  определяется с точностью до постоянной C. Для определения последней предполагаем, что перемещения  $u_z$  на окружности  $r=R,\ z=0$  боковой поверхности цилиндра равны нулю

$$u_{\varepsilon}(R, 0) = 0.$$
 (7)

Вычислив по формулам (2) с помощью (3) напряжения и перемещения, получим

$$\sigma_{r}(r,z) = -2 (1 - 2v) A + 6vB - \sum_{k=1}^{\infty} \lambda_{k}^{3} \cos \lambda_{k} z \left\{ [E_{k} + \frac{1}{2} (E_{k} + \frac{1}{2} ($$

7 Известня АН, серня физ.мат. наук, № 4

$$\tau_{rz}(r,z) = \sum_{k=1}^{\infty} \lambda_{k}^{3} \sin \lambda_{k} z \left\{ \left[ E_{k} + 2 \left( 1 - v \right) G_{k} \right] I_{1} \left( \lambda_{k} r \right) + \right. \\ \left. + G_{k} \lambda_{k} r I_{0} \left( \lambda_{k} r \right) \right\} + \sum_{k=1}^{\infty} \mu_{k}^{3} J_{1} \left( \mu_{k} r \right) \left\{ \left( A_{k} + 2 v D_{k} \right) \sinh \mu_{k} z + \right. \\ \left. + \left( B_{k} + 2 v C_{k} \right) \cosh \mu_{k} z + C_{k} \mu_{k} z \sinh \mu_{k} z + D_{k} \mu_{k} z \cosh \mu_{k} z \right\}, \qquad (10)$$

$$u_{r}(r,z) = -\frac{1}{2\mu} \left\{ 2 A r + \sum_{k=1}^{\infty} \lambda_{k}^{2} \cos \lambda_{k} z \left[ E_{k} I_{1} \left( \lambda_{k} r \right) + \right. \right. \\ \left. + G_{k} \lambda_{k} r I_{0} \left( \lambda_{k} r \right) \right] - \sum_{k=1}^{\infty} \mu_{k}^{2} J_{1} \left( \mu_{k} r \right) \left[ \left( A_{k} + D_{k} \right) \cosh \mu_{k} z + \right. \\ \left. + \left. \left( B_{k} + C_{k} \right) \sinh \mu_{k} z + C_{k} \mu_{k} z^{2} \cosh \mu_{k} z + D_{k} \mu_{k} z \sinh \mu_{k} z \right] \right\}$$

$$u_{z}(r,z) = \frac{1}{2\mu} \left\{ \left[ 8 \left( 1 - v \right) A + 6 \left( 1 - 2 v \right) B \right] z + 2 \left( 1 - 2 v \right) C + \right. \\ \left. + \sum_{k=1}^{\infty} \lambda_{k}^{2} \sin \lambda_{k} z \left[ \left[ E_{k} + 4 \left( 1 - v \right) G_{k} \right] I_{0} \left( \lambda_{k} r \right) + G_{k} \lambda_{k} r I_{1} \left( \lambda_{k} r \right) \right] + \right. \\ \left. + \sum_{k=1}^{\infty} \mu_{k}^{2} J_{0} \left( \mu_{k} r \right) \left[ \left[ 2 \left( 1 - 2 v \right) D_{k} - A_{k} \right] \sinh \mu_{k} z + \right. \right. \\ \left. + \left[ 2 \left( 1 - 2 v \right) C_{k} - B_{k} \right] \cosh \mu_{k} z - C_{k} \mu_{k} z \sinh \mu_{k} z - D_{k} \mu_{v} z \cosh \mu_{k} z \right] \right\}.$$

$$(12)$$

Легко видеть, что условия (6)- удовлетворяются тождественно. Удовлетворив же условиям (5) и (7), для определения постоянных интегрирования, входящих в выражение (3), получаем ряд соотношений.

При получении этих соотношений пользуемся разложениями Фурье-Дини [11] функций  $I_0(\lambda_k r)$  и  $rI_1(\lambda_k r)$  по функциям  $\{J_0(\mu_k r)\}$  [8], где  $\mu_k$  — корни уравнения (4).

Из указанных обоих соотношений для постоянных интегрирования получаем следующие значения

$$A = -\frac{\mu g_0}{2R}, \qquad (13)$$

$$B = \frac{1}{6(1-v)} \left[ a_0 + \frac{2(2-v)\mu g_0}{R} - \frac{2}{R} \sum_{k=1}^{\infty} \frac{q_k}{\lambda_k} \right], \tag{14}$$

$$C = -\frac{1-\nu}{1-2\nu} \sum_{k=1}^{\infty} \frac{J_0(\mu_k R)}{1-\beta_k^2} \left\{ N_k (\beta_k \cosh \mu_k h + \cosh \mu_k h) - \right\}$$

$$-M_{k}\left(\operatorname{sch}\mu_{k}h + \beta_{k}\operatorname{cth}\mu_{k}h\right) + \frac{d_{k}\beta_{k}}{\mu_{k}} + \frac{c_{k}}{2\mu_{k}\left(1-\nu\right)}\left(1-2\nu+\beta_{k}^{2}\right), \tag{15}$$

$$G_k = \frac{q_k + 2\mu \lambda_k g_k}{2(1 - \nu)\lambda_k^3 I_1(\lambda_k R)}.$$
 (16)

$$E_{k} = -\frac{1}{\lambda_{k}^{2} I_{1}(\lambda_{k} R)} \left[ 2\mu g_{k} - \frac{(q_{k} + 2\mu \lambda_{k} g_{k}) R I_{0}(\lambda_{k} R)}{2(1 - \nu) I_{1}(\lambda_{k} R)} \right], \tag{17}$$

$$D_k = \frac{1}{\mu_k^2 (1 - \beta_k^2)} \left[ M_k \beta_k - N_k + \frac{c_k}{\mu_k} \left( \beta_k \cosh \mu_k h - \coth \mu_k h \right) - \right]$$

$$-\frac{d_k}{\mu_k} (\beta_k \coth \mu_k h - \cosh \mu_k h) \bigg], \tag{18}$$

$$C_k = rac{1}{\mu_k^2 \left(1 - eta_k^2
ight)} \left[ N_k \left( eta_k \cosh \mu_k h + \coth \mu_k h 
ight) - 
ight.$$

$$-M_k\left(\cosh\mu_k h + \beta_k \coth\mu_k h\right) + \frac{c_k}{\mu_k} + \frac{d_k \beta_k}{\mu_k}\right], \tag{19}$$

$$A_k = \frac{N_k}{\mu_k^2} + (1 - 2\nu) D_k, \tag{20}$$

$$B_k = \frac{c_k}{\mu_k^3} - 2\nu C_k, \tag{21}$$

тде введены следующие обозначения

$$\beta_k = \mu_k h \cosh \mu_k h \tag{22}$$

$$N_k = -\frac{a_k}{\mu_k} + \frac{2}{\mu_k R J_0(\mu_k R)} \sum_{p=1}^{\infty} \frac{\lambda_p q_p}{\lambda_p^2 + \mu_k^2} +$$

$$+\frac{2\mu_k}{(1-\nu)RJ_\phi(\mu_k R)}\sum_{p=1}^{\infty}\frac{\lambda_p(q_p+2\mu\lambda_p g_p)}{(\lambda_p^2+\mu_k^2)^2},$$
 (23)

$$M_k = -\frac{b_k}{\mu_k} + \frac{2}{\mu_k R J_0 (\mu_k R)} \sum_{p=1}^{\infty} \frac{(-1)^p \lambda_p q_p}{\lambda_p^2 + \mu_k^2} +$$

$$+\frac{2\mu_{k}}{(1-\gamma)}\sum_{RJ_{0}}^{\infty}\frac{(-1)^{p}\lambda_{p}\left(q_{p}+2\mu\lambda_{p}g_{p}\right)}{(\lambda_{p}^{2}+\mu_{k}^{2})^{2}}.$$
 (24)

Из упомянутых выше соотношений получается также следующее раменство

$$a_0 - b_0 = \frac{4}{R} \sum_{k=1,3}^{\infty} \frac{q_k}{\lambda_k}$$
 (25)

которое является уравнением равновесия сил, действующих вдоль оси плиты.

Подставляя найденные значения постоянных интегрирования из (13)—(21) в (8)—(12), получим формулы для определения напряжений и перемещений.

В качестве примера рассмотрим случай, когда плита изгибается нормальной нагрузкой, приложенной осесимметрично к верхнему ее основанию, при отсутствии радиальных перемещений на всей боковой поверхности и осевых перемещений на средней окружности  $\left(r=R\right)$  при  $z=\frac{h}{2}$  этой поверхности, то-есть: когда граничные условия за-

даны соотношениями

$$u_{r}(R, z) = f_{1}(z) = 0;$$

$$z_{rz}(R, z) = f_{2}(z) = a(z - h)z;$$

$$z_{z}(r, 0) = f_{3}(r) = 0;$$

$$z_{rz}(r, 0) = f_{4}(r) = 0;$$

$$z_{z}(r, h) = \dot{f}_{5}(r) = \begin{cases} -q & r < z \\ 0 & r > z \end{cases}$$

$$z_{rz}(r, h) = f_{6}(r) = 0;$$

$$u_{r}(R, \frac{h}{2}) = 0$$
(26)

где постоянная величина

$$a = -\frac{3q\epsilon^2}{Rh^2}$$
(27)

определяется из условия равновесия (25).

При таких условиях имеем

$$a_k = c_k = d_R = g_k = 0,$$
 (28)  
 $b_q = -\frac{Q}{\pi R^2},$   $b_k = -\frac{2QJ_1(\mu_k \epsilon)}{\pi R^2 J_0^2(\mu_k R) \epsilon \mu_k},$   $q_k = \frac{12Q}{\pi D h^4 \lambda^3} [1 + (-1)^{k+1}],$ 

где введено обозначение

$$Q = q\pi\epsilon^{z}$$
. (30)

При  $\varepsilon \to 0$  имеем  $\lim_{\varepsilon \to 0} q\pi \varepsilon^2 = Q_0$ , что имеет место, когда плита изгибается сосредоточенной силой  $Q_0$ , приложенной в центре ее верхнего основания. Пользуясь значниями (28) и (29), для неизвестных постоянных получим следующие значения

$$A = 0,$$

$$B = -\frac{Q}{12(1-\gamma)\pi R^2},$$

$$C = \frac{Qh}{8(1-\gamma)\pi R^2} - \frac{24Q}{(1-2\gamma)\pi Rh^4} \sum_{k=1,3,...}^{\infty} \frac{(-1)^{\frac{k-1}{2}} I_0(\lambda_k R)}{\lambda_k^k I_1(\lambda_k R)} +$$

$$+ \frac{6Q}{(1-\gamma)(1-2\gamma)\pi h^4} \sum_{n=1,3,...}^{\infty} \frac{(-1)^{\frac{k-1}{2}}}{\lambda_k^3} \left[ \frac{I_0^2(\lambda_k R)}{I_1^2(\lambda_k R)} - 1 \right] +$$

$$+ \frac{1}{2} \sum_{k=1}^{\infty} \frac{J_0(\mu_k R)(b_k + 2N_k^*)}{\mu_k (1-\beta_k)} \left[ (1-\gamma)\cosh\frac{\mu_k h}{2} + \frac{1}{4}\mu_k h \sinh\frac{\mu_k h}{2} \right],$$

$$G_k = \frac{12Q}{\pi Rh^4 \lambda_k^6 (1-\gamma) I_1(\lambda_k R)},$$

$$E_k = -\frac{\lambda_k R I_0(\lambda_k R)}{I_1(\lambda_k R)} G_k,$$

$$C_k = \frac{2QJ_1(\mu_k z)(\beta_k \coth\mu_k h + \cosh\mu_k h)}{\pi R^2(1-\beta_k^2)} \frac{N_k^* \coth\frac{\mu_k h}{2}}{\mu_k^2 I_0^2(\mu_k R)} + \frac{N_k^* \coth\frac{\mu_k h}{2}}{\mu_k^3 (1-\beta_k)},$$

$$D_k = \frac{2Q\beta_k J_1(\mu_k z)}{\pi R^2 (1-\beta_k^2)} \frac{N_k^*}{\mu_k^2 I_0^2(\mu_k R)} \frac{N_k^*}{\mu_k^3 (1-\beta_k)},$$

$$A_k = \frac{N_k^*}{\mu_k^3} + (1-2\gamma)D_k,$$

$$B_k = -2\gamma C_k,$$

$$(31)$$

где использованы обозначения (22), (30), а также

$$N_{k}^{i} = \frac{6Q}{\pi R^{2}h^{2}(1-v)\mu_{k}^{2}J_{0}(\mu_{k}R)} \left[ (1-v)\left(1-\frac{2 \ln \frac{\mu_{k}R}{2}}{\mu_{k}h}\right) + \left[ 1-\frac{\ln \frac{\mu_{k}h}{2}}{\mu_{k}h}(3-\beta_{k}) \right] \right]. \tag{33}$$

Подставляя эти значения в выражения (8) и (12), для определения нормального напряжения з, и осевого перемещения из получим следующие фирмулы

$$\begin{split} z_r(r,z) &= -\frac{Q^{\vee}}{2\pi R^2(1-\nu)} - \frac{12Q}{\pi R^2h^4(1-\nu)} \sum_{k=1,3,...}^{\infty} \frac{\cos \lambda_k z}{\lambda_k^2 I_1(\lambda_k R)} \left\{ \lambda_k r I_1(\lambda_k r) + \frac{RI_1(\lambda_k r) I_0(\lambda_k R)}{rI_1(\lambda_k R)} + \frac{RI_1(\lambda_k r) I_0(\lambda_k R)}{rI_1(\lambda_k R)} + \frac{1}{I_1(\lambda_k R)} + \frac{I_1(\lambda_k R)}{I_1(\lambda_k R)} \right\} + \frac{2}{I_1(\lambda_k R)} \left\{ \frac{J_1(\mu_k r)}{(1-\beta_k^2) \sinh \mu_k R} + \frac{J_1(\mu_k r)}{(1-\beta_k^2) \sinh \mu_k R} \right\} + \frac{1}{I_1(\lambda_k R)} \left\{ \frac{J_1(\mu_k r)}{(1-\beta_k^2) \sinh \mu_k R} + \frac{J_1(\mu_k r)}{(1-\beta_k^2) \sinh \mu_k R} + \frac{J_1(\mu_k r)}{(1-\beta_k^2) \sinh \mu_k R} \right\} - \frac{J_1(\mu_k r)}{(1-\beta_k^2) \sinh \mu_k R} \left\{ \frac{J_1(\mu_k r)}{J_1(\mu_k r)} + \frac{J_1(\mu_k r)}{J_1(\lambda_k R)} + \frac{J_1(\mu_k r) I_1(\lambda_k r)}{J_1(\lambda_k R)} + \frac{J$$

Некоторые значения напряжения  $\tau_r$  и перемещения  $u_z$ , вычисленные по формулам (34) и (35) для различных точек плиты, при v = 0,3, в зависимости от отношений  $\frac{\varepsilon}{R}$  и  $\frac{h}{R}$  приведены в габлицах 1 и 2.

details.		
	DANIEL I	

	h	$\frac{\epsilon}{R}$			
	R	1	1/2		
u <sub>2</sub> (0, 0) K <sub>3</sub>	1 1/3 1/4	-0,324 -6,996 -21,322	-0,583 -19,388		
$\frac{u_z\left(0, \frac{h}{2}\right)}{K_1}$	1/3	-0,387 -7,918	-0.787 -19,450		
$\frac{u_2(0, h)}{K_1}$	1 1/3 1/4	-0,467 -8,425 -21,465	-1,242 $-21,172$		
$\frac{u_z\left(R,\ 0\right)}{K_1}$	1/3	$^{-0.033}_{+0.327}$	-0.085 +0.106		
$\frac{u_2(R, h)}{K_1}$	1/3	$-0.176 \\ -1.102$	-0,294 -1,149		

Таблица 2

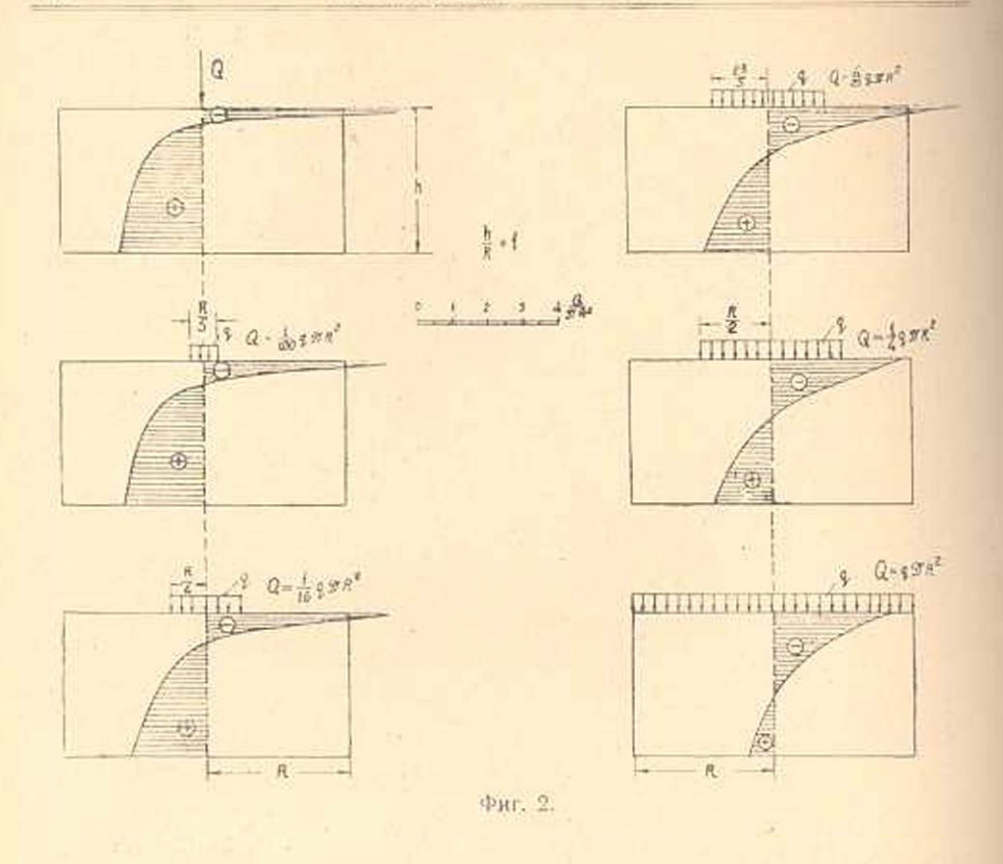
	h	i R								
	R	1	1/2	2/5	1/4	1,10	1/20	.0		
τ <sub>r</sub> (0, 0)	1 1/3	0,760 3,504	1,602 13,730	1,817 17,070	2,105 24,783	2,290 28,105	2,319 37,178	2,329 38,024		
$\frac{z_r\left(0,\frac{h}{2}\right)}{K}$	1 1/3	-0,214 -0,214	0,449 0,459	0,750 1,211	1,327 3,532	1,865 13,555	1,964 18,830	1,999 21,379		
$\frac{\tau_r(0, h)}{K}$	1 1/3	$-3,589 \\ -3,943$	-3,727 -12,859	-5,556 $-17,912$	-13,392 -29,524	-80,614 -99,698	-320,617 -340,202			

В таблицах 1 и 2 перемещения  $u_z$  приведены в долях  $K_t = \frac{qh}{\mu}\left(\frac{\varepsilon}{R}\right)^2 = \frac{Qh}{\pi R^2\mu}$  в напряжения  $z_t - \mathbf{B}$  долях  $K = q\left(\frac{\varepsilon}{R}\right)^2 = \frac{Q}{\pi R^2}$ 

При вычислениях было использовано значение ряда

$$\sum_{k=1}^{\infty} \frac{J_1(\mu_k \epsilon)}{\mu_k J_0^2(\mu_k R)} = \frac{\epsilon}{2} \left( \frac{R^{\epsilon}}{\epsilon^{\epsilon}} - 1 \right), \quad \text{rge} \quad 0 \le \epsilon \le R. \quad (36)$$

Для наглядного представления закона распределения нормальных напряжений э, вдоль оси плиты на фигурах 2 и 3 приведены эпюры этих напряжений. Следует отметить, что приведенные эпюры гоставлены приближенно: на основании расчетов, произведенных голько для трех точек оси.



6. L. Ա.բրահամյան, Ա. Ա. Բաբլոյան

## ԱՌԱՆՑՔԻ ՆԿԱՏՄԱՄԲ ՍԻՄԵՏՐԻԿ ԲԵՌՈՎ ZÜUS ԿԼՈՐ ՍԱԼԵՐԻ ԾՌՄԱՆ ՄԱՍԻՆ

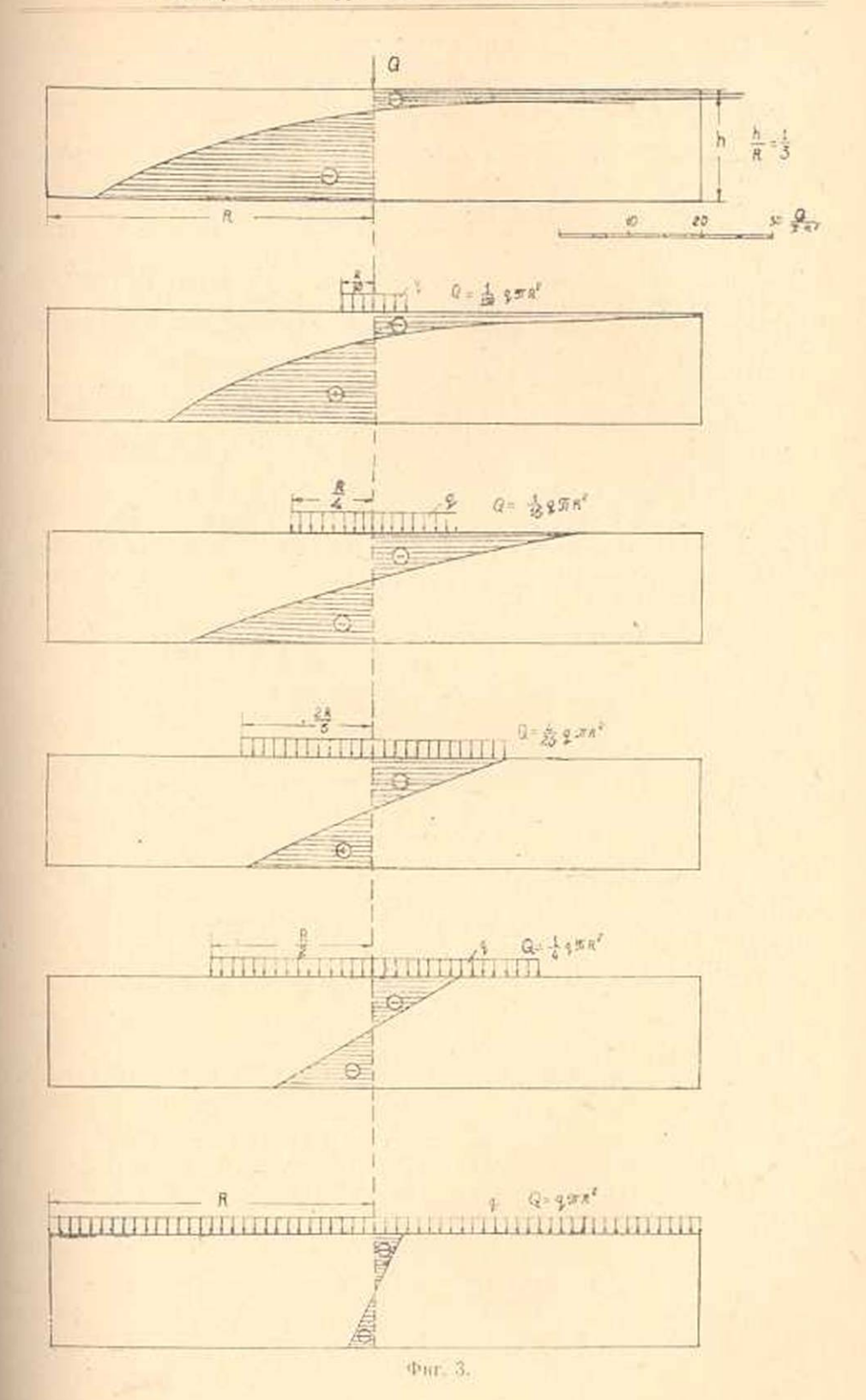
#### ILIFONDONFU

Հողմածում դիտարկվում է առանցջի նկատմամբ սիմեարիկ բեռով հաստ կլոր սալերի ծոման իւնդիրը, երբ բեռը կամավոր ձևով կիրառված է սալի Տիմջերին։

Սալը հնվադրվում է տմրացված այնպես, որ նրա կողմնալին մակերևույթի մի շրջանագծի վրա կամ առանցքի մի որևէ կհտում բացակալում են առանցքի ուղղությամբ տեղափոխումները, իսկ ամրողջ կողմնային մակերևույթի վրա չկան տեղափոխումներ շատավոր ուղղությամբ։

Նահան ինարիբներ գիտարկված են եղել Կլեմանովի [2], Նադաիի [3], Ա. Լուբյեի [1, 4], Վ. Պրոկոպովի [5] և է. Լեյբենդոնի [6] աջիստատիկյաններում։

Ալս աշխատունվան մեջ բերված խնդիրը լուծվում է Ֆուրլեի հղանակով, առաձգականունկան տեսունկան հինհական հավասարուններից հվնելով, առաջց որևէ կինհմատիկական հիպոների։



#### ЛИТЕРАТУРА-

- Лурье А. И. К теории толстых плит. ПММ, том VI, вып. 2—3, 1942, стр. 151-163.
- Clammow C. A. Flexure of Thick Circular Plates. Proceedings of the Royal Society of London, Ser. 'A', Vol. 112, p. 559, 1926.
- 3 Nadai A. Elastische Platten, Berlin, 1925.
- Лурье А. И. Пространственные задачи теории упругости, Гостехиздат. М., 1955. стр. 218—230.
- Прокопов В. К. Магиб круглой плиты осесимметричной нагрузкой. ПММ, том XIV, вып. 5, 1950, стр. 527—536.
- Лейбензон Л. С. К теории безбалочных покрытий. Собрание трудов, том 1, изд. АН СССР, 1951, стр. 100—148.
- 7. Тимошенко С. П. Теория упругости. ОНТИ, М., 1937.
- Абрамян Б. Л. К задаче осесимметричной деформации круглого цилиндра. ДАН АрмССР, том XIX. № 1, 1954, стр. 3—12,
- Абрамян Б. Л. Некоторые задачи равновесны круглого цилиндра. ДАН АрмССР. том XXVI. № 2, 1958, стр. 65—72.
- Грей Э., Мэтьюз Г. Функцин Бесселя и их приложения к физикс и механике. Госиноиздат, М., 1949.
- Ватсон Г. И. Теория бесселеных функций. Госиноиздат. часть I, М., 1949, стр. 655.

## ДИЗЧИЧИХ UUP ФРЯПРОВОРО ИЧИЛЬИРИЯР ВЫДЬЧИФРР НЗВЕСТИЯ АКАДЕМИИ НАУК АРМЯНСКОЙ ССР

Ърфруп-Люрьбою, финарраций XI, № 4, 1958 Физико-математические науки

теория ползучести

С. Р. Месчян

# О ползучести связного грунта при сжатии в условиях невозможности бокового расширения

Вопросы уплотнения связных водонасыщенных грунтов во времени нмеют весьма важное значение для решения задач осадок сооружений во времени, устойчивости откосов сооружений, возводимых в условиях высокой влажности укладываемого грунта, устойчивости оснований сооружений при нестабилизированном состоянии возводимых на сравнительно слабопроницаемых грунтах высокой влажности и т. д. [1].

Для решения указанных выше задач пользуются теорией уплотнения земляных масс, развитой в работах [1, 2, 3 и т. д.].

Следует однако отметить, что до последнего времени (1953 г.) теория уплотнения базировалась на таких предпосылках, которые неполностью соответствовали действительной природе деформирования водонасыщенного связного грунта [4]. В частности, в теории уплотнения приближению принималось, что длительность процесса деформирования связного грунта обусловлена временем, необходимым для перемещения свободной воды, вытекающей из пор, пренебрегая ролью внутренних связей грунта, которые обуславливают его прочность. При этом во всех работах принималось то допущение, что деформация скелета грунта изменяется мгновенно при изменении напряжений [5]

В дальнейшем, по мере развития физико-химии коллоидов, грунтоведения, инженерной геологии и механики грунтов, точка зрения на природу деформирования связных грунтов во времени постепенно изменилась. В развитии этих новых представлений имели большое значение работы [4, 6, 7, 8, 9, 10 и т. д.].

На основания достижений указанных выше наук и анализа факторов, влияющих на процесс деформирования водонасыщенного глинистого грунта, установлено [4], что наряду с сопротивлением пор при вытекании свободной воды из них имеет не менее важное значение сопротивление от взаимного перемещения частиц и агрегатов грунта.

Выражаясь словами Н. Н. Маслова [11], при деформировании водонасыщенного групта всегда имеет место конкурентная борьба за счет: 1) сопротивляемости проходимого через толщу воды (фактор коэф. фильтрации) и 2) сопротивляемости деформации уплотнения грунта за счет его внутренних водно-коллондальных связей (фактор вязкости). Под фактором вязкости понимается то сопротивление, которое препятствует взаимному перемещению частиц в породе (грунте).

Дальнейшим развитием теории уплотнения земляных масс явились работы [8, 9]. В этих работах для учета фактора, обусловленного сопротивлением взаимному перемещению частиц и агрегатов грунта в теорию уплотнения земляных масс, впервые В. А. Флориным было введено понятие о ползучести скелета грунта и были решены задачи уплотнения с учетом ползучести скелета, использовав для этого теорию упруго-ползучего тела Г. Н. Маслова—Н. Х. Арутюняна [12, 13].

Под ползучестью склета грунта подразумевается деформация [8, 9], обусловленная относительным смещением твердых частиц и агрегатов грунта, а также разрушением цементационных связей, вследствие чего, при действии инешией нагрузки, деформации возникают не сразу, а постепенно.

В зависимости от истории образования данного грунта указанные выше факторы в процессе деформирования будут иметь ту или иную роль. В частности для сравнительно неплотных новых образований у которых связи между частицами очень слабы, когда перемещение частиц в грунте происходит почти беспренятственно, процесс деформирования будет в основном обусловлен фильтрационными свойствами грунта, однако, по мере уплотнения, упрочнения и образования более прочных связей между его частицами и агрегатами, роль структурных и структурно-адсорбционных деформаций [4], т. е. ползучести скелета грунта, значительно повышается.

Таким образом, соотношение между указанными выше основными факторами деформирования подонасыщенного связного групта не остается постоянным, оно может изменяться в процессе уплотнения, как по мере приложения внешних нагрузок, так и при длительном выдерживании образцов грунта под нагрузкой.

Если процесс диформирования связного водонасыщенного грунта в основном зависит от фактора фильтрации, то для решения задачи уплотнения необходимо пользоваться теорией фильтрационного уплотнения, пренебрегая ролью ползучести скелета грунта и, наоборот, если явление выжимания воды из пор не имеет существенного значения, то можно пренебрегать ролью фильтрации, используя для решения задач уплотнения теорию ползучести. А когда оба фактора иыступают совместно, то ясно, что в этом случае необходимо пользоваться совместным решением теории фильтрационного уплотнения и теории ползучести [8, 9].

Критерием, определяющим значение того или иного фактора, должна служить продолжительность деформирования образцов разной толщины при их испытание одинаковыми нагрузками. Если окажется, что продолжительность деформирования не зависит от высоты образцов, то это будет означать, что основная роль в процессе деформи-

рования принадлежит ползучести скелета грунта. Если же продолжительность деформирования будет зависить от второй степени высоты образца, т. е. будет соответствовать решению фильтрационного уплотнения то можно будет пренебрегать ползучестью скелета грунта. Во всех остальных случаях необходимо считаться как с ползучестью скелета, так и фильтрационными явлениями. Следовательно для решения задач уплотнения в каждом отдельном случае необходимо, путем экспериментирования, определить значение того или иного фактора в процессе деформирования грунта.

Оставляя пока в стороне вопрос о влиянии высоты образца на продолжительность деформирования, в этой статье приводим только результаты экспериментального исследования характеристик ползучести скелета связных грунтов, проведённых на образцах одинаковых размеров с целью установления возможности применения к связным грунтам теорви упруго-ползучего тела Г. Н. Маслова—Н. Х. Арутюняна [12, 13], при их сжатии в условиях отсутствия бокового расширения.

В целях выполнения поставленной задачи были экспериментально исследованы все те основные предпосылки, которые положены в основу указанной выше теории, как-то: 1) зависимость между мгновенными деформациями и напряжениями; 2) изменяемость модуля мгновенной деформации; 3) зависимость между деформациями ползучести и напряжениями; 4) справедливость законя наложения для деформации ползучести грунта.

При выполнении указанной работы мы пользовались образцами водонасыщенных грунтов, т. е. не исключались деформации, вызванные фильтрационными явлениями, однако, учитывая то обстоятельство, что испытанию подвергались образцы небольшой толщины (10—20 мм), у которых явления фильтрации проявляются в самом начале испытания, то ролью фильтрационных явлений пренебрегли.

Ввиду необходимости выполнения множества параллельных опытов на образцах с одинаковыми физическими и механическими свойствами и практической невозможности подобрать таковые из грунтов естественной структуры, для решения поставленной задачи мы пользовались образцами грунта нарушенной структуры.

## Материалы и приборы

При ведении экспериментальных исследований в качестве материала были использованы восемь различных грунтов, отобранных из участков работ Армянского отделения Института "Гидроэнергопроект" и из оснований фундаментов ряда строящихся зданий в г. Ереване.

Данные об основных физических свойствах исследованных грунтов сведены в таблицу 1.

Лаб. № грунта	Гранулометрический состав в % / 6 Наименование частиц		и, вес ин, вес	ĕ		ористость <sup>0</sup> / <sub>0</sub>	пористости	Пределы пластичности			
								гра-	HAR.	-оны	
	песча- ных	пыле- ватых	глини- стых	Удельн. в 2/с.и <sup>3</sup>	Объемн в г/см <sup>в</sup>	Естеств, п º/ю	Порис	Коэф.	нажи. ница чести	нижн. граница пластичн	число пластично сти
3248 3363 3371 3389 3454 3455 1—57 2—57	49,60 11,79 20,71 27,25 17,28 11,75 - 21,8	30.81 72.19 56.20 62.49 59.74 55.51	19,59 16,02 23,09 10,26 22,58 32,74 10,8	2,75 2,69 2,69 2,72 2,76 2,79 2,64 2,66	1,83 1,76 1,89 1,81 1,68 1,58	23,8 32,6 27,9 28,9 38,7 32,6	46,20 50,01 45,10 48,50 56,20 57,30	0,86 1,04 0,82 0,94 1,28 1,35	27,5 46,8 40,4 47,0 - 44,6 44,3 31,3	17,4 26,4 24,1 34,7 	10.1 20.4 16.3 12.3 21.1 27.0 12.7

Из вышеприведенной таблицы следует, что нами рассмотрена почти вся гамма глинистых грунтов, начиная от легких пылеватых суглинков (гр. за лаб. № 3389), кончая глиной (гр. за лаб. № 1—57).

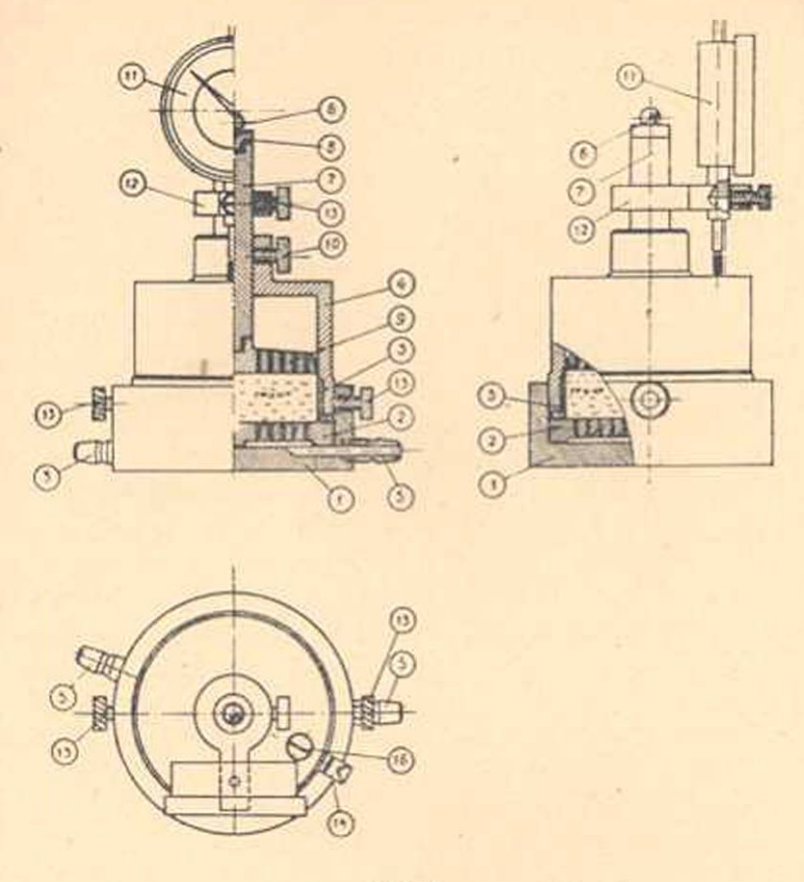
Для выполнения экспериментального исследования указанных выше основных предпосылок теории ползучести и определения основных характеристик деформативности грунтов были использованы компрессионно-фильтрационные приборы—комфильтметры—Г. И. Тер-Степаняна [14] и приборы нашей конструкции [15] (фиг. 1 и 2).

Прибор, предназначенный для исследования ползучести связных грунтов при сжатии в условиях отсутствия бокового расширения, состоит из днища 1, помещенного в нем нижнего дырчатого диска (фильтра) 2, грунтового кольца 3, цилиндра 4 с направляющей головкой. Днище 1 снабжено штуцерами 5, предназначенными для выпуска и подачи воды в прибор снизу. Внешняя нагрузка воспринимается стальным шариком 6, через стальную подушку 8, шток 7 и дырчатый поршень 9 передается на образец грунта, помещенный в кольце 3. Образец грунта аррегируется винтом 10. Деформация образца грунта измеряется индикатором часового типа 11 с точностью от 0,01 мм до 0,001 мм, который при помощи держателя 12 и винта 13 закрепляется к штоку 7.

Прибор снабжен патрубком 14, являющимся указателем уровня воды в приборе, а также прижимными винтами 15, закрепляющими цилиндр 4 к днищу 1. Для налива воды в прибор сверху служит отверстие, снабженное пробкой 16.

При испытании грунтов с естественной влажностью, т. е. без предварительного водонасыщения, для предотвращения высыхания образца патрубок 14 заменяется пробкой, а штуцера 5 закрываются с помощью резиновых трубок и зажимов Гофмана.

Прибор позволяет вести как исследования ползучести грунтов в условиях невозможности бокового расширения при любой влажности, так и компрессионные и фильтрационные испытания по всем схемам [14].



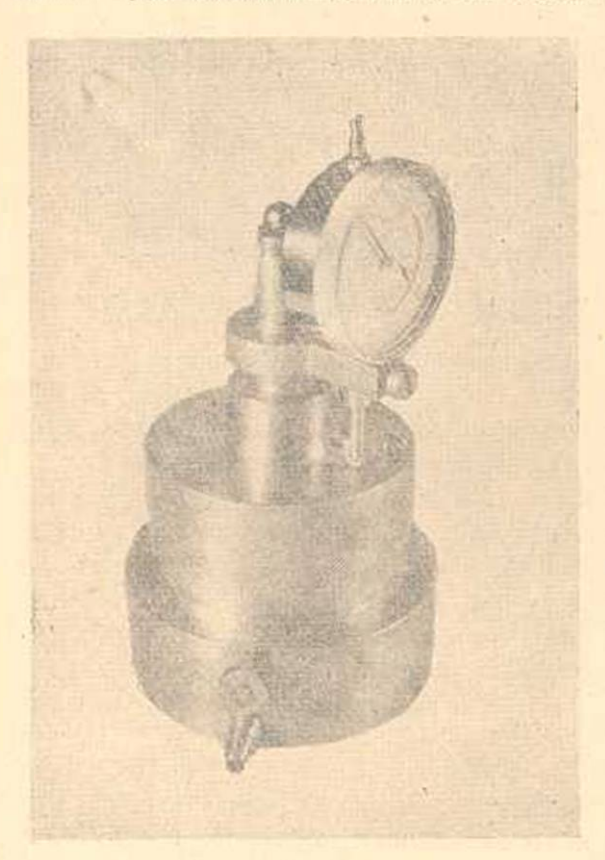
Фиг. 1.

Технические данные прибора: диаметр грунтового кольца 70 мм, высота 10 и 20 мм.

Передача внешней нагрузки на прибор осуществляется с помощью рычажных прессов любых конструкций.

### Результаты исследования зависимости между напряжениями и мгновенными деформациями грунта

Известно [4], что при приложении нагрузки на грунт в момент нагружения проявляется мгновенная деформация, вслед за которой с течением времени развиваются структурные и структурновдеорбционные деформации, то при исследовании их деформативных свойств необходимо исходить из указанного расчленения деформаций. Конечно, при этом необходимо также учесть такое специфическое свойство связного грунта, как изменяемость его механических свойств, как за счет уплотнения, так и под влиянием продольжительности нагружения (фактор времени). В связи с вышензложенным, при исследовании деформативных свойств связных грунтов, нами принято деформации грунта разбивать на две части: на мгиовенные деформации, которые проявляются в момент приложения нагрузки, и на деформации ползучести, которые



Dar. 2.

протекают в течение времени, вслед за мгновенными деформациями.

Под деформацией ползучести понимается суммарное значение структурных и структурноадсорбционных деформаций.

Сделанное нами разделение деформаций на мгновенные деформации и деформации ползучести полностью соответствует как современным представлениям о деформативности связных грунтов, так и рассмятриваемой нами теории ползучести [12, 13].

При исследовании записимости между мгновенными деформациями и напряжениями, по указанным выше причинам, изамеи общепринятого понятия модуля упруго-

сти грунта мы перешли к понятию модуля мгновенной деформации [16].

В отличие от модуля упругости, модуль мгновенной деформации не является постоянным, а характер его изменяемости зависит как от физико-механических свойств самого грунта, так и от способа и длительности загружения. Модуль мгновенной деформации является характеристикой, выражающих механические и деформативные свойства материала, соответствующей его некоторому определенному состоянию в определенный момент времени.

При определении мгновенных деформаций, соответствующих разным значениям нагрузок, во избежание влияния уплотнения на мехавические и деформативные свойства грунта, мы воспользовались методикой параллельного испытания нескольких образцов-близнецов, обладающих одинаковыми физико-механическими свойствами, путем их мгновенного, безударного нагружения постоянными нагрузками различной величины с фиксацией мгновенных деформаций.

Говоря о мгновенных нагрузках и мгновенных деформациях, нельзя не привести то замечание В. А. Флорина [17], что под условным термином "мгновенной" нагрузки обычно следует понимать однократно приложенную нагрузку, возрастание которой от нуля до своего конечного значения происходит с предельной скоростью, при которой она межет еще рассматриваться как постепенно возрастающая нагрузка. При этом под термином "начальное" напряженное состояние землянной среды понимается состояние, соответствующее моменту окончания предельного быстрого возрастания нагрузки, которое определяется, естественно, без учета сил инерции.

При выполнении экспериментальных работ мы, обычно, попарно испытывали восемь образцов-близнецов четырьмя значениями нагрузок: 0,25, 0,5, 1,0, 2,0 кг/см<sup>2</sup>.

Учитывая то обстоятельство, что точность полученных результатов в значительной степени зависит от физико-механических свойств образцов-близнецов, при их приготовлении прилагали все усилия для получения образцов с одинаковыми физическими и механическими свойствами.

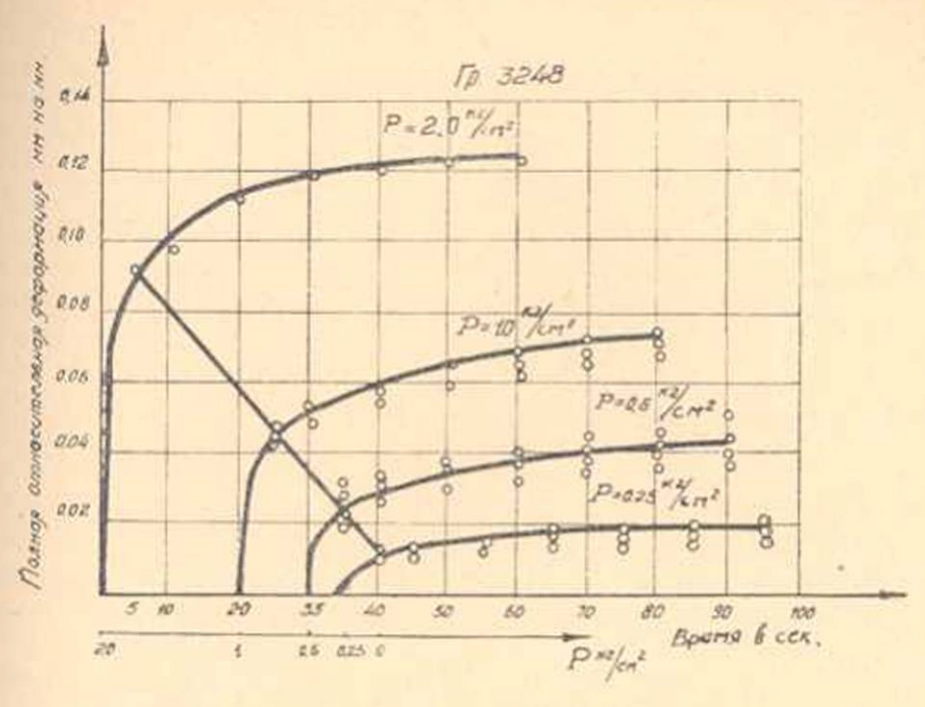
Для примера в табл. 2 приведены основные физические характеристики испытанных образцов-близцецов грунтов за лаб. №№ 3248

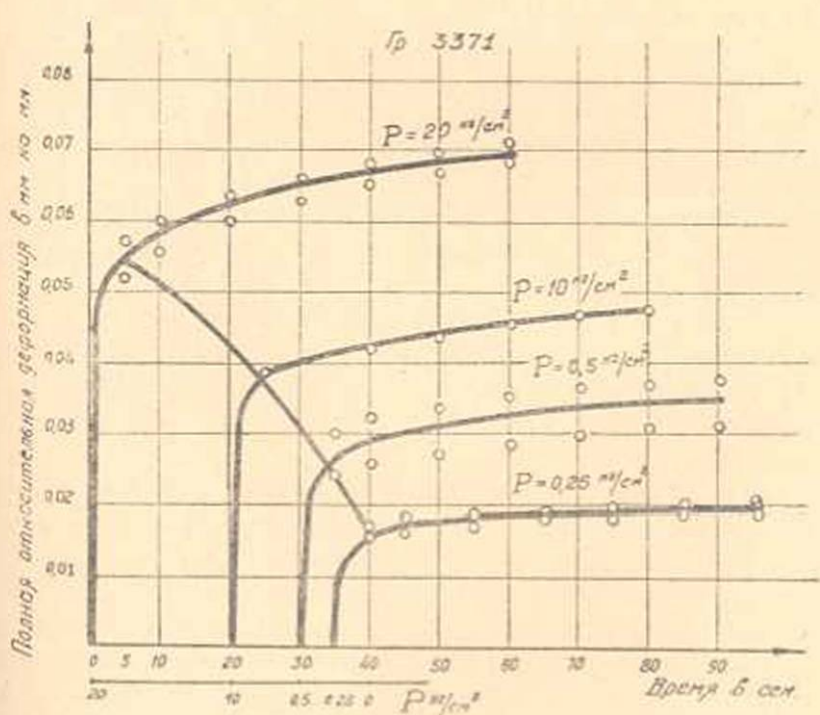
Таблица 2

_uu №№	№М опытов	Удельный вес в гусм <sup>3</sup>	Объемный вес в г/см <sup>3</sup>	Влажность в <sup>0</sup> / <sub>0</sub> <sup>0</sup> / <sub>0</sub>	Коэффии пористости	Внешняя нагрузка в кг/см2
			Грунт №	3248		
1 2 3 4 5 6 7 8	4 54 5-54 6 54 7 54 8-54 9-54 11 54 12 -54	2.75 2.75 2.75 2.75 2.75 2.75 2.75 2.75	2 03 2 00 2 00 2 06 2 06 2 06 2 06 2 06 2 06	25,0 25 0 23,5 23,8 25,4 14,3 25,4 25,5	0.698 0.718 0.697 0.697 0.730 0.658 0.730 0.698	0.25 0.50 0.50 0.50 1.00 1.00 1.00 2.00
			Грунт №	3371		
1 2 3 4 5 6 7 8	14 - 54 50 - 54 152 - 55 15 - 54 153 - 51 16 - 54 17 - 54 43 - 54	2 69 2 69 2 69 2 69 2 69 2 69 2 69 2 69	1.78 1.80 1.76 1.84 1.76 1.79 1.72 1.76	43.5 44.7 41.3 45.0 41.3 48.5 41.5 43.5	1.17 1.17 1.17 1.12 1.17 1.22 1.20 1.18	0,25 0,25 0,25 0,50 0,50 0,50 1,00 2,00

и 3371, а на фиг. 3—сводный график кривых ползучести грунта № 3455 полученных при испытании образцов-близнецов равными нагрузками 0,25 кг/см².

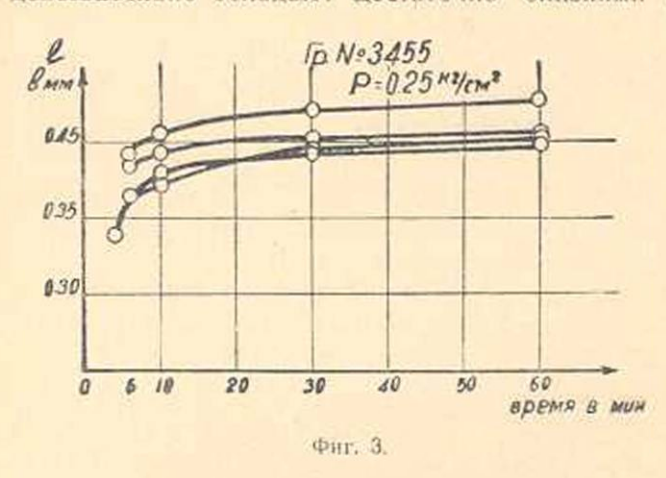
<sup>8</sup> Известия АН, серия физ.-мат. наук, № 4





PHF. 4.

Рассматривая результаты определений физических свойств образцов, приведенных в таблице 2, а также результаты механического испытания их во времени (фиг. 2), приходим к выводу, что образцы действительно обладают достаточно близкими физическими и меха-



ническими свойствами и мы в праве сравнивать те результаты, которые получены в результате их испытания.

Эксперименты выполнялись двумя способами: а) способом испытания предварительно неуплотненных и б) способом испытания предварительно уплот-

ненных образцов грунта нагрузкой 0,25 кг/см<sup>2</sup> в течение одного часа.

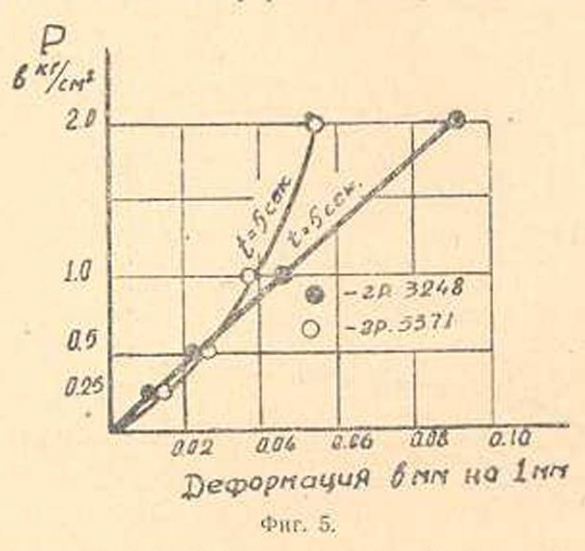
При проведении испытания предварительно неуплотненных образцов в силу больших значений как величин, так и скоростей деформирования в начальные моменты времени, во избежание ошибок, фиксировались условно-мгновенные деформации, которые соответствовали пятой секунде после момента нагружения. Что же касается второго способа, то в силу сравнительно небольших деформаций фиксировались мгновенные деформации, соответствующие моменту нагружения.

Приведем результаты исследования зависимости между напряжениями и условно-мгновенными деформациями двух грунтов за №№ 3248 и 3371 (фиг. 4 и 5) и зависимости между мгновенными деформациями и напряжениями шести грунтов (фиг. 6), выполненные по второму способу.

На графиках фиг. 4 приведены кривые полных относительных деформаций, определенных при испытании образцов-близненов нагрузками 0.25, 0.5, 1,0 и 2,0 кг/см² в интервале времени до 60 сек, а на графике фиг. 5—кривые зависимости между напряжениями и условномгновенными деформациями. Как следует из графика фиг. 5, связь между условно-мгновенными деформациями и напряжениями, в зависимости от физических свойств испытанных образцов грунта (табл. 2), выражается как линейным (гр. № 3248), так и нелинейным законом (гр. № 3371).

Отклонение указанной выше зависимости от линейного закона обусловлено как проявлением деформаций ползучести в течение пяти секунд после приложения нагрузок, так и наличитм неровностей на поверхности образцов [18]. Следует однако отметить, что указаниая зависимость с достаточной для практики точностью для нагрузок до 1,0 кг/см<sup>в</sup> почти всегда можно выразить линейным законом.

Если теперь рассмотреть криные зависимости между напряжениями и мгновенными деформациями (фиг. 6), то нетрудно заметить, что ввиду



отсутствия влияния как деформаций ползучести (t=0), так и неровностей на поверхности образцов, которые были сглажены при предварительном уплотнении образцов, для всех грунтов без исключения она с достаточной точностью выражается линейным законом [16].

Рассмотрим вопрос изменяемости мо уля мгновенной деформации который тесно связан с переходом от понятия

модуля упругости к понятию модуля мгновенной деформации.

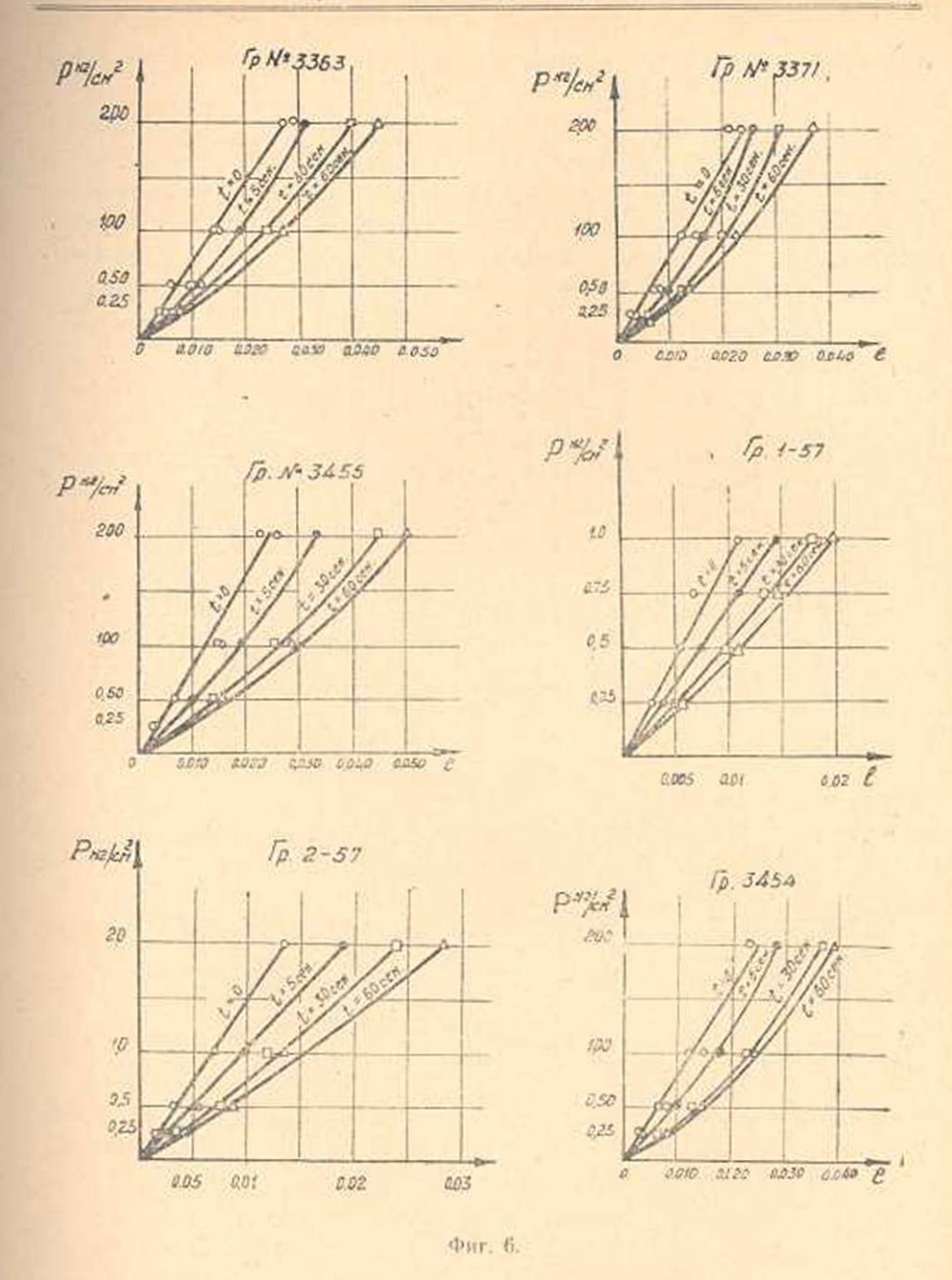
Известно, что процесс твердения бетона в течение времени сопровождается изменением его физико-механических свойств, его старением, что в конечном итоге выражается изменением его упругих характеристик и ползучести. Поэтому есновной задачей равновесия упруго-ползучего тела Н. Х. Арутюнян считает определение изпряжения и деформации в этом теле под воздействием внешних нагрузок с учетом ползучести и изменения во времени модуля мгновенной деформации.

Сказанное в полной мере относится и к связным грунтам с той лишь разницей, что в одном случае старение является результатом твердения цементного камня, а в другом случае результатом как увеличения плотности грунта под действием внешних нагрузок, так и проявлением сцепления [19].

Вопрос же исследования влияния старения на деформируемость грунта в конечном итоге сводится к исследованию деформативных свойств грунта (мгновенной деформации и деформации ползучести) при разных состояниях его физико-механических свойств.

Не останавливаясь на вопросе изменяемости миновенных деформаций во времени под действием постоянных нагрузок [16], покажем изменяемость модуля миновенной деформации в случае, когда внешняя нагрузка не постоянна, а нарастает во времени.

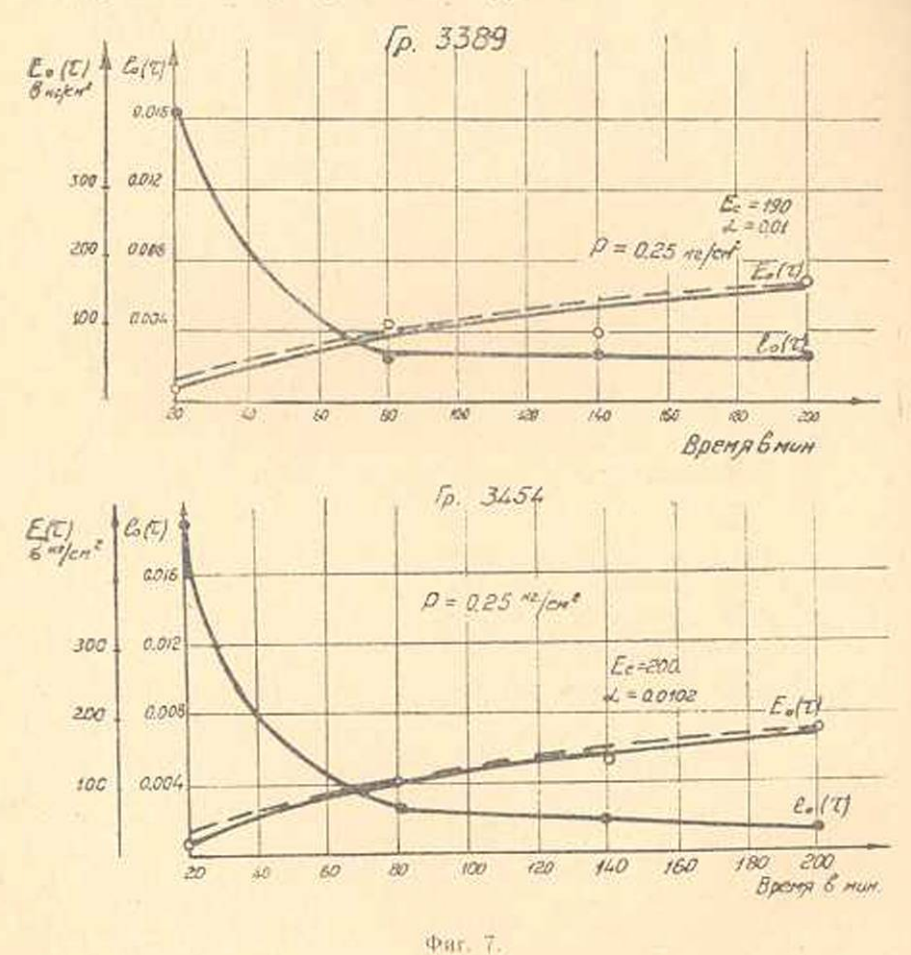
Для выяснения закона изменяемости модуля миновенной деформации во времени при переменных нагрузках, нарастание их представим в виде последовательно приложенных равных ступеней через определенные интервалы времени [16].



Нами исследованы два случая изменяемости модуля мгновенной E и условно-мгновенной  $E_0$  деформаций: а) при кратковременном и и б при длительном выдерживании образдов под каждой ступенью нагрузки. Время выдерживания в первом случае равнялось одному часу, а во втором случае—от 10 до 30 дням.

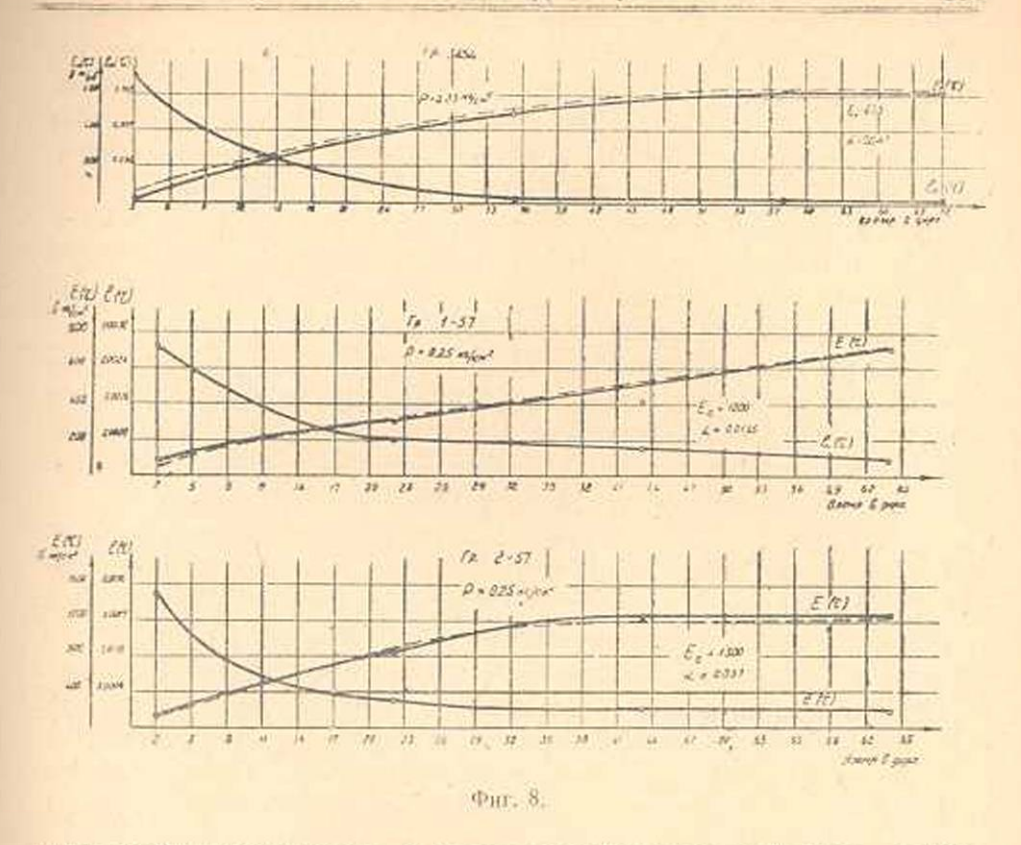
Модули мгновенных или условно-мгновенных деформаций определялись, как отношение величины напряжения к величине относительной мгновенной (условно-мгновенной) деформации от приложения данной ступени нагрузки.

На графиках фиг. 7 приведены кривые изменяемости модуля миновенной  $(E_{\tau})$  и условно-миновенной  $(E_{0\tau})$  деформаций совместно с кривыми изменяемости относительных миновенных  $(l_{\tau})$  и условно-миновенных деформаций  $(l_{0\tau})$  во времени при выдерживании образцов под нагрузками в течение одного часа, а на фиг. 8 при длительном их выдерживании под ступенями нагрузок.



Рассматривая вышеприведенные графики (фиг. 7 и 8), приходим к выводу, что по мере уплотнения и упрочнения грунта повышаются его механические свойства, что выражается уменьшением мгновенных деформаций при последовательном приложении равных ступеней нагрузок с соответствующим увеличением модуля мгновенной или условно-мгновенной деформаций.

Значительным является то, что по мере уплотнения и упрочнения грунта, модуль мгновенной (условно-мгновенной) деформации асимптотически стремится к некоторой постоянной величине, т. е., по



мере приближения грунта к упруго-уплотненному состоянию, деформативные свойства его стабилизируются.

Во всех вышеприведенных графиках величина каждой ступени нагрузки равнялась 0,25 кг/см<sup>2</sup>.

Для описания закона изменяемости модуля мгновенной  $E_{\tau}$  и условно-мгновенной  $E_{0\tau}$  деформации во времени использовано известное выражение (1) теории ползучести [13]

$$E_{(t)} = E_c \left(1 - \beta e^{-\alpha t}\right) \tag{1}$$

при  $\beta=1$  и соответствующем подборе параметров  $E_c$  и  $\alpha$  по экспериментальной кривой.

Теоретические кривые, построенные по выражению (1), показаны на графиках фиг. 7 и 8 пунктирными линиями. Значения параметров  $E_c$  и  $\alpha$  показаны на графиках.

Из приведенных графиков следует, что при соответствующем подборе параметров можно добиться достаточно хорошего совпадения теоретических и опытных кривых.

# Зависимость между напряжениями и деформациями ползучести

Известно [13], что в зависимости от того, какая связь существует между напряжениями и деформациями ползучести, к упругоползучему телу применяется та или иная теория ползучести. В частности, в теории ползучести бетона связь между напряжениями и деформациями материала линейная, если  $\sigma \leqslant 0.5R$ , и нелинейная, если  $\sigma > 0.5R$ , где R- величина временного сопротивления бетона. Следовательно, для напряжений  $\sigma \leqslant 0.5R$  применяется линей ная, а при  $\sigma \geqslant 0.5R-$  нелинейная теория ползучести [12, 13].

Для применения указанной теории к другим материалам, в частности к связным грунтам, которые обладают свойством ползучести, и определения границ ее применимости необходимо экспериментально определить указанную выше зависимость.

В целях установления зависимости между напряжениями и деформациями ползучести связных грунтов нарушенной структуры при их сжатии в условиях отсутствия бокового расширения были исследованы семь различных грунтов в компрессионных приборах под водой после их полного водонасыщения [20].

Сущность метода определения указанной зависимости заключалась в параллельном определении деформаций ползучести на нескольких образцах-близнецах при разных значениях уплотняющих нагрузок с последующим их сравнением между собой. При этом деформации ползучести определялись как разность полных и мгновенных (условномгновенных) деформаций. Следовательно, исследование зависимости между напряжениями и деформациями ползучести по сути дела представляет собой непосредственное продолжение исследования зависимости между напряжениями и мгновенными (условно-мгновенными) деформациями.

Для определения деформации ползучести, как и при определнии мгновенных и условно-мгновенных деформаций, обычно, попарно испытывались восемь образцов-близнецов нагрузками 0.25, 0,5, 1,0 и 2,0 кг/см² в течение времени (от одного часа до 100 дней).

Как и в предыдущем случае, при определении деформации ползучести пользовались методами испытания предварительно неуплотненных и предварительно уплотиенных образдов грунта нагрузками 0,25 кг/см² в течение одного часа. В первом случае из полных деформаций исключались условно-мгновенные деформации, а во втором случае—мгновенные деформации.

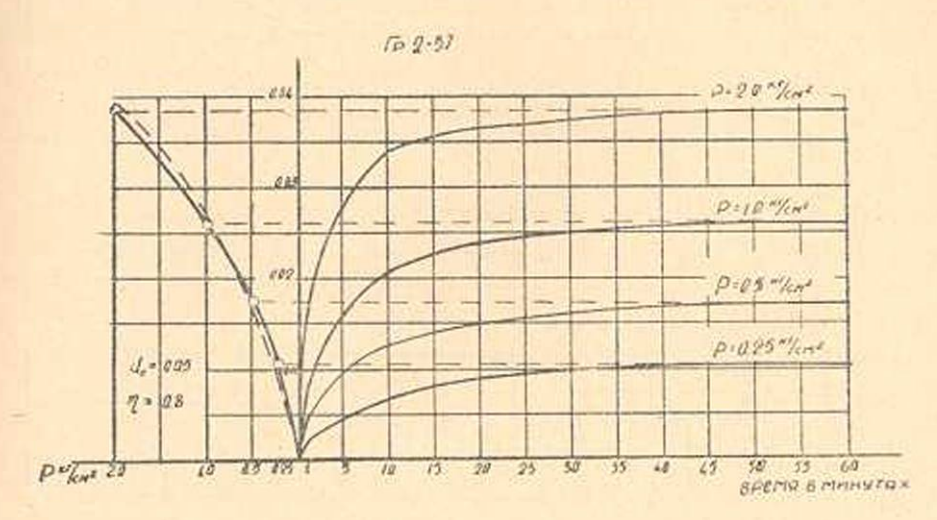
Учитывая то обстоятельство, что при определении деформации ползучести путем испытания предварительно уплотненных образцов деформации от предварительно уплотняющих нагрузок не успевали затухать в течение часа и суммировались с деформациями ползучести от основной нагрузки, во избежание искажения результатов опытовяти деформации исключались из общих деформиций ползучести, путем специального определения их значений.

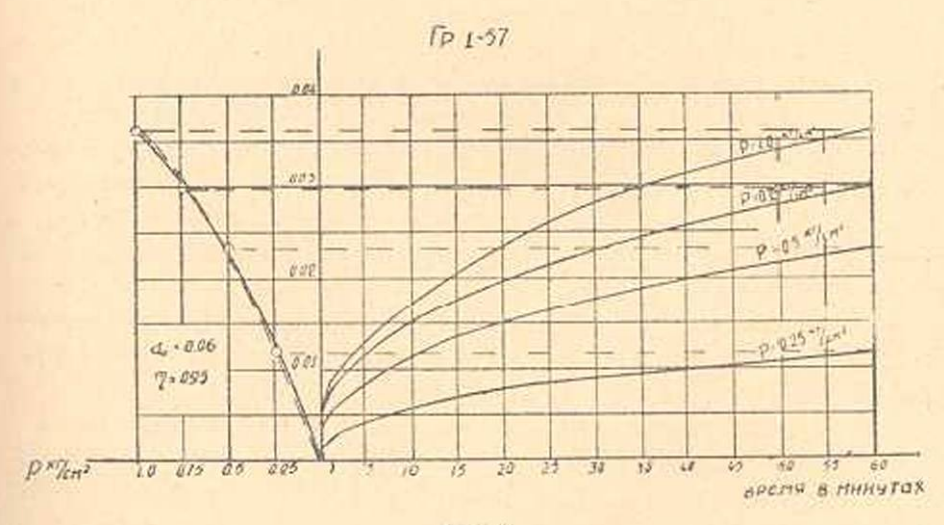
Рассмотрим результаты экспериментального исследования интересующей нас зависимости для двух грунтов за  $N_0N_0$  1—57 и 2—57 приведенных на графиках фиг. 9 и 10.

В таблице 3 приведены осредненные значения основных физических свойств исследованных серий образцов-близнецов.

Таблина 3

№ №	Лаб. №	Удельный	Объемный	Влажность	Коэффициент
ПП	грунта	вес в г/см <sup>3</sup>	вес в 7/сж <sup>8</sup>	в <sup>0</sup> / <sub>0</sub> <sup>0</sup> / <sub>0</sub>	пористости
1 2	1-57 2-57	2,64 2,66	1,75 1,80	38.7 34,86	1.10

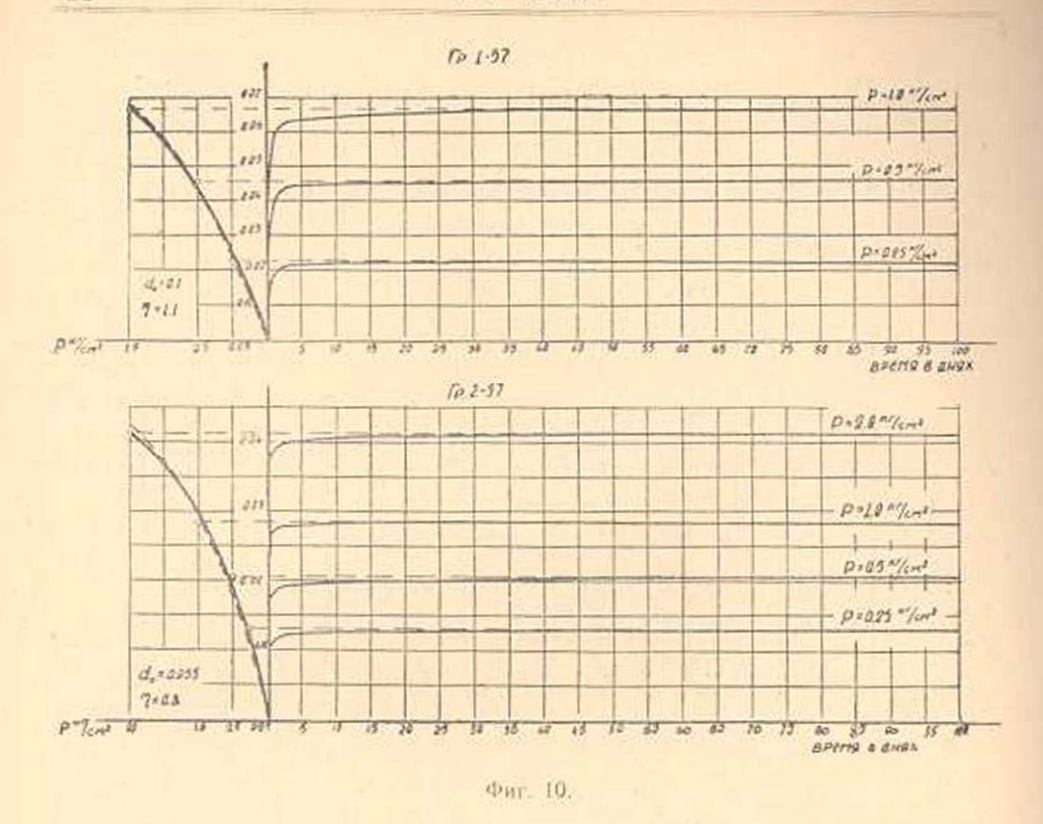




Фиг. 9.

На правых половинах графиков фиг. 9 и 10 приведены кривые ползучести, определенные путем испытания предварительно уплотненных образцов-близнецов нагрузками 0,25, 0,5, 0,75, 1,0 и 2,0 кг/см². На этих графиках по оси абсцисс отложено время, а по оси ординат—деформация ползучести, выраженная в мм на 1 мм [20].

На основании семейства кривых ползучести построены кривые зависимоств между напряжениями и деформациями ползучести, которые показаны на левых половинах указанных графиков, где по оси



абсцисс отложены напряжения в кг/см², а по оси ординат—деформации ползучести в мм на 1 мм.

Из рассмотрения указанных кривых следует, что между деформациями ползучести грунтов и напряжениями нет линейной зависимости. Следовательно, при сжатии грунтов нарушениой структуры, в условиях отсутствия бокового расширения следует пользоваться нелинейной теорией ползучести.

Сделанный вывод справедлив как для предварительно-уплотненных, так и предварительно-неуплотненных грунтав нарушенной структуры [20].

Ввиду отсутствия линейной зависимости между напряжениями и деформациями ползучести, для получения кривой ползучести при любом напряжении необходимо ординаты кривой при единичном напряжении умножить на некоторый множитель, являющийся функцией напряжений F(P) [21].

Обработка многочисленных экспериментов показала, что для исследуемого нами случая функция напряжений F(P) может быть аналитически приближенно выражена экспоненциальной зависимостью вида

$$F(P) = d_0(1 - e^{-\eta P})$$

где  $d_0$  и  $\eta$ —параметры, подбираемые по результатам экспериментов. P—напряжение, e—основание патуральных логарифмов. На левых половинах графиков фиг. 9 и 10 пунктирными линиями показаны теоретические кривые, которые построены по выражению (2) с соответствующим подбором параметров  $d_0$  и  $\eta$ . Значения параметров  $d_0$  и  $\eta$  приведены на графиках. Кривые построенные по выражению (2), дают хорошее совпадение с данными опыта.

Следует отметить, что при малых нагрузках порядка 0,5—1,0 кг/см<sup>2</sup> интересующую нас зависимость с достаточной точностью можно выразить линейным законом.

## Исследование закона наложения для деформации ползучести грунта

Рассмотрим последнюю из основных предпосылок теории упругоползучего тела [12, 13], закон наложения для деформации ползучести грунта.

В отличие от теории "старения" Я. В. Столярова, С. Е. Фрейфельда и др., в теории упруго-ползучего тела [12, 13] деформации ползучести при переменном во времени напряжении определяются не на основании гипотезы "старения", а в соответствии с принципом наложения [22].

Принции наложения П. И. Васильев [22] сформулировал следующим образом: "суммарная деформация ползучести при переменном напряжении может быть найдена как сумма деформаций ползучести, вызванных соответствующими приращениями напряжений".

Т. е. закон наложения в теории упруго-ползучего тела применяется для перехода от деформаций ползучести, определенных при постоянных напряжениях, к деформациям ползучести при переменных напряжениях.

Закон наложения для деформаций ползучести непосредственно вытекает из основного интегрального уравнения теории упруго-ползучего тела [13], которое соответствует непрерывному росту напряжений и при линейной ползучести выряжается зависимостью:

$$k(t) = \frac{P(t)}{E(t)} - \int_{0}^{t} P(\tau) \frac{\partial \delta(t, \tau)}{\partial \tau} dt$$

нли

$$l(t) = \frac{P(t)}{P(t)} - \int_{1}^{t} P(\tau) \frac{\partial}{\partial \tau} \left[ \frac{1}{E(\tau)} + C(t, \tau) \right] d\tau$$
 (3)

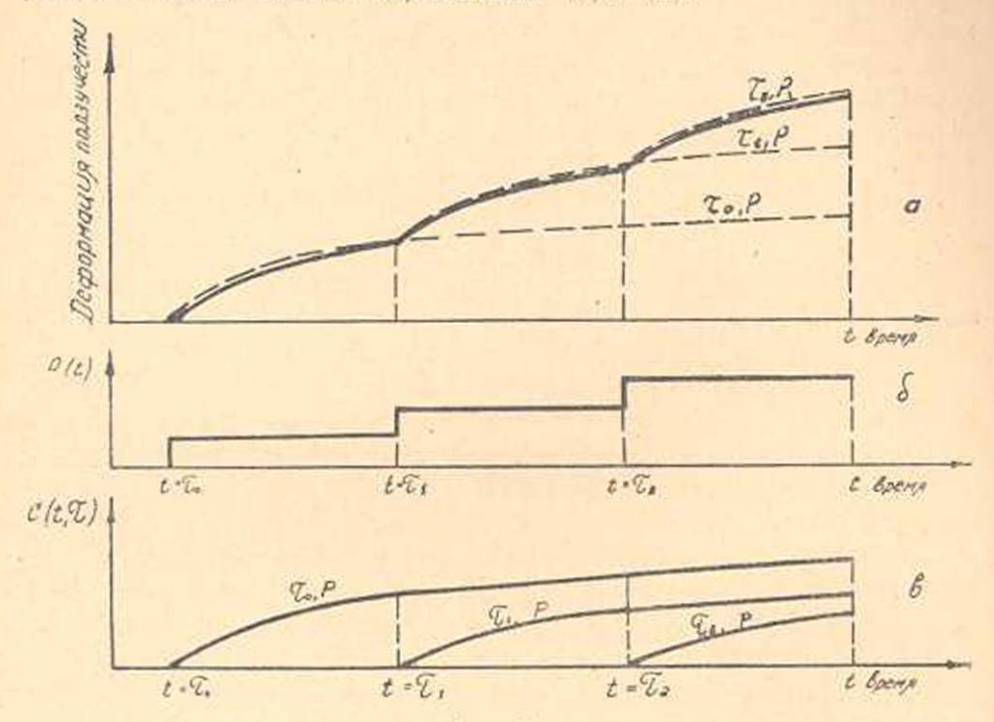
где Е-модуль мгновенной деформации,

Р-напряжение,

 $C(t, \tau)$ —мера ползучести.

Если, для простоты, непрерывный рост напряжений, для материала обладающего свойством старения, заменить ступенчатым нагружением, т. е. в момент времени  $\tau_0$  приложено напряжение  $P_0$ , в

момент времени  $\tau_1$  приложено напряжение  $P_1$ , в момент времени  $\tau_2$  приложено напряжение  $P_2$  и т. д., то при линейной и нелинейной ползучести закон няложения для деформации ползучести будет выражаться соответственно выражениями (4) и (5):



Фиг. 11.

$$l_n(t) = P_0(\tau_0) C(t, \tau_0) + P_1(\tau_1) C(t, \tau_1) + P_2(\tau_2) C(t, \tau_2) + \dots + P_n(\tau_n) C(t, \tau_n);$$
(4)

$$l_n(t) = F[P_0(\tau_0)] C(t, \tau_0) + F[P_1(\tau_1)] C(t, \tau_1) +$$
  
+  $F[P_2(\tau_2)] C(t, \tau_2) + \cdots + F[P_n(\tau_n)] C(t, \tau_n);$  (5)

где:

$$C(t, \tau) = \varphi(\tau) \left[1 - e^{\tau(t-\tau)}\right]; \tag{6}$$

$$\varphi \left( \tau \right) = C_0 + \frac{A_1}{\tau}. \tag{7}$$

F[P] — функция напряжений, определяемая из экспериментов, имеющая вид (2);

ф (т) —предельная мера ползучести;

Р<sub>п</sub>-приращение напряжений;

т-момент приложения нагрузки;

t—момент времени, для которого определяется деформация:  $C_0$ ,  $A_1$  и  $\gamma$ —параметры.

Из выражений (4) и (5) следует, что деформация ползучести от ступенчатого загружения  $l_n(t)$  к моменту времени t (на фиг. 11а показана сплошной линией) может быть определена суммированием

деформаций ползучести от приращений напряжений с учетом старения материала к моменту приложения их (фиг. 11в), т. е. для проверки закона наложения необходимо сопоставить кривую деформации ползучести от ступенчатого загружения с суммой кривых деформаций ползучести от приращения напряжений, определенных на образцах, обладающих такими физико-механическими свойствами, какими обладает ступенчато загруженный образец в моменты приложения ступеней нагрузок.

Для выполнения указанной проверки, в случае нарастания нагрузок равными ступенями P, необходимо на графике деформации ползучести от ступенчатого загружения (фиг. 11a, сплошная линия) построить кривую ползучести от нагрузки P, приложенной к грунту в возрасте  $t=\tau_0$  до конца исследуемого отрезка времени t (на фиг. 11a и 11в кривая  $\tau_0$ , P). На эту кривую, начиная с момента приложения второй ступени нагрузки, когда ступенчато-загруженный образец обладает возрастом  $t=\tau_1$ , необходимо наложить кривую деформацию ползучести, определенной в возрасте  $t=\tau_1$  (на фиг. 11a и 11в, кривая  $\tau_1$ , P), до момента времени t, и  $\tau$ . д.

Из вышеизложенного следует, что для выполнения проверки закона наложения для деформаций ползучести грунта, обладающего свойством старения, необходимо экспериментально определить кривые деформации ползучести, соответствующие его разным возрастам к началу загружения (фиг. 11в), знать закон его "старения".

Выше мы уже говорили, что, как бетон, так и грунт способны менять свои физико-механические свойства. Способность грунта изменять свои физико-механические свойства под суммарным воздействием ряда факторов, по аналогии со старением бетона, названа нами "старением" грунта. При этом необходимо иметь в виду то обстоятельство, что в старении бетона основную роль играют его внутренние физико-химические процессы, протекающие в течение времени, тогда как "старение" грунта, помимо указанного выше фактора, обусловлено еще и уплотнением.

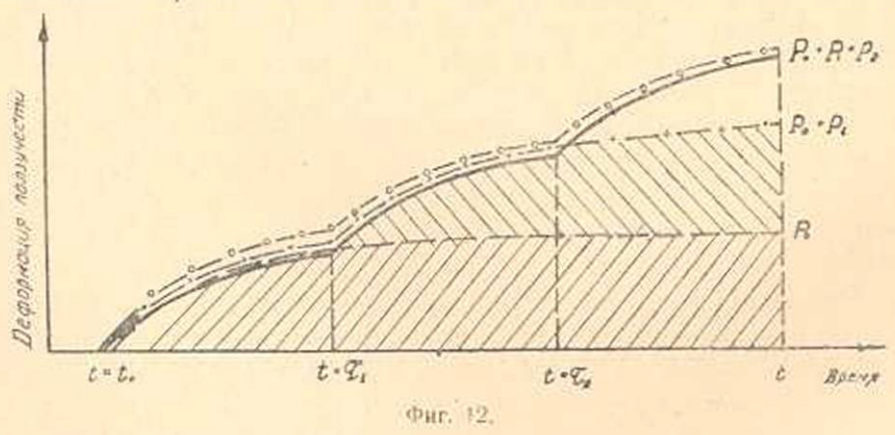
Следовательно, при экспериментальном исследовании деформаций ползучести грунтов, соответствующих их разным "возрастам", необходимо одновременно считаться как с фактором внутренних физико-химических процессов, так и фактором уплотнения. Поэтому для экспериментального определения кривых деформаций ползучести мы пользовались [15] методикой, несколько отличной от методики определения кривых деформаций бетона в его разных возрастах к моменту загружения.

Как уже говорили, для выполнения проверки закона наложения необходимо, чтобы между физико-механическими свойствами образцов грунта, подвергавшихся испытанию в его разлых возрастах, и физикомеханическими свойствами ступенчато-нагруженного образца в моменты приложения нагрузок было полное соответствие. Для достижения указанного выше соответствия физико-механических свойств недостаточно приготовить образец грунта с физическими свойствами (пористость, влажность), соответствующими этим свойствам ступенчато-нагруженного образца в момент приложения какой-либо ступени нагрузки, необходимо также, чтобы структуры их соответствовали друг другу, так как в течение времени имеет место упрочнение грунта [19], в результате проявления сцепления, упрочнения [4] за счет протекания внутренних физико-химических процессов, которое в свою очередь зависит как от продолжительности загружения, так и от величины нагрузки.

Следовательно, мы полностью достигаем своей цели только тогда, когда параллельно с испытанием образца на ступенчатое загружение другие образцы-близнецы, обладающие одинаковыми с ним физико-механическими свойствами к началу загружения, будут доведены до интересующего нас "возраста" путем уплотнения в течение времени точно так, как был уплотнен ступенчато-нагруженный образец при достижении им какого-либо "возраста".

Указанная методика подготовки образцов грунта отличается от методики подготовки образцов бетона тем, что, если для достижения какого-либо возраста образцы бетона выдерживаются в течение определенного времени, то образцы грунта, помимо выдерживания в течение времени, подвергаются и уплотнению.

Порядок уплотнения образцов-близнецов грунта и определение деформации ползучести в разных возрастах к моменту загружения приведены на фиг. 12.



В соответствии с вышеизложенным, для испытания образцаблизнеца в "возрасте"  $t=\tau_0$  (фиг. 12) достаточно его загрузить нагрузкой  $P_0$  в указанном возрасте и выдержать под нагрузкой до момента времени t, для которого определяется деформация (показана пунктиром). Для испытания образца в "возрасте"  $t=\tau_1$  второй образец-близнец в "возрасте"  $t=\tau_0$  загружается нагрузкой  $P_0$  и, после достижения им возраста  $t=\tau_1$  с выдерживанием под этой нагрузкой в интервале времени  $\tau_1 - \tau_0$ , загружается нагрузкой  $P_1$  и выдерживается до момента времени t (показана пунктирной линией с крестиками). Наконец для испытания третьего образца-близнеца в "возрасте",  $t = \tau_2$  он сперва уплотияется нагрузкой  $P_0$  в течение времени от  $t = \tau_0$  до  $t = \tau_1$ , в момент времени  $t = \tau_1$  загружается нагрузкой  $P_1$  и, после достижения им "возраста"  $t = \tau_2$ , загружается  $P_2$  и выдерживается до момента времени t (показана пунктирной линией с кружечками). На этом же графике сплошной линией показана кривая деформации ползучести, определенная ступенчатым нагружением образца нагрузками  $P_0$ ,  $P_1$  и  $P_2$  в моменты времени  $t = \tau_0$ ,  $t = \tau_1$  и  $t = \tau_2$ .

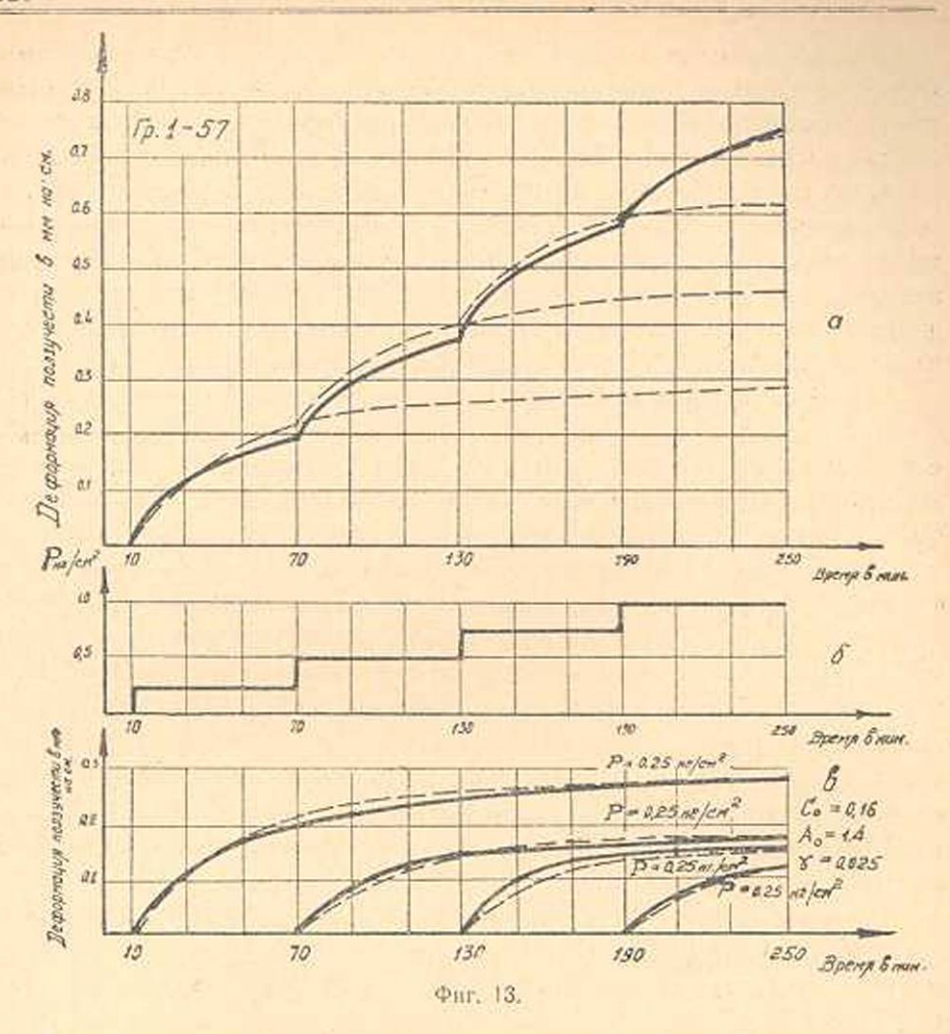
Кривая деформации ползучести, соответствующая "возрасту"  $t=\tau_0$  к началу загружения заштрихована восходящими линиями, а деформации ползучести, соответсвующие "возрасту"  $t=\tau_1$ , заштрихованы нисходящими линиями. Последние определялись как разность ординат между кривыми ползучести от нагрузок  $(P_0+P_1)$  и  $P_0$ .

Из сказанного непосредственно следует, что, если кривые деформации ползучести, соответствующие разным "возрастам" грунта, определяются указанным выше методом, то ясно, что расхождение между кривой, построенной путем суммирования элементарных приращений деформации от приращений напряжений, и кривой, определенной ступенчатым загружением образца, будет в пределах точности параллельных испытаний образцов-близнецов. А это значит, что при сжатии глинистого грунта нарушенной структуры в условиях невозможности бокового расширения закон наложения для деформации ползучести справедлив.

Таким образом, для осуществления перехода от деформации ползучести постоянных нагрузок к деформациям ползучести при переменных нагрузках по зависимостям теории упруго—ползучего тела (3), (4) и (5), необходимо закон изменения кривых деформации ползучести грунта при его "старении" выразить аналитически по зависимостям (6) и (7) теории упруго-ползучего тела и экспериментальную кривую деформации ползучести от ступенчатого нагружения сопоставить с суммой элементарных приращений деформаций от приращений напряжений, определенных аналитически, на основании семейства экспериментальных кривых ползучести.

В отношении методики экспериментального определения закона изменения кривых деформации ползучести грунта в зависимости от его "возраста" следует добавить, что наряду с точной приведенной выше методикой, когда для определения указанного закона необходимо испытать несколько образцов-близнецов, можно воспользоваться упрощенной методикой [24], при помощи которой этот закон, с достаточной точностью, можно определить испытанием одного образца.

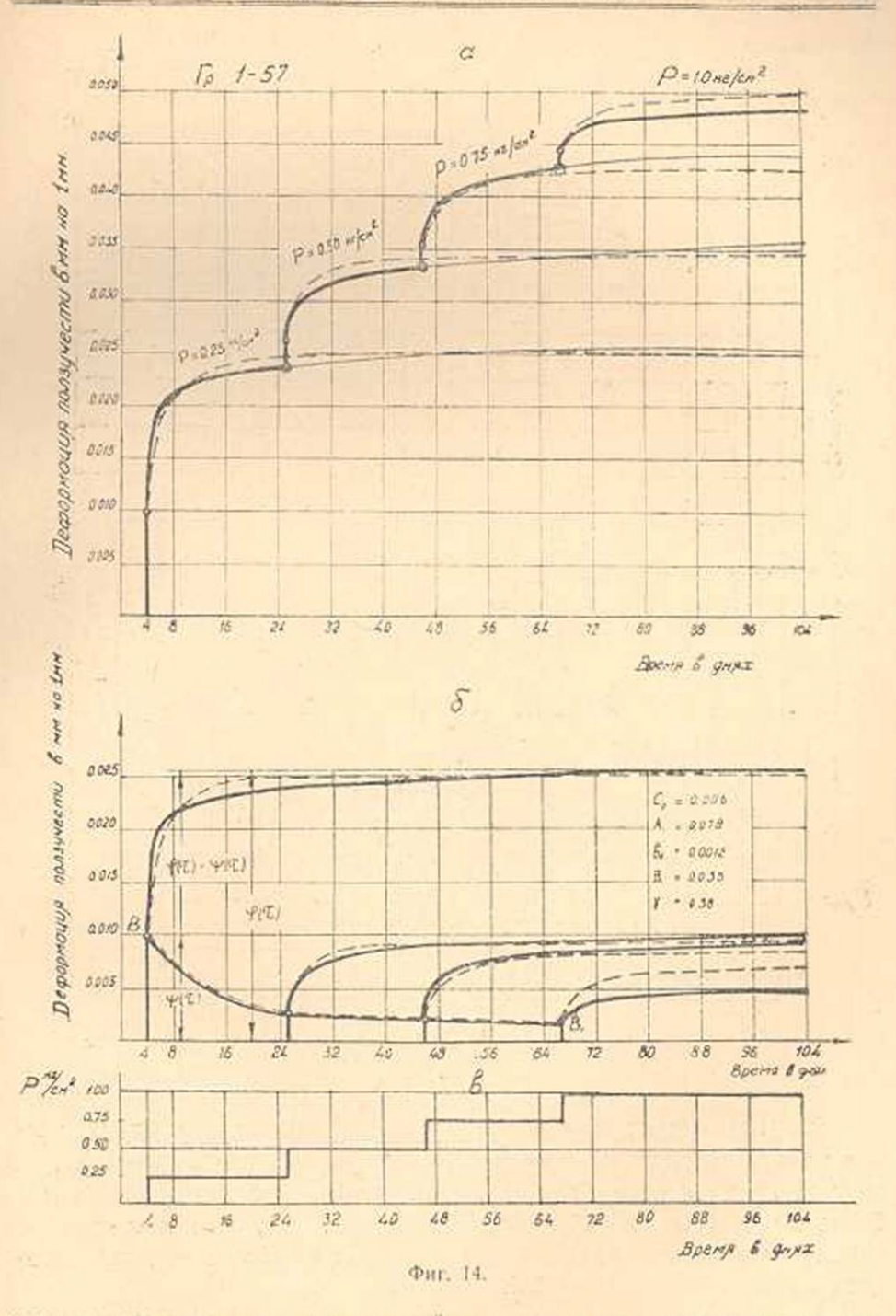
Остается показать, что семейство кривых ползучести старения грунтов нарушенной структуры (фиг. 11в) можно описать аналитическим выражением изменения во времени меры ползучести (6) теории упруго-ползучего тела [12, 13].



На графике фиг. 13в приведен пример описания семейства кривых ползучес и старения, определенных вышеизложенным способом, при сжатии шенгавитской глины (№ 1—57) нарушенной структуры в условиях невозможности бокового расширения при про, олжительности загружения образцов от 60 до 240 минут, а на фиг. 146 и 156 описание семейств кривых старения грунтов 1—57 и 2—57 при продолжительности загружения образцов от 37 до 116 дней.

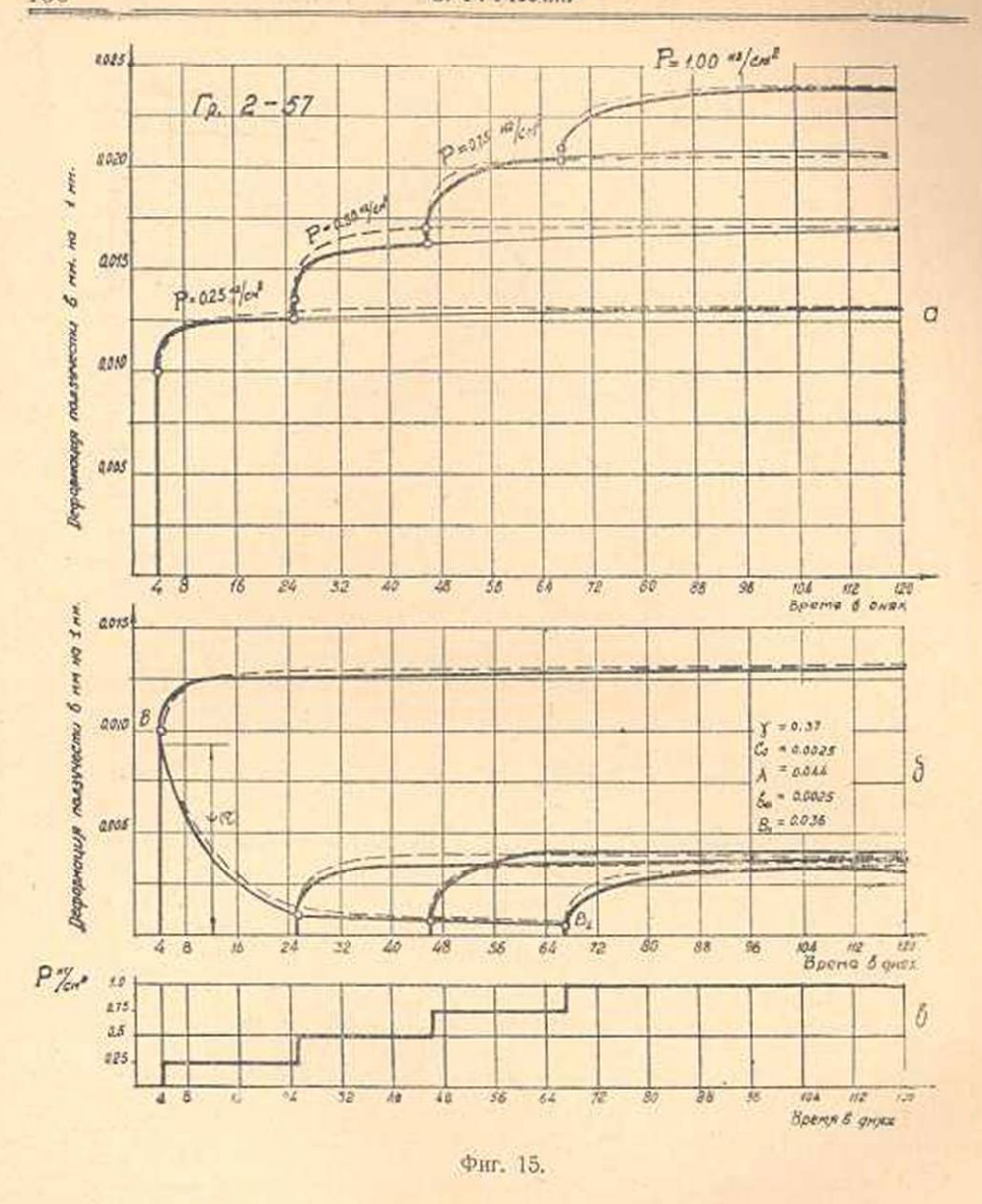
На фиг. 13в показаны теоретические кривые, построенные на основании зависимостей (6) и (7), при соответствующем подборе параметров  $C_0$ ,  $A_0$  и  $\gamma$ , значение когорых приведено на графике. Из графика фиг. 12в следует, что расхождение между кривыми ползучести и кривыми, построенными на основании указанных выше зависимостей, небольшое.

На основании приведенного здесь примера и других выполненных нами многочисленных опытов мы пришли к заключению, что выражения закона изменения во времени меры ползучести (6) и (7) в таком виде достаточно точно описывают семейства кривых ползу-



чести связных грунтов нарушенной структуры при сравнительно непродолжительных испытаниях их.

Несколько иначе обстоит дело с описанием указанного семейства кривых при длительных выдерживаниях образцов грунта под каждой ступенью нагрузки (фиг. 146 и 156).



Как показывают эксперименты при длительных испытаниях, кривые ползучести грунта, определенные в разных его "возрастях", по виду отличаются друг от друга, т. е. они не являются подобными. Такое же явление наблюдается и в бетонах, где, как и в грунтах, кривые ползучести, определенные в разных их возрастах, не являются аффинно-подобными [23].

Следовательно, основная зависимость упруго-ползучего тела (6), которая учитывает как влияние длительности загружения, так и возраст материала и выведена из условия подобия кривых ползучести, не вполне соответствует действительному процессу старения бетона [23] и грунтов.

Изменение характера кривых ползучести грунта при переходе от одного возраста к другому, можно объяснить как его уплотнением, так и проявлением сцепления упрочнения в течение времени, при участии внешних уплотняющих нагрузок.

Следует обратить внимание на то обстоятельство, что в грунтах, как и в бетоне [23], у образцов загруженных в раннем возрасте в начале наблюдается быстрый рост деформации ползучести, тогда как для образцов, загруженных в более "старом" возрасте, рост деформации ползучести во времени в начале загружения протекает более спокойно (фиг. 14 и 15).

В целях описания семейства кривых ползучести грунтов при длительных испытаниях их, выражение (6) мы несколько видоизменили и придали ему следующий вид [24]:

$$C(t, z) = \phi(z) + [\phi(z) - \phi(z)][1 - e^{-\gamma(t-z)}]$$
 (8)

где

$$\varphi(\tau) = b_{\varphi} + \frac{B_1}{\tau}. \tag{9}$$

 $\psi$  ( $\tau$ ) — деформация ползучести, которая соответствует первому часу после момента загружения;  $b_{\rm o}$  и  $B_{\rm t}$ —параметры, которые подбираются на основании экспериментов.

На графиках фиг. 136 и 146 пунктирными линиями показаны кривые деформации ползучести, построенные на основании выражений (7), (8) и (9) при соответствующем подборе параметров  $C_0$ ,  $A_1$ ,  $b_0$ ,  $B_1$  и  $\tau$ , значения которых приведены на тех же графиках. На этих же графиках кривыми  $BB_1$  показан закон изменения функции  $\psi$  ( $\tau$ ). Сплошной линией показана экспериментальная кривая, а пунктирной—кривая, построенная по выражению (9).

Из приведенных графиков следует, что выражения (7), (8) и (9) достаточно точно описывают семейства кривых ползучести грунтов нарушенной структуры при их сжатии в условиях отсутствия бокового расширения.

Если теперь в соответствии с выражением (4) сопоставить кривые деформации ползучести грунта (фиг. 13a, 14a и 15a), опредеденные путем их ступенчатого загружения нагрузками 0,25 кг/см<sup>2</sup> (сплошная линия), с суммой деформаций ползучести от приращений напряжений, определенных аналитически (показаны пунктирной линией) по выражениям (6), (7), (8) и (9) на основании семейс на экспериментальных кривых ползучести (фиг. 13a, [46 и 15б), нетрудно заметить, что расхождение между ними небольшое.

Следовательно, зная аналитическое выражение закона изменения кривых деформации ползучести грунта в зависимости от "возраста" его, можно, при помощи зависимостей (3), (4) и (5), осуществить переход от деформаций ползучести, определенных при постоянных изгрузках, к деформациям ползучести при переменных нагрузках.

В заключение коснемся вопроса влияния продолжительности загружения на процесс ползучести связных грунтов.

Известно [24], что, при последовательном нагружении образцов грунта равными ступенями нагрузок, через интервалы времени 60 минут, при переходе от одной ступени нагрузки к другой, по мере его старения, имеет место закономерное уменьшение деформации ползучести. Известно также, что при более длительном выдерживании образца по ступеням нагрузок (от 10 до 20 дней) имеет место нарушение изложенной выше закономерности, т. е. не всегда предельное значение деформации ползучести от данной ступени нагрузки меньше, чем деформация ползучести от предыдущей ступени нагрузки.

Нарушение указанной выше закономерности объяснялось нами [19] тем, что за время выдерживания образца грунта под какой-либо ступенью нагрузки имеет место его некоторое упрочнение за счет протекания внутренних физико-химических процессов (за счет проявления сцепления упрочнения) и что, если при последующем загружении образца силы сцепления упрочнения будут превышать значения внешней нагрузки, будет иметь место уменьшение деформации ползучести по сравнению с предыдущей ступенью нагрузки, в противном случае будет иметь место разрушение ранее образованной структуры и увеличение деформации ползучести.

Если теперь рассмотреть семейство кривых ползучести грунтов. приведенных на графиках фиг. 13в, 14б, 15б, нетрудно заметить, что вышензложенное полностью относится в к ним. А именно: в случае непродолжительных испытаний, когда грунт не успевает достаточно упрочняться за счет внутренних физико-химических процессов, т. е. структурные связи между частицами и агрегатами грунта еще слабы, а старение его в основном обусловлено его уплотнением, наблюдается уменьшение деформации ползучести по мере испытания образцов в более старом возрасте (фиг. 13в). В случае продолжительных испытаний, когда старение грунта обусловлено как фактором уплотнения. так и фактором внутренних физико-химических процессов, наблюдается нарушение указанной выше закономерности (фиг. 156), тем, что предельное значение деформации ползучести, определенное в возрасте т = 25 дней, меньше, чем предельное значение деформации ползучести, определенное в возрасте = 46 дней к моменту загружения. Увеличение деформации ползучести при испытании образца грунта в возрасте 46 дней по сравнению с испытанием образца в возрасте 25 дней объясняется разрушением ранее образованной структуры.

Что же касается семейства кривых ползучести, приведенного на фиг. 146, замечаем, что здесь, как и в случае непродолжительных испытаний образцов, при переходе от молодого "возраста" к более старому "возрасту" имеет место уменьшение деформации ползучести. Указанное поведение данного грунта можно объяснить небольшим значением силы сцепления, которая не оказывает существенного влияния на ход процесса деформирования [19].

Резюмируя вышеизложенное, приходим к выводу, что связный грунт нарушенной структуры, при сжатии в условиях отсутствия бокового расширения, ведет себя в соответствии с основными предпосылками теории упруго-ползучего тела Г. Н. Маслова—Н. Х. Арутоняна [12, 13] и что можно к нему применить указанную теорию при их сжатии в отмеченных выше условиях.

. Автор выражиет глубокую благодарность члену-корреспонденту АН СССР В. А. Флорину и академику АН АрмССР Н. Х. Арутюняну, ценные указания которых были учтены при выполнении настоящей работы.

Институт математики и механики АН Армянской ССР

Поступило 18 XII 1957 -

## U. fb. Phusjufi

# ԿԱՊԱԿՑՎԱԾ ԳՐՈՒՆՏԻ ՍՈՂՔԻ ՄԱՍԻՆ՝ ԿՈՂԱՅԻՆ ԸՆԴԱՐՁԱԿՄԱՆ ԲԱՑԱԿԱՅՈՒԹՅԱՆ ՊԱՅՄԱՆՆԵՐՈՒՄ ՍԵՂՄՄԱՆ ԺԱՄԱՆԱԿ

### UUTONONIU

Հոդվածում բերված են իսախաված սարուկտուրա ունեցող կապակցված դրունաների դեֆորմատիվ հատկությունների ասումնասիրությունները սեղմման ժամանակ, երբ բացակայում է կողային ընդարձակման հնարավորուխյունը, նպատակ անենալով ստուդել Մասլով-Հարությունյանի սողջի տեսության կիրառման հնարավորությունը նրանց նկատմամբ՝ փորձարկման նշված պույմանների համար։

Հիշյալ նպատակի համար ուսումնասիրված են՝ 1) ակնքարքային դեֆորմացիաների և լարումների միջև հղած առնչությունը, 2) ակնքարքային մողույի ժամանակի ընքացրում փոփոխման օրինաչափությունը, ևրբ արտաքին ընսը հաստասուն չէ, այլ աճում է ժամանակի ընթացրում հավասար աստիճաններով, 3) լարումների և սողջի դեֆորմացիաների միջև հղած առնչությունը և 4) սողջի դեֆորմացիաների համար վերադրման օրենքի կիրասման հնարավորությունը։

Նշված ուսումնասիրությունները կատարելու համար օգտագործված են կապակցված դրունաների ութ տարատեսակները, որոնչը փորձարկման են ենթարկվել Գ. Ի. Տեր-Ստեփանյանի և հոդվածի հեղինակի մշակած կոմպրեսիոն սարջերում։

Կատարված փորձևրի հիման վրա պարդված է, որ ակնքարքային դեֆորմացիաների և լարումների միջև նդած առնչությունը բավականին ճշաությամբ արտահալավում է դծային օրենքով, իսկ ակնքարքային մողույի ժամանակի ընքացքում փոփոխման կապը արտաքին բնոի աստիճանաձև փոփոխման դեպքում կարևլի է ներկայացնել սողջի տեսության (1) արտահալաությամբ | 13 | 1

Ուսումնասիրութվուններից պարզված է, որ սողջի դեֆորմացիաների և լարումների միջև եղած առնչութվունը արտահայտվում է ոչ գծային օրենթով։ Սակալն, փոքր լարումների դեպքում (0,25, 0,5 կգ/ud²), թուլլատրելի ճշտությամբ այն կարելի է արտաճալտել դժային օրենքով։

Պարզված է նաև, որ պրակաիկայի համար թույլատրելի ճշտության սահմաններում, խախաված ստրուկտուրա ունեցող գրունաների սողջի դեֆորմացիաների նկատմամբ կիրառելի է վերադրման օրենջը։

Ամփոփելով վերոհիչլալը, հեղինակը հանգել է այն եզրակացության, որ վերևում նշված պայմանների համար, խախտված սարուկտուրա ունեցող կապակցված գրունաների սեղման դեպքում, նրանց նկատմամբ կիրառելի է Մասլով-Հարությունյանի սողջի տեսությունը։

#### ЛИТЕРАТУРА

- 1. Флорин В. А. Теория уплотнения земляных масс. Стройнздат, М.-Л., 1948.
- 2. Герсеванов Н. М. Основы динамики грунтовой массы. Стройиздат, 1937.
- Герсеванов Н. М. и Польшин Д. Е. Теоретические основы механики грунтов и их практические применения. Стройнздат, М., 1918.
- Денисов Н. Я. О природе деформации глинистых пород. Изд. Минеречфлота, М., 1951.
- Флорин В: А. Некоторые вопросы экспериментальных и теоретических исследований уплотнения земляной среды. В ки. Новое в области оснований гидротехнических сооружений. Л., 1953.
- Денисов Н. Я. и Ребиндер П. А. О коллондно-химической природе связности глинчстых пород. ДАН СССР, том 54, № 6, 1946,
- Дерягин Б. В. Расклинивающее действие жидких пленок и его практическое значение, "Природа\*, № 2, 1943.
- Флорин В. А. Одномерная задача уплотнения сжимаемой пористой ползучей среды. Изв. АН СССР, ОТН, № 6, 1953.
- Флорин В. А. Одномерная задача уплотнения земляной среды с учетом старения, нелянейной ползучести и разрушения структуры. Изв. АН СССР, ОТН, № 9, 1953.
- Покровский, О физических принципах расчета деформации грунтов. В кн. Материалы Всесоюзного совещания по основаниям и фундаментам 1938. Госстройиздат, М. Л., 1939.
- Маслов И. Н. Условия устойчивости склонов и откосов в гидровнергетическом строительстве. Госэнергонздат, М.—Л., 1955.
- Маслов Г. Н. Термическое напряженное состояние бетонных массивов при учете ползучести бетона. Изв. ВНИИГ, т. 28, 1940.
- Арутюнян И. Х. Некогорые вопросы теории ползучести. Изд. технико-теоретической лит., М.-Л., 1952.
- Тер-Степанин Г. И. Комфильтметр прибор для компрессионных и фильтрационных испытаний грунгов. Изв. АН АрмССР, серия ФМЕТ наук. т. IX, № 4, 1956.
- Месчян С. Р. К вопросу о законе наложения для деформации ползучести связных грунтов при сжатии. ДАН АрмССР, т. XXV, № 4, 1957.
- Месчян С. Р. К вопросу экспериментального определения упругих характеристик связных грунгов при сжатии. ДАН АрмССР, т. XXIII, № 3, 1956.
- Флорин В. А. Вопросы развития мехлилки грунгов. В ки. Совещание о путях развития механики грунгов. Изд. ВНИТОС, Лен. отд., Л., 1950.
- Черкасов И. И Влияние мегода установки штампа на результаты испытания групта пробной изгрузкой. ДАН СССР, т. XXXII, № 3, 1952.
- Месчян С. Р. К вопросу о влиянии продолжительности нагружения на ползуяесть связных грунгов нарушенной структуры. ДАН АрмССР, т. XXIII, № 2, 1956.
- Месчян С. Р. Экспериментальное исследован те записимости между напражениями и дерэрмациями ползучести связных грунтов. ДАН АрмССР, т. XXIV, № 2, 1957.

- Васильев П. И. Связь между напряжениями и деформациями в бетоне при сжатии с учетом времени. Изв. ВНИИГ, т. 45, 1951.
- Васильев П. И. Некоторые попросы пластических деформаций бетона. Изв. ВНИИГ, т. 49, 1953.
- Васильев П. И. Влияние старения бетона на вид кривых ползучести. Изв. ВНИИГ, т. 57, 1957.
- Месчян С. Р. К вопросу об описании ползучести связных грунтов нарушенной структуры, ЛАН АрмССР, т. XXI, № 2, 1955.

НАУЧНАЯ ЗАМЕТКА

#### Л. А. Мовсисян

# О некоторых специфических особенностях анизотропных оболочек

Целью настоящей заметки является выявление некоторых специфических особенностей напряженного состояния и перемещений оболочки, когда материал ее подчиняется обобщенному закону Гука и в каждой точке имеет лишь одну плоскость упругой симметрии, параллельную срединной поверхности, т. е. обладает анизотропией достаточно общего вида.

Задача излагается по безмоментной теорин на примерах цилиндрической, конической и сферической оболочек.

За координатные линии берутся главные линии кривизны.

Для простоты будем рассматривать цилиндрические оболочки кругового очертания. В этом случае для коэффициентов первой квадратичной формы и для главных радиусов кривизны будем иметь значения: A-1, B=1,  $R_1=\infty$ ,  $R_2=r$ , где r—радиус поперечного круга.

Из общих уравнений безмоментной теории оболочек имеем следующие уравнения равновесия [1, 3]:

$$\begin{split} \frac{\partial T_1}{\partial x} + \frac{\partial S}{\partial \beta} + X &= 0, \\ \frac{\partial T_2}{\partial \beta} + \frac{\partial S}{\partial \alpha} + Y &= 0, \\ T_2 + rZ &= 0. \end{split} \tag{1.1}$$

n формулы, связывающие компоненты деформаций с перемещениями n, v, w:

$$\varepsilon_1 = \frac{\partial u}{\partial x}, \quad \varepsilon_2 = \frac{\partial v}{\partial \beta}, \quad \frac{w}{r}, \quad w = \frac{\partial u}{\partial \beta}, \quad \frac{\partial v}{\partial x}.$$
 (1.2)

Из уравнений теории анизотропных оболочек для соотношений упругости имеем [2,5]:

$$\begin{split} \varepsilon_1 &= \frac{1}{h} \left( a_{11} T_1 + a_{12} T_2 + a_{16} S \right), \\ \varepsilon_2 &= \frac{1}{h} \left( a_{12} T_1 + a_{22} T_2 + a_{26} S \right), \\ \omega &= \frac{1}{h} \left( a_{16} T_1 + a_{26} T_2 + a_{66} S \right), \end{split} \tag{1.3}$$

где h — толщина оболочки,  $a_{ik}$  — коэффициенты деформации.

Уравнения (1.1) и (1.2) в общем виде интегрируются весьма элементарно, но мы это сделаем для частных случаев.

а) Пусть оболочка длиной L несет равномерно распределенную нагрузку с постоянной интенсивностью q. Пусть один из торцов оболочки ( $\alpha=0$ ) полностью закреплен, а другой торец ( $\alpha=L$ ) совершенно свободен.

Для рассматриваемой оболочки имеем следующие краевые условия:

при 
$$\alpha = 0$$
  $u = 0$ ;  $v = 0$ ;  
при  $\alpha = L$   $T_1 = 0$ ;  $S = 0$ . (1.4)

Грузовыми членами уравнений (1.1) будут:

$$X = 0, Y = 0, Z = -q.$$
 (1.5)

Из (1.1) в силу (1.4) и (1.5) легко получить значения внутренных усилий:

$$T_1 = rq$$
,  $T_1 = 0$ ,  $S = 0$ . (1.6)

Подставляя в первое соотношение (1.2) значения  $\varepsilon_1$  из (1.3) и  $T_1$ ,  $T_2$ , S из (1.6), и произведя интегрирование по  $\alpha$ , получим:

$$u = a_{12}q \frac{r}{h} \alpha + f_1(\beta).$$

В силу (1.4) для произвольной функции интегрирования имеем  $f_i(\beta) = 0$ , тогдя для перемещения u окончательно получим:

$$u = a_{12}q \frac{r}{h} \alpha. \tag{1.7}$$

Аналогичным образом из второго и третьего соотношений (1.2) получим;

$$v = a_{26}q \frac{r}{h} \alpha, \qquad (1.8)$$

$$w = -a_{22}q \frac{r^2}{h}$$
 (1.9)

Несмотря на то, что оболочка имеет ось симметрии (как с точки зрения геометрии, так и с точки зрения статики), она под действием равномерно распределенного поверхностного давления претерпевает кручение относительно оси симметрии, и образующие оболочки после деформации становятся винтовыми линиями. Здесь интересно еще то, что если вместо давления имеем равномерное поверхностное растяжение, то кручение оболочки происходит в обратном направлении.

в) Пусть оболочка одним торцом ( $\alpha=0$ ) закреплена полностью, а другое торцовое сечение ( $\alpha=L$ ), не имея продольных перемещений, несет равномерно распределенное сдвигающее усилие с интенсивностью  $S_0$ . Оболочка свободна от внешних поверхностных нагрузок.

Для рассматриваемой оболочки имеем следующие краевые условия:

при 
$$\alpha = 0$$
  $u = 0;$   $v = 0;$  при  $\alpha = L$   $u = 0;$   $S = S_0.$  (1.10)

Из уравнений (1.1) в силу (1.10) для внутренних усилий получим:

$$T_1 = f_1(\beta), \quad T_2 = 0, \quad S = S_0,$$
 (1.11)

где  $f_{\mathbf{t}}(\beta)$  — неизвестная функция интегрирования.

Из первого соотношения (1.2) в силу (1.3) и (1.11) для перемещения и получим:

$$u = a_{11} \frac{\alpha}{h} f_1(\beta) + a_{16} \frac{\alpha}{h} S_6 + f_2(\beta).$$

Из граничных условий (1,10) для функций интегрирования  $f_1(\beta)$  и  $f_2(\beta)$  будем иметь:

$$f_1 = -\frac{a_{16}}{a_{11}}S_0, \quad f_2 = 0,$$
 (1.12)

в силу чего для усилия  $T_1$  и касательного перемещения u получим:

$$T_1 = -\frac{a_{16}}{a_{11}} S_0, \qquad u = 0. \tag{1.13}$$

Имея значения внутренних усилий  $T_1, T_2, S$  и перемещения u, поступая как в первом примере, получаем значения v и w:

$$v = \left(a_{66} - \frac{a_{16}^2}{a_{11}}\right) \frac{\alpha}{h} S_0,$$
 (1.14)

$$w = \left(\frac{a_{12}a_{16}}{a_{11}} - a_{26}\right) \frac{r}{h} S_0. \tag{1.15}$$

Заметим, что к рассмотренной задаче приводится также задача кручения замкнутой круговой цилиндрической оболочки, когда одно торцевое сечение закреплено полностью, а к другому сечению, которое не имеет продольных перемещений, с помощью жесткой диафрагмы приложен крутящий момент —  $M_{kp}$ . В этом случае достаточно  $M_{kp}$ .

в расчетных формулах вместо S подставить  $\frac{M_{kn}}{2\pi r^2}$  . Рассматривая полученные результаты, замечаем, от изотропных оболочек здесь продольное усилие  $T_1$ 

Рассматривая полученные результаты, замечаем, что в отличне от изотропных оболочек здесь продольное усилие  $T_1$  и нормальное перемещение  $\pi$  не равны нулю и в зависимости от направления кручения меняют свой знак,  $\tau$ , е. если в одном случае в оболочке появляются растягивающие продольные усилия  $T_1$ , то в случае изменения знака момента появляются сжимающие продольные усилия. Что же касается перемещения  $\tau$ , то оно уменьшается с увеличением коэффициента  $a_{10}$ .

 Коническая оболочка. Пусть ≈ означает расстояниеточки от вершины оболочки, а β — центральный угол, отсчитываемый от некоторой опредеденной образующей.

Геометрические характеристики в этом случае будут: A=1,  $B=\alpha\sin\theta$ ,  $R_1=\infty$  и  $R_2=\alpha\log\theta$ , где  $\theta$  угол при вершине, составленный центральной осью и образующим. Здесь тоже рассматриваем круговые оболочки, вследствие чего  $\theta$ — постоянный угол.

Исходные уравнения для концинской оболочки будут:

$$\begin{split} \frac{\partial}{\partial z} \left( z T_1 \right) &+ \frac{1}{\sin \theta} \frac{\partial S}{\partial \beta} - T_2 - z X = 0, \\ \frac{\partial}{\partial z} \left( z S \right) &= \frac{1}{\sin \theta} \frac{\partial T_2}{\partial \beta} + S + z Y = 0, \\ T_2 &+ z \lg \theta Z = 0, \end{split} \tag{2.1}$$

$$\varepsilon_{1} = \frac{\partial u}{\partial z} \qquad \varepsilon_{1} = \frac{1}{z \sin \theta} \frac{\partial v}{\partial \beta} \qquad \frac{u}{z} = \frac{w}{z \tan \theta},$$

$$w = \frac{1}{z \sin \theta} \frac{\partial u}{\partial \beta} + \alpha \frac{\partial}{\partial z} \left(\frac{v}{z}\right).$$
(2.2)

и соотношения упругости (1.3).

Как раньше, займемся лишь конкретными примерами.

а) Коническая оболочка свободна от внешних нагрузок (X=Y=Z=0). Один торец (z=L) жестко закреплен, а другон свободен и к нему приложено постоянное касательное усилие  $S_{\rm o}$ . Краевые условия при этом будут:

при 
$$x = L$$
  $u = 0;$   $v = 0;$   
при  $x = \alpha_n$   $T_n = 0;$   $S = S_0$ . (2.3)

Учитывая последнее условне (2.3) и (2.1) имеем:

$$T_1 = 0$$
,  $T_2 = 0$ ,  $S = \frac{z_0^2}{\pi^2} S_0$ . (2.4)

Из (1.3) в (2.2) в свлу (2.3) в (2.4) получим

$$u = a_{16} \frac{\alpha_0^2}{h} \left( \frac{1}{L} - \frac{1}{\pi} \right) S_{0},$$

$$v = a_{66} \frac{\alpha_0^2 \alpha}{2h} \left( \frac{1}{L^2} - \frac{1}{\pi^2} \right) S_{0},$$

$$w = \left( \frac{a_{16}}{L} - \frac{a_{16} + a_{26}}{\pi} \right) \frac{\alpha_0^2}{h} S_{0} \lg \theta,$$
(2.5)

в) Та же оболочка, но на свободном конце действует нормальное усилие  $T_1 = T_0 - {\rm const.}$ 

Для искомых величии находим:

$$T_1 = \frac{\alpha_0}{\pi} T_0$$
,  $T_2 = 0$ ,  $S = 0$ , (2.6)  
 $u = a_{11} T_0 \frac{\alpha_0}{h} \ln \frac{\alpha}{L}$ ,  
 $v = a_{16} T_0 \frac{\alpha_0}{h} \left(\frac{\alpha}{L} - 1\right)$ , (2.7)  
 $w = T_0 \frac{\alpha_0}{h} \left(a_{11} \ln \frac{\alpha}{L} - a_{12}\right) \operatorname{tg} \theta$ .

Из рассмотренных примеров можно сделать вывод, аналогичный приведенному в п.1, что a и w в первом и w во втором примерах появляются вследствие анизотропни и меняют знак с изменением изправления краевого усилия. Интересно еще то, что от угла в зависит только нормальное перемещение w, которое увеличивается с увеличением угла. Кроме того, как видно из (2.5), величина w зависит как от  $a_{20}$ , так и от  $a_{30}$  за исключением на линии a = L, где w зависит только от  $a_{20}$ .

3. Сферическая оболочка. Отнесем срединную поверхность к географической системе координат, в которой положение точки задается полярным расстоянием 9 и долготой э.

Положим [1]:

$$\alpha = \ln \lg \frac{\theta}{2}, \quad \beta = \varphi.$$
 (3.1)

Тогда геометрические характеристики оболочки будут:  $A = B - \frac{R}{{\rm ch}\,\alpha}$ .  $R_1 = R_2 - R_3$  где  $R_1$  радиус сферы.

Исходные уравнения для безмоментной сферической оболочки будут:

$$A \frac{\partial T_1}{\partial \alpha} + A \frac{\partial S}{\partial \beta} + \frac{\partial A}{\partial \alpha} (T_1 - T_2) + A^2 X = 0,$$

$$A \frac{\partial S}{\partial \alpha} + A \frac{\partial T_2}{\partial \beta} + 2 \frac{\partial A}{\partial \alpha} S + A^2 Y = 0,$$

$$T_1 + T_2 + RZ = 0,$$
(3.2)

$$\varepsilon_1 = \frac{1}{A} \frac{\partial u}{\partial z} - \frac{w}{R}, \quad \varepsilon_2 = \frac{1}{A} \frac{\partial v}{\partial \beta} + \frac{1}{A^2} \frac{\partial A}{\partial z} u - \frac{w}{R},$$

$$w = \frac{\partial}{\partial \beta} \left( \frac{u}{A} \right) + \frac{\partial}{\partial z} \left( \frac{v}{A} \right), \quad (3.3)$$

и соотношения упругости (1.3).

Уравнения (3.3) можно представить в следующем виде:

$$\frac{\partial}{\partial a} \left( \frac{u}{A} \right) - \frac{\partial}{\partial \beta} \left( \frac{v}{A} \right) = \varepsilon_1 - \varepsilon_2,$$

$$\frac{\partial}{\partial a} \left( \frac{v}{A} \right) + \frac{\partial}{\partial \beta} \left( \frac{u}{A} \right) = w.$$
(3.4)

Рассмотрим примеры.

а) Полусферический купол, % жестко закрепленный на границе находится под равномерным давлением интенсивностью q. Из симметрии задачи следует, что u и v в полюсе равны нулю.

Интегралами уравнения (3.2) будут:

$$T_1 = \frac{Rq}{2} + \frac{f_1}{A^2}; \quad T_2 = \frac{Rq}{2} - \frac{f_1}{A^2}; \quad S = \frac{f_2}{A^2}.$$
 (3.5)

Имея (3.5) и (1.3) из (3.4) для перемещений получим (изотермические координаты заменены географическими):

$$\begin{split} u &= \frac{1}{h} \left\{ (a_{11} - a_{22}) \frac{Rq}{2} \ln \lg \frac{\theta}{2} + \left[ (a_{11} - 2a_{12} + a_{22}) f_1 + \right. \right. \\ &+ \left. (a_{16} - a_{26}) f_2 \right| \frac{1}{2R^2} \left( \ln \lg \frac{\theta}{2} - \frac{\cos \theta}{\sin^2 \theta} \right) \right\} R \sin \theta + f_3 R \sin \theta, \\ v &= \frac{1}{h} \left\{ (a_{16} + a_{26}) \frac{Rq}{2} \ln \lg \frac{\theta}{2} + \left[ (a_{16} - a_{16}) f_1 + \right. \right. \\ &+ \left. a_{88} f_2 \right| \frac{1}{2R^2} \left( \ln \lg \frac{\theta}{2} - \frac{\cos \theta}{\sin^2 \theta} \right) \right\} R \sin \theta + f_4 R \sin \theta \end{split}$$

$$(3.6)$$

где  $f_i(i=1,2,3,4)$  — произвольные функции интегрирования. Определить w можно из первых уравнений (3.3).

Удовлетворяя теперь граничным условиям, для произвольных функций получаем нулевые значения. Усилия и перемещения при этом будут:

$$T_1 = \frac{Rq}{2}, \quad T_2 = \frac{Rq}{2}, \quad S = 0,$$
 (3.7)

$$u = \frac{R^2q}{2h}(a_{11} - a_{22}) \sin \theta \ln \lg \frac{\theta}{2},$$

$$v = \frac{R^2q}{2h}(a_{16} + a_{26}) \sin \theta \ln \lg \frac{\theta}{2},$$
(3.8)

$$w = -\frac{R^{\rm s}q}{2\hbar} \left(a_{\rm 11} + a_{\rm 12}\right) + \frac{R^{\rm s}q}{2\hbar} \left(a_{\rm 11} - a_{\rm 22}\right) \Big(1 + \ln\, {\rm tg}\, \frac{\theta}{2} \cdot \cos\theta \Big).$$

Из полученного видно, что в отличие от изотропных сферических оболочек, которые при равномерном давлении остаются сферическими, здесь появляются и, и и второе слягаемое и.

в) Сферическая полоса. Край в = 90° жестко защемлен, а на краю в = в° действует касательное усилие; вместе с тем перемещение в направлении касательной к меридианам отсутствует. Оболочка свободна от внешних нагрузок. Имеем следующие краевые условия

при 
$$\theta = \theta^{\circ}$$
  $u = 0$ ;  $S = S_0$ ;  
при  $\theta = 90^{\circ}$   $u = 0$ ;  $v = 0$ . (3.9)

Удовлетворяя граничным условиям для произвольных функций получаем;

$$f_1 = \frac{a_{26} - a_{16}}{a_{11} - 2a_{12} + a_{22}} S_0 R^2 \sin^2 \theta_0, \quad f_2 = S_0 R^2 \sin^2 \theta_0, \quad f_3 = f_4 = 0. \tag{3.10}$$

После чего из (3.5) и (3.6) будем иметь

$$T_1 = -T_2 = S_0 \frac{a_{2\theta} - a_{1\theta}}{a_{11} - 2a_{12} + a_{22}} \frac{\sin^2 \theta_0}{\sin^2 \theta},$$
  
 $S = S_0 \frac{\sin^2 \theta_0}{\sin^2 \theta},$  (3.11)

и перемещения в виде:

$$u = 0,$$

$$v = \frac{S_0 R}{2h} \left[ a_{66} - \frac{(a_{16} - a_{26})^2}{a_{11} - 2a_{12} + a_{22}} \right] \left( \sin \theta \ln \operatorname{tg} \frac{\theta}{2} - \operatorname{ctg} \theta \right) \sin^2 \theta_0, \quad (3.12)$$

$$w = -\frac{S_0 R}{h} \left[ (a_{11} - a_{12}) \frac{a_{26} - a_{16}}{a_{11} - 2a_{12} + a_{22}} + a_{16} \right] \frac{\sin^2 \theta_0}{\sin^2 \theta}.$$

 Описанные здесь явления специфичны для анизотропных оболочек вообще. Эти явления совершенно не обнаруживаются в случае изотропных оболочек, а также в некоторых частных случаях анизогропных оболочек.

Например эти явления не обнаруживаются в случае ортотропных оболочек, когда главные направления упругости совпадают с главными геометрическими направлениями координатной поверхности оболочки [4].

Полученные здесь результаты, по сути дела, являются обобщением задач элементарного напряженного состояния анизотропных материалов [2] на случай безмоментных оболочек.

Институт математики и механики АН Арминской ССР

Поступила 4 111 1958

### L. U. Մավոիսյան

## ԱՆԻՉՈՏՐՈՊ ՔԱՂԱՆՔՆԵՐԻ ՄԻ ՔԱՆԻ ՍՊԵՑԻՖԻԿ ԱՌԱՆՁՆԱՀԱՏԿՈՒՔՅՈՒՆՆԵՐԻ ՄԱՍԻՆ

#### ILIFOROBLE

Աշխատության հպատակն է հրևան հանել անիզոտրոպ թազանքների թարվածության վիճակի ու տեղափոխումների մի քանի առանձնահատկություններ այն դեպքում, երը թաղանթի նյութը ենթարկվում է Հուկի ընդճանրացրած օրենքին և ամեն մի կետում ունի առաձգականության սիմետրիայի մեկ հարթություն, որը ղուդանես է միջին մակերևույթինո

Խնդիրը շարադրված է անժոմենտ տեսությամբ՝ գլանային, կոնական և դնդային խաղանքների համար։

#### ЛИТЕРАТУРА

- 1. Гольденвейзер А. Л. Теория упругих тонких оболочек, Гостехиздат, 1953.
- 2. Лехницкий С. Г. Анизотропные пластинки. Гостедилдат, 1947.
- 3. Новожилов В. В. Теория тонких ободочек. Судпромгиз, 1951.
- Амбарцумин С. А. Безмоментная теория анизотронных оболочек. Известия АН АрмССР (серия ФМЕТ наук), 1, № 6 1948.
- Амбарцумин С. А. К теории анилотропных пологих оболочен. ПММ, т. XII, № 1, 1948.